

**EXPERTISE EN DIENSTVERLENING  
KWALITEIT VAN LABORATORIA**

**COMMISSIE VOOR KLINISCHE BIOLOGIE  
EXPERTENCOMITE**

**EXTERNE KWALITEITSEVALUATIE VOOR  
ANALYSES KLINISCHE BIOLOGIE**

**DEFINITIEF GLOBAAL RAPPORT  
CHEMIE  
ENQUETE 2019/4**

**Sciensano/Chemie/139-NL**

Expertise en dienstverlening  
Kwaliteit van laboratoria  
J. Wytsmanstraat, 14  
1050 Brussel | België

[www.sciensano.be](http://www.sciensano.be)

<b>EXPERTENCOMITE</b>
-----------------------

Sciensano					
Secretariaat		TEL:	02/642.55.22	FAX:	02/642.56.45
Y. Lenga	Enquêtecoördinator	TEL:	02/642.53.96		
		e-mail:	<a href="mailto:yolande.lenga@sciensano.be">yolande.lenga@sciensano.be</a>		
M. Demarteau	Vervanger Enquêtecoördinator	TEL:	02/642.55.24		
		e-mail:	<a href="mailto:marianne.demarteau@sciensano.be">marianne.demarteau@sciensano.be</a>		
Experten	Instelling				
Prof. CAVALIER E.	CHU-ULG- Liège				
Apr. Biol. De KEUKELEIRE S.	/				
Prof. DECLERCQ P.	Jessa ziekenhuis				
Apr. Biol. DESMET K.	UZ Leuven				
Prof. GRUSON D.	Cliniques universitaires st Luc				
Prof. NEELS H.	U Antwerpen				
Apr. Biol. OYAERT M.	UZ Gent				
Apr. Biol. PIQUEUR M.	ZNA				
Prof. POESEN K.	UZ Leuven				

Een voorlopige versie van dit rapport werd voorgelegd aan de experts op 13/01/2020.

Dit rapport werd besproken in de vergadering van het expertencomité op 20/01/2020.

**Toestemming verspreiding rapport:** Door Yolande Lenga, enquêtecoördinator, op 21/01/2020.

Alle rapporten zijn tevens te raadplegen op onze website:

[https://www.wiv-isp.be/QML/activities/external\\_quality/rapports/nl/rapports\\_aneer.htm](https://www.wiv-isp.be/QML/activities/external_quality/rapports/nl/rapports_aneer.htm)

## CONVERSIETABEL

ALBUMINE	g/L	X	1,0000	⇒	g/L	TOT PROTEIN	g/L	X	1,0000	⇒	g/L
ALBUMINE	mg/dL	X	0,0100	⇒	g/L	TOT PROTEIN	g/dL	X	10,000	⇒	g/L
ALBUMINE	g/dL	X	10,000	⇒	g/L	TOT PROTEIN	g%	X	10,000	⇒	g/L
ALT/ AST/ALP	U/L	X	1,0000	⇒	U/L	TRIGLYCERID	mmol/L	/	0,0113	⇒	mg/dL
AMYLASE	U/L	X	1,0000	⇒	U/L	TRIGLYCERID	mmol/L	/	1,1300	⇒	g/L
DIR BILIRUBINE	μmol/L	/	17,1	⇒	mg/dL	URINEZUUR	μmol/L	/	59,500	⇒	mg/dL
	μmol/L	/	1,71	⇒	mg/L	URINEZUUR	μmol/L	/	5,9500	⇒	mg/L
TOT BILIRUBINE	μmol/L	/	17,1	⇒	mg/dL	UREUM	mmol/L	/	16,650	⇒	g/L
	μmol/L	/	1,71	⇒	mg/L	UREUM	mmol/L	/	0,1665	⇒	mg/dL
CALCIUM	mmol/L	X	1,0000	⇒	mmol/L	UREUM	mmol/L	/	0,1665	⇒	mg%
CALCIUM	mg/L	X	0,0250	⇒	mmol/L						
CALCIUM	mg/dL	X	0,2500	⇒	mmol/L						
CALCIUM	mEq/L	X	0,5000	⇒	mmol/L						
CHLORIDE	mmol/L	X	1,0000	⇒	mmol/L						
CHLORIDE	mEq/L	X	1,0000	⇒	mmol/L						
HDL CHOLESTEROL	mmol/L	/	2,5900	⇒	g/L						
HDL CHOLESTEROL	mmol/L	/	0,0259	⇒	mg/dL						
TOT CHOLESTEROL	mmol/L	/	2,5900	⇒	g/L						
TOT CHOLESTEROL	mmol/L	/	0,0259	⇒	mg/dL						
CREATININE	μmol/L	/	8,8400	⇒	mg/L						
CREATININE	μmol/L	/	88,4000	⇒	mg/dL						
CREATININE	μmol/L	/	8840,00	⇒	g/L						
CREATININE	μmol/L	/	88,4000	⇒	MG%						
CRP	mg/L	X	1,0000	⇒	mg/L						
CRP	mg/dL	X	10,0000	⇒	mg/L						
γGT	U/L	X	1,0000	⇒	U/L						
GLUCOSE	mmol/L	/	5,5500	⇒	g/L						
GLUCOSE	mmol/L	/	0,0555	⇒	mg/dL						
HAPTOGLOBINE	g/L	X	1,0000	⇒	g/L						
IGA	g/L	X	1,0000	⇒	g/L						
IGA	mg/dL	X	0,0100	⇒	g/L						
IGG	g/L	X	1,0000	⇒	g/L						
IGG	mg/L	X	0,0100	⇒	g/L						
IGM	g/L	X	1,0000	⇒	g/L						
IGM	mg/dL	X	0,0100	⇒	g/L						
IJZER	μmol/L	/	17,9000	⇒	mg/L						
IJZER	μmol/L	/	0,1790	⇒	μg/dL						
LDH	U/L	X	1,0000	⇒	U/L						
LIPASE	U/L	X	1,0000	⇒	U/L						
MAGNESIUM	mmol/L	X	1,0000	⇒	mmol/L						
MAGNESIUM	mg/L	X	0,0411	⇒	mmol/L						
MAGNESIUM	mEq/L	X	0,5000	⇒	mmol/L						
	mmol/L	X	1,0000	⇒	mmol/L						
FOSFOR	mg/dL	X	0,32227	⇒	mmol/L						
	mg/L	X	0,032227	⇒	mmol/L						
KALIUM	mmol/L	X	1,0000	⇒	mmol/L						
KALIUM	mEq/L	X	1,0000	⇒	mmol/L						
NATRIUM	mmol/L	X	1,0000	⇒	mmol/L						
NATRIUM	mEq/L	X	1,0000	⇒	mmol/L						
TRANSFERRINE	g/L	X	1,0000	⇒	g/L						

## INHOUDSTABEL

ALGEMENE INFORMATIE.....	5
UPDATING KITS .....	5
VERVALLEN KITS.....	5
INTERPRETATIE .....	6
TER BESCHIKKING STELLEN VAN DE RAPPORTEN.....	7
INTERPRETATIE VAN HET INDIVIDUELE RAPPORT .....	8
ENQUETE SPECIFIEKE INFORMATIE .....	11
AARD VAN HET MATERIAAL .....	11
INFORMATIE VERMELD IN DE TOOLKIT.....	11
<b>Voorwoord.....</b>	<b>12</b>
<b>ALBUMINE.....</b>	<b>13</b>
<b>ALP.....</b>	<b>16</b>
<b>ALT (GPT).....</b>	<b>19</b>
<b>AMYLASE .....</b>	<b>22</b>
<b>AST (GOT) .....</b>	<b>25</b>
<b>DIRECTE BILIRUBINE.....</b>	<b>28</b>
<b>TOTALE BILIRUBINE .....</b>	<b>31</b>
<b>CALCIUM .....</b>	<b>34</b>
<b>CHLORIDEN .....</b>	<b>37</b>
<b>HDL- CHOLESTEROL .....</b>	<b>40</b>
<b>Totale CHOLESTEROL .....</b>	<b>43</b>
<b>CREATININE.....</b>	<b>46</b>
<b>GGT .....</b>	<b>49</b>
<b>GLUCOSE .....</b>	<b>52</b>
<b>HAPTOGLOBINE .....</b>	<b>55</b>
<b>IGA .....</b>	<b>58</b>
<b>IGG.....</b>	<b>61</b>
<b>IgM.....</b>	<b>64</b>
<b>IJZER.....</b>	<b>67</b>
<b>LIPASE.....</b>	<b>70</b>
<b>MAGNESIUM .....</b>	<b>73</b>
<b>FOSFOR.....</b>	<b>76</b>
<b>KALIUM.....</b>	<b>79</b>
<b>NATRIUM .....</b>	<b>82</b>
<b>TOTALE PROTEINEN.....</b>	<b>85</b>
<b>TRANSFERRINE.....</b>	<b>88</b>
<b>TRIGLYCERIDEN .....</b>	<b>91</b>
<b>URINEZUUR.....</b>	<b>94</b>
<b>UREUM.....</b>	<b>97</b>

## ALGEMENE INFORMATIE

### UPDATING KITS

Om de juistheid van de resultaten van de externe kwaliteitscontrole te verzekeren, is het belangrijk dat alle informatie met betrekking tot de methode en de gebruikte kits correct is. Wij stellen bij elke enquête vast dat een klein aantal laboratoria de juistheid van deze informatie vergeet te controleren. Indien u uw kit niet terugvindt in de TOOLKIT, aarzel dan niet om ons zo vlug mogelijk te contacteren of een mail te sturen naar het volgende adres: [Yolande.Lenga@sciensano.be](mailto:Yolande.Lenga@sciensano.be)

### VERVALLEN KITS

Wanneer een bepaalde kit niet meer wordt gecommmercialiseerd en de einddatum (vervaldatum) wordt bereikt, verdwijnt deze kit uit de TOOLKIT.

Een waarschuwingsbericht verschijnt op het scherm: "Uw kit is vervallen. Wilt u uw nieuw catalogusnummer invoeren?".

Het is dus noodzakelijk dat u uw nieuwe kit herparametreert, **zelfs indien het enkel om een verandering van het catalogusnummer gaat.**

Indien u deze updating niet uitvoert, worden uw gegevens niet statistisch verwerkt. Voor alle methoden die " kit afhankelijk " zijn, wordt het principe van de methode automatisch toegekend.

**Voortaan zal het niet meer mogelijk zijn om kwantitatieve resultaten in te geven indien niet alle informatie met betrekking tot de kit werd ingevoerd.**

## INTERPRETATIE

Een interpretatie wordt gevraagd aan de hand van het bekomen analytisch resultaat.

Deze oefening heeft als doel na te gaan of uw referentiewaarden of " cut off " waarden u toelaten een interpretatie te geven, die vergelijkbaar is met deze van uw collega's.

Daar men, in tegenstelling tot patiëntenstalen, voor de aangeboden controle stalen niet over klinische gegevens beschikt, werd om verwarring te vermijden, de term "Klinische interpretatie" vervangen door "Interpretatie ".

De antwoorden, aanvaard door de expertengroep, worden beschouwd als " consensus ". In eerste instantie worden in deze " consensus ", de groepen opgenomen, waarvoor er  $\geq 40\%$  antwoorden zijn voor het geheel van de ontvangen antwoorden. Voor stalen met grenswaarden wordt deze evaluatie niet uitgevoerd of worden, na discussie binnen het Expertencomit e, de antwoorden van een minderheid aanvaard als deel uitmakend van de " consensus ".

Voor uw eigen evaluatie kunt u beroep doen op volgende tabel:

Analytisch resultaat	Interpretatie	Actie
correct	consensus	Uw interpretatie is vergelijkbaar met deze van de andere laboratoria
correct	<i>buiten consensus</i>	Referentiewaarden of " cut off " waarden controleren
buiten grenswaarden	consensus	Dit is te wijten aan het toeval; 1. zoek de oorzaak van de analytische fout 2. verbeter eventueel de referentiewaarden
buiten grenswaarden	<i>buiten consensus</i>	Zoek de oorzaak van de analytische fout (er valt te noteren dat in het geval van een matrixeffect, de mediaan van uw gebruikersgroep kan verschillen en een verklaring kan zijn voor het optredende effect)

## TER BESCHIKKING STELLEN VAN DE RAPPORTEN

Zoals u reeds kon vaststellen, vragen wij u om uw antwoorden vlugger terug te sturen zodat de resultaten voor de laboratoria, onder de vorm van een eerste **niet gevalideerde draft**, zo vlug mogelijk na het afsluiten van de enquête beschikbaar zijn. Voor die laboratoria waarvoor omwille van onvoorziene omstandigheden voor een bepaalde enquête er een probleem zou zijn voor de tijdslimiet, kan de toegang tot de TOOLKIT uitzonderlijk worden verlengd. Dit vertraagt echter de productie van de rapporten voor het geheel van de groep. In eenieders voordeel vragen wij u dus om aandachtig te zijn en de voorgestelde termijnen te respecteren.

Ondanks het feit dat u de ingegeven resultaten goed heeft nagekeken, kan het toch nog zijn dat er foutieve gegevens werden doorgestuurd naar de TOOLKIT. U heeft dit vastgesteld na het beschikbaar stellen van het "Voorlopig niet gevalideerd individueel rapport".

U dient hiervoor onze dienst of de EKE coördinator te informeren (telefonisch of via E-mail).

Indien deze fout niet te wijten is aan een meetfout/analytisch probleem maar het gevolg is van:

Foutieve eenheden

Foutieve methode/kit/apparaat

Monsterverwisseling

Resulta(a)t(en) vermeld bij de foutieve parameter(s)

zullen uw gegevens uit de statistieken worden verwijderd, zodat uw foutieve resultaten de globale statistieken niet kunnen beïnvloeden. Deze informatie zal worden opgenomen in het beheer van de kwaliteitsindicatoren en zal dienen voor het bijsturen van de enquêtes en de deelnemende laboratoria.

Uw gegevens zullen in het individueel rapport wel nog worden geëvalueerd.

Indien deze fout **wel** te wijten is aan een meetfout/analytisch probleem, blijven uw resultaten behouden. U kunt hierover worden gecontacteerd door de specifieke EKE coördinator of de algemene EKE beheerder.

Na de validatie van de enquête door het Expertencomité zal het gevalideerd globaal rapport beschikbaar zijn op onze Website op het volgende adres:

[https://www.wiv-isp.be/QML/index\\_nl.htm](https://www.wiv-isp.be/QML/index_nl.htm): Kies "**Rapporten**" in het voorgestelde menu of op het volgende adres:

[https://www.wiv-isp.be/QML/activities/external quality/rapports/ nl/rapports annee.htm](https://www.wiv-isp.be/QML/activities/external_quality/rapports/ nl/rapports annee.htm)

## INTERPRETATIE VAN HET INDIVIDUELE RAPPORT

Naast dit globale rapport, heeft u ook toegang tot een individueel rapport via de toolkit.

Hieronder vindt u informatie, die u kan helpen om dit rapport te interpreteren.

De positie van uw kwantitatieve resultaten wordt enerzijds gegeven in vergelijking met alle resultaten van alle deelnemers en anderzijds in vergelijking met de resultaten van de deelnemers die dezelfde methode als u gebruiken.

De volgende informatie wordt gegeven:

- Uw resultaat (R)
- Uw methode
- De globale mediaan ( $M_G$ ):  
de centrale waarde van de resultaten bekomen door alle laboratoria voor alle methodes samen.
- De globale standaarddeviatie ( $SD_G$ ):  
maat voor de spreiding van de resultaten bekomen door alle laboratoria voor alle methodes samen.
- De globale mediaan van uw methode ( $M_M$ ):  
de centrale waarde van de resultaten bekomen door de laboratoria die dezelfde methode als u gebruiken.
- De standaarddeviatie van uw methode ( $SD_M$ ):  
maat voor de spreiding van de resultaten bekomen door de laboratoria die dezelfde methode als u gebruiken.
- De variatiecoëfficiënt CV (uitgedrukt in %) voor alle laboratoria en voor de laboratoria die dezelfde methode als u gebruiken:  
 **$CV_M = (SD_M / M_M) * 100$  (%) en  $CV_G = (SD_G / M_G) * 100$  (%)**.
- De Z-score:  
het verschil tussen uw resultaat en de mediaan van uw methode (uitgedrukt als een veelvoud van de SD):  **$Z_M = (R - M_M) / SD_M$  en  $Z_G = (R - M_G) / SD_G$** .  
Het resultaat wordt geciteerd indien  $|Z_M| > 3$ .
- De U-score:  
de relatieve afwijking van uw resultaat t.o.v. de mediaan van uw methode (uitgedrukt in %):  
 **$U_M = ((R - M_M) / M_M) * 100$  (%) and  $U_G = ((R - M_G) / M_G) * 100$  (%)**.  
Het resultaat wordt geciteerd indien  $|U_M| > d$ , waarbij “d” de vaste limiet is van de betrokken parameter, met name het % maximaal toegelaten afwijking t.o.v. de mediaan van de methode.
- Een grafische interpretatie van de positie van uw resultaat (R), enerzijds in vergelijking met alle resultaten van alle deelnemers, anderzijds in vergelijking met de resultaten van de deelnemers die dezelfde methode als u gebruiken, gebaseerd op de methode van Tukey, voor elke parameter en voor elk geanalyseerd staal.

**R** : uw resultaat

**$M_{M/G}$**  : mediaan

**$H_{M/G}$**  : percentielen 25 en 75

**$I_{M/G}$**  : interne limieten ( $M \pm 2.7$  SD)

**$O_{M/G}$**  : externe limieten ( $M \pm 4.7$  SD)



De globale grafiek en deze van uw methode worden uitgedrukt volgens dezelfde schaal, op deze wijze zijn beide vergelijkbaar. Deze grafieken geven u een ruw geschatte indicatie van de positie van uw resultaat (R) t.o.v. de medianen ( $M_{M/G}$ ).

U kan meer details vinden in de 3 brochures die beschikbaar zijn op onze website op het volgende adres:

[https://www.wiv-isp.be/QML/index\\_nl.htm](https://www.wiv-isp.be/QML/index_nl.htm)

(kies "BROCHURES" in het voorgestelde menu)

of rechtstreeks op het volgende adres:

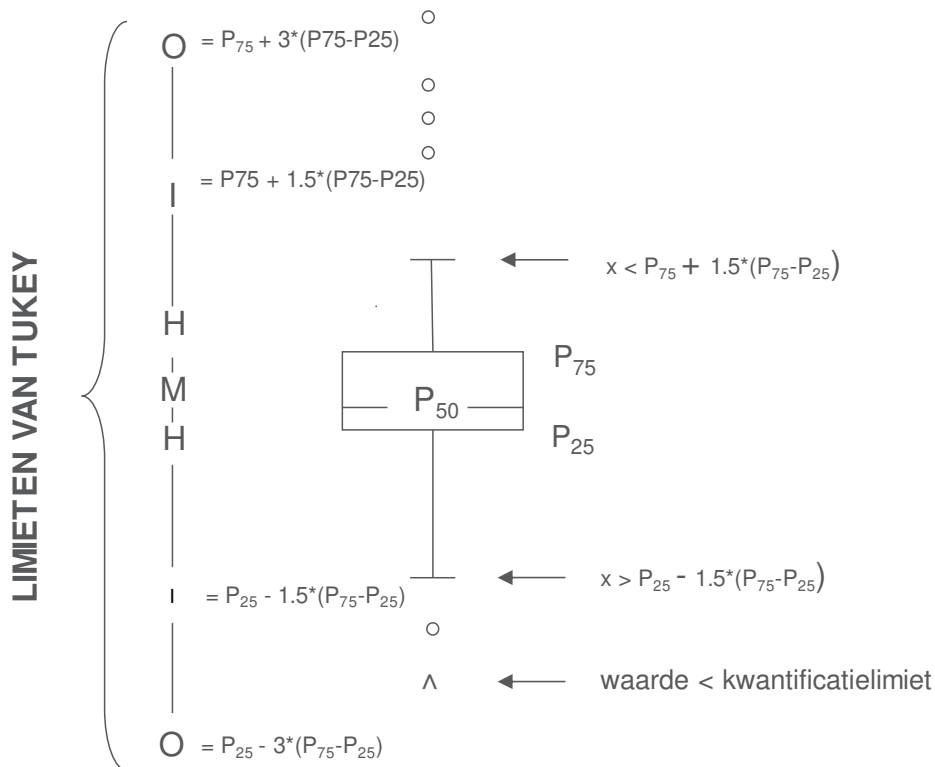
[https://www.wiv-isp.be/QML/activities/external\\_quality/brochures/nl/brochures.htm](https://www.wiv-isp.be/QML/activities/external_quality/brochures/nl/brochures.htm)

- 1) Informatiebrochure over de externe kwaliteitsevaluatieprogramma's voor klinische laboratoria (Algemene informatiebrochure over de externe evaluatie).
- 2) Statistische brochure (Algemene statistische berekeningsprocedure opgesteld door Professor Albert).
- 3) Verwerking van gecensureerde waarden (Statistische berekeningsprocedure toegepast op de gecensureerde waarden opgesteld door Professor Albert).

## Grafische voorstelling

Naast de tabellen met de resultaten, wordt er soms een grafische voorstelling van de resultaten als “box en whisker plot” toegevoegd. Zij bevat de volgende elementen voor methoden met minstens 6 deelnemers:

- een rechthoek die gaat van percentiel 25 ( $P_{25}$ ) tot percentiel 75 ( $P_{75}$ )
- een centrale lijn die de mediaan van de resultaten voorstelt ( $P_{50}$ )
- een ondergrens die de kleinste waarde voorstelt  $x > P_{25} - 1.5 * (P_{75} - P_{25})$
- een bovengrens die de grootste waarde voorstelt  $x < P_{75} + 1.5 * (P_{75} - P_{25})$
- alle punten buiten dit interval worden voorgesteld door een cirkel.



Overeenkomstige limieten in geval van een normale verdeling

### ENQUETE SPECIFIEKE INFORMATIE

De stalen van de enquête 2019/4 werden verstuurd op 04/11/2019, de afsluitdatum voor het inbrengen van de resultaten was 18/11/2019, de individuele rapporten (niet-gevalideerd) waren toegankelijk in de Toolkit op 20/11/2019. De statistieken werden definitief afgesloten op 21/01/2020. De validatie werd uitgevoerd op 21/01/2020. De definitieve rapporten waren dus toegankelijk in de Toolkit vanaf deze datum.

### AARD VAN HET MATERIAAL

De stalen C/15241 en C/15242 zijn commerciële gelyofiliseerde controleserum van de firma ACQ.

#### **Homogeniteit en stabiliteit van de stalen:**

ACQ garandeert de homogeniteit en stabiliteit van deze stalen.

### INFORMATIE VERMELD IN DE TOOLKIT

#### **De volgende informatie werd voor dit staal in de TOOLKIT database vermeld:**

**C/15241:** Reconstitueer het monster met zuiver water of gelijkwaardig (volume zie flesje en procedure zie «Informatiebrochure EKE» op onze website). Bewaar het monster afgeschermd van het daglicht (Bilirubine). Gelieve de analyses zo vlug mogelijk na ontvangst uit te voeren of ten laatste op vrijdag (08/11/2019). Na reconstitutie, gedurende 20 min laten rusten bij kamertemperatuur. Voor analyse monster C/15241 voorzichtig mengen om een goede homogeniteit te bekomen. Niet schudden om schuim te voorkomen. Blanke vrouw van 55 jaar nuchter bij afname van serum, lengte = 170 cm, gewicht = 75 kg.

**C/15242:** Reconstitueer het monster met zuiver water of gelijkwaardig (volume zie flesje en procedure zie «Informatiebrochure EKE» op onze website). Bewaar het monster afgeschermd van het daglicht (Bilirubine). Gelieve de analyses zo vlug mogelijk na ontvangst uit te voeren of ten laatste op vrijdag (08/11/2019). Na reconstitutie, gedurende 20 min laten rusten bij kamertemperatuur. Voor analyse monster C/15242 voorzichtig mengen om een goede homogeniteit te bekomen. Niet schudden om schuim te voorkomen. Blanke man van 61 jaar nuchter bij afname van serum, lengte = 182 cm, gewicht = 82 kg.

## Voorwoord

Vanaf de EKE 2019/1 bieden we u de mogelijkheid aan om verschillende resultaten voor eenzelfde parameter in te brengen. Indien u niet over meerdere toestellen beschikt of indien u maar één resultaat wil inbrengen zoals gewoonlijk, hoeft u geen rekening te houden met deze functie.

U kan zowel resultaten voor verschillende kits inbrengen als voor verschillende apparaten die eenzelfde kit gebruiken. In het veld “interne identificatie van het toestel” kan u een eventuele eigen identificatie (intern aan uw laboratorium) ingeven.

In het geval waar u meerdere resultaten met eenzelfde kitreferentie voor verschillende toestellen inbrengt, zal met één enkel resultaat rekening gehouden worden in de berekening van de statistieken. Maar een Z en een U score zullen wel zichtbaar zijn in uw individueel rapport voor al uw ingevulde resultaten (voor de methodes met meer dan 5 deelnemers).

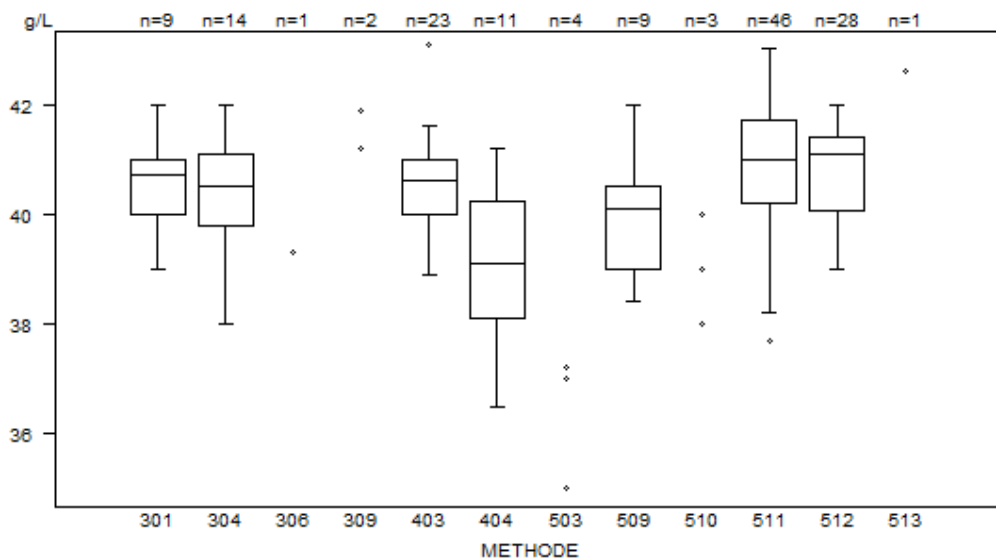
12 laboratoria hebben verschillende resultaten ingebracht voor dezelfde parameter of voor verschillende parameters ter gelegenheid van deze enquête chemie 2019/4.

***NB:** Wanneer de analytische variabiliteit van een bepaalde methode voor een bepaalde parameter laag is in vergelijking met de historiek van onze gegevensdatabase, wordt een herberekening van de basisstatistiek uitgevoerd na verwijdering van uitschieters indien aanwezig ten einde na te gaan of de foutieve geciteerde resultaten voor de z-evaluatie gerecupereerd kunnen worden. Het is een extra stap om de laboratoria beter te kunnen beoordelen.*

*Het is ook aan het labo zelf om een kritische analyse uit te voeren van zijn eigen citaties.*

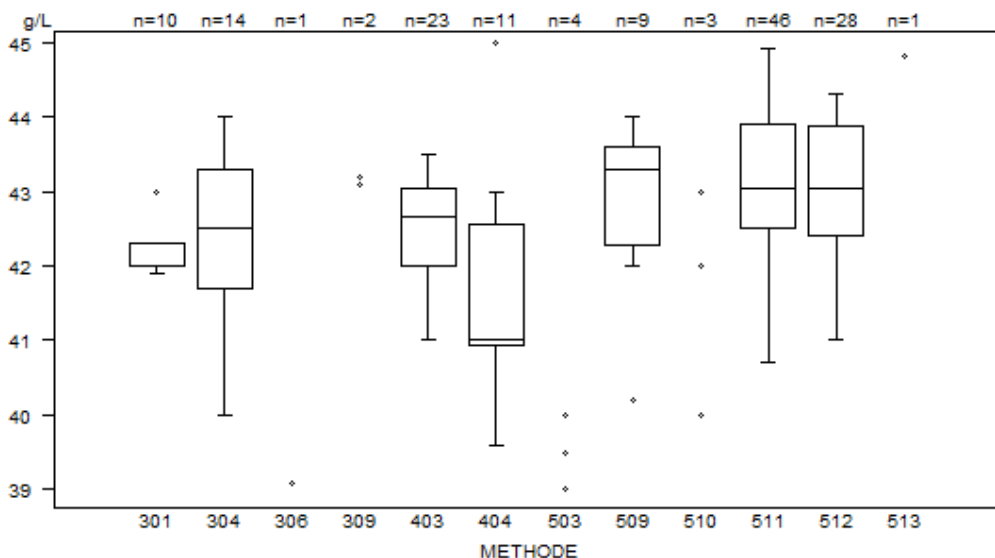
ALBUMINE - d (%) : 10.7	C/15241			
METHODE	Median g/L	SD g/L	CV %	N
<del>301 VIS (Bromocresol Green) - Siemens (Advia)</del>	<del>40.90</del>	<del>0.22</del>	<del>0.5</del>	<del>9</del>
301 VIS (Bromocresol Green) - Siemens (Advia)	40.73	0.91*	2.2	9
304 Reflectance Photometry (Bromocresol Green)	40.50	0.96	2.4	14
306 Nephelometry (Siemens/Dade/Vista)	39.30			1
309 Electrophoresis	41.20 41.90			2
403 VIS (Bromocresol Green) - Abbott	40.60	0.74	1.8	23
404 VIS (Bromocresol Green) - Olympus	39.10	1.59	4.1	11
503 VIS (Bromocresol Purple) - Siemens (Dade) - Dimension Vista	35.00 37.20	37.00	37.00	4
509 Turbidimetry - Roche (Cobas 6000/8000 c501/c502)	40.10	1.11	2.8	9
510 Turbidimetry - Roche (Cobas 8000 c701/c702)	38.00	39.00	40.00	3
511 VIS (Bromocresol Green) - Roche (Cobas 6000/8000 c501/c502)	41.00	1.11	2.7	46
512 VIS (Bromocresol Green) - Roche (Cobas 8000 c701/c702)	41.10	1.00	2.4	28
513 Turbidimetry - Olympus	42.60			1
Global results (all methods and all measuring systems)	40.70	0.94	2.3	151

*\*De robuuste standaarddeviatie die gewoonlijk wordt gebruikt voor de EKE berekeningen wordt vervangen door de klassieke standaarddeviatie formule na verwijdering van de eventuele "uitschieters" door Grubb's-test in deze peergroep voor albumine-resultaten van de gebruikers van de methode 301 VIS (Bromocresol Green) - Siemens (Advia), CV = 0.5% voor beide stalen van deze enquête.*



*De albumine-resultaten van deze enquête zijn homogeen voor beide geanalyseerde stalen met een globale variabiliteit tussen 2.3 en 2.4%. de eerder waargenomen negatieve bias (C/14853) en positieve bias (C/16231&CP/16230) voor de resultaten van de methode 304 Reflectance Photometry (Bromocresol Green) zijn niet langer aanwezig. We kunnen daarom redelijkerwijs aan een matrixeffect denken.*

ALBUMINE - d (%) : 10.7	C/15242			
METHODE	Median g/L	SD g/L	CV %	N
<del>301 VIS (Bromocresol Green) - Siemens (Advia)</del>	<del>42.00</del>	<del>0.22</del>	<del>0.5</del>	<del>10</del>
301 VIS (Bromocresol Green) - Siemens (Advia)	42.00	0.42*	1.0	10
304 Reflectance Photometry (Bromocresol Green)	42.50	1.19	2.8	14
306 Nephelometry (Siemens/Dade/Vista)	39.10			1
309 Electrophoresis	43.10 43.20			2
403 VIS (Bromocresol Green) - Abbott	42.66	0.78	1.8	23
404 VIS (Bromocresol Green) - Olympus	41.00	1.20	2.9	11
503 VIS (Bromocresol Purple) - Siemens (Dade) - Dimension Vista	39.00 40.00	39.50	40.00	4
509 Turbidimetry - Roche (Cobas 6000/8000 c501/c502)	43.30	0.99	2.3	9
510 Turbidimetry - Roche (Cobas 8000 c701/c702)	40.00	42.00	43.00	3
511 VIS (Bromocresol Green) - Roche (Cobas 6000/8000 c501/c502)	43.05	1.04	2.4	46
512 VIS (Bromocresol Green) - Roche (Cobas 8000 c701/c702)	43.05	1.09	2.5	28
513 Turbidimetry - Olympus	44.80			1
Global results (all methods and all measuring systems)	42.80	1.04	2.4	152



Data out of graph  
Method Value  
404 = 38.1 g/L  
403 = 45.45 g/L  
511 = 47 g/L

Aantal citaties voor de bepaling van albumine : Staal C/15241

Methode	Z-citatie	U-citatie
<del>301 VIS (Bromocresol Green) - Siemens (Advia)</del>	<del>5</del>	<del>0</del>
301 VIS (Bromocresol Green) - Siemens (Advia)	0	0
403 VIS (Bromocresol Green) - Abbott	1	0

*De herberekende standaarddeviatie bekomen door de klassieke formule laat toe om de z-citatie bekomen door de gebruikers van de methode 301 te verwijderen voor beide stalen.*

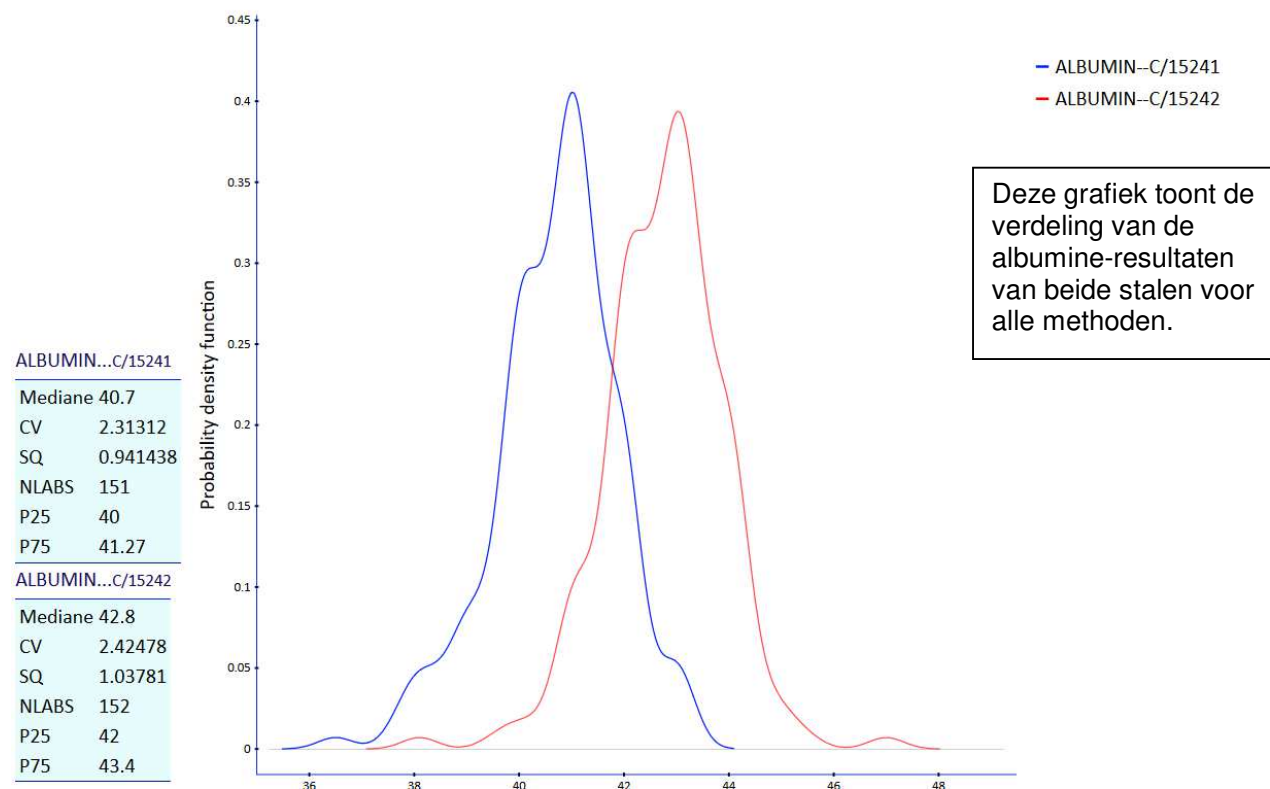
Aantal citaties voor de bepaling van albumine : Staal C/15242

Methode	Z-citatie	U-citatie
<del>301 VIS (Bromocresol Green) - Siemens (Advia)</del>	<del>2</del>	<del>0</del>
301 VIS (Bromocresol Green) - Siemens (Advia)	0	0
403 VIS (Bromocresol Green) - Abbott	1	0
404 VIS (Bromocresol Green) - Olympus	1	0
509 Turbidimetry - Roche (Cobas 6000/8000 c501/c502)	1	0
511 VIS (Bromocresol Green) - Roche (Cobas 6000/8000 c501/c502)	1	0

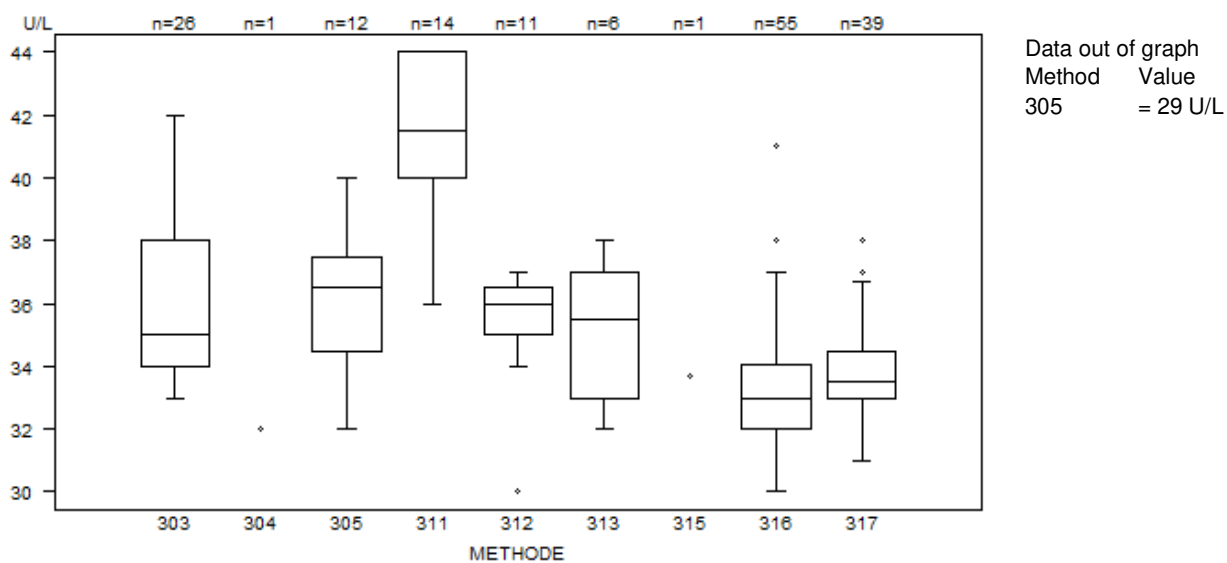
Gedetailleerde tabel van albumine resultaten voor methode 301 - Siemens Advia (CV = 0.5 %, voor beide stalen)

Instrument	Fab kit	kitname	C/15241	C/15242
Atellica CH 930 Analyser	SIEMENS (BAYER)	Atellica Alb (Ref 11097590)	39	42
Atellica CH Analyser	SIEMENS (BAYER)	Atellica Alb (Ref 11097590)	/	42
Atellica CH Analyser	SIEMENS (BAYER)	Atellica Alb (Ref 11097590)	40	42
Atellica CH Analyser	SIEMENS (BAYER)	Atellica Alb (Ref 11097590)	40,7	42,1
ADVIA 1800	SIEMENS (BAYER)	ADVIA Albumin (04992820)	40,7	41,9
Advia 1800	SIEMENS (BAYER)	ADVIA Albumin (04992820)	40,9	42,3
ADVIA 1800	SIEMENS (BAYER)	ADVIA Albumin (07622536)	41	43
Atellica CH Analyser	SIEMENS (BAYER)	Atellica Alb (Ref 11097590)	41	42
Atellica CH Analyser	SIEMENS (BAYER)	Atellica Alb (Ref 11097590)	42	43
Atellica CH Analyser	SIEMENS (BAYER)	Atellica Alb (Ref 11097590)	42	42

Kernel densiteitsschatting van alle methoden voor albumine-resultaten voor beide stalen.



METHODE	C/15241			
	Median U/L	SD U/L	CV %	N
303 Para-nitrophenyl Phosphate-ABBOTT	35.0	3.0	8.5	26
304 Para-nitrophenyl Phosphate-IFCC COULTER-BECKMAN	32.0			1
305 Para-nitrophenyl Phosphate-IFCC OLYMPUS	36.5	2.2	6.1	12
311 Para-nitrophenyl Phosphate-OCD	41.5	3.0	7.1	14
312 Para-nitrophenyl Phosphate-IFCC Siemens (Bayer)	36.0	1.1	3.1	11
313 Para-nitrophenyl Phosphate-IFCC Dimension Vista	35.5	3.0	8.4	6
315 Para-nitrophenyl Phosphate-IFCC COBAS INTEGRA	33.7			1
316 Para-nitrophenyl Phosphate-IFCC COBAS c501/c502	33.0	1.5	4.6	55
317 Para-nitrophenyl Phosphate-IFCC COBAS c701/c702	33.5	1.1	3.3	39
Global results (all methods and all measuring systems)				165

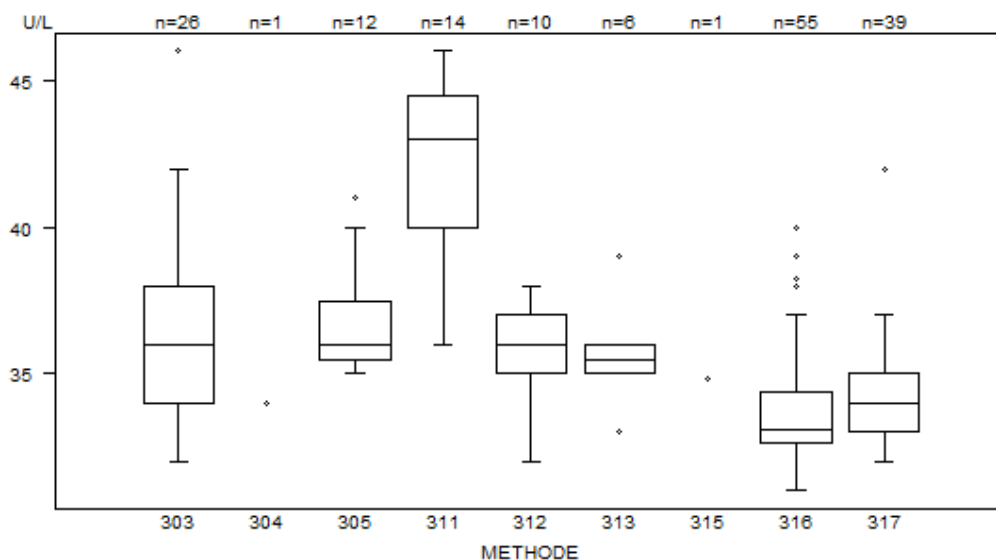


De resultaten van de gebruikers van de methode 311 Para-nitrophenyl Phosphate-OCD vertonen een positieve bias voor beide stalen. Tijdens de vorige enquête 2019/2, vertoonden de ALP-resultaten van deze zelfde methode voor het staal CP/16230 eerder een negatieve bias.



ALP - d (%) : 21.9	C/15242			
METHODE	Median U/L	SD U/L	CV %	N
303 Para-nitrophenyl Phosphate-ABBOTT	36.0	3.0	8.2	26
304 Para-nitrophenyl Phosphate-IFCC COULTER-BECKMAN	34.0			1
305 Para-nitrophenyl Phosphate-IFCC OLYMPUS	36.0	1.5	4.1	12
311 Para-nitrophenyl Phosphate-OCD	<b>43.0</b>	3.3	7.8	14
312 Para-nitrophenyl Phosphate-IFCC Siemens (Bayer)	36.0	1.5	4.1	10
<del>313 Para-nitrophenyl Phosphate-IFCC Dimension Vista</del>	<del>35.5</del>	<del>0.7</del>	<del>2.1</del>	<del>6</del>
313 Para-nitrophenyl Phosphate-IFCC Dimension Vista	35.7	<b>2.0*</b>	<b>5.5</b>	6
315 Para-nitrophenyl Phosphate-IFCC COBAS INTEGRA	34.8			1
<del>316 Para-nitrophenyl Phosphate-IFCC COBAS c501/c502</del>	<del>33.1</del>	<del>1.3</del>	<del>3.9</del>	<del>55</del>
316 Para-nitrophenyl Phosphate-IFCC COBAS c501/c502	33.6	<b>1.6*</b>	<b>4.6</b>	55
317 Para-nitrophenyl Phosphate-IFCC COBAS c701/c702	34.0	1.5	4.4	39
Global results (all methods and all measuring systems)				164

*\*De robuuste standaarddeviatie die gewoonlijk wordt gebruikt voor de EKE berekeningen wordt vervangen door de klassieke standaarddeviatie formule na verwijdering van de eventuele "uitschieters" door Grubb's-test in deze peergroepen voor ALP- resultaten van de gebruikers van de methoden 313 Para-nitrophenyl Phosphate-IFCC Dimension Vista en 316 Para-nitrophenyl Phosphate-IFCC COBAS c501/c502, voor het staal C/15242 van deze enquête.*



Data out of graph  
 Method Value  
 305 = 30 U/L

Aantal citaties voor de bepaling van alkalische fosfatasen : staal C/15241

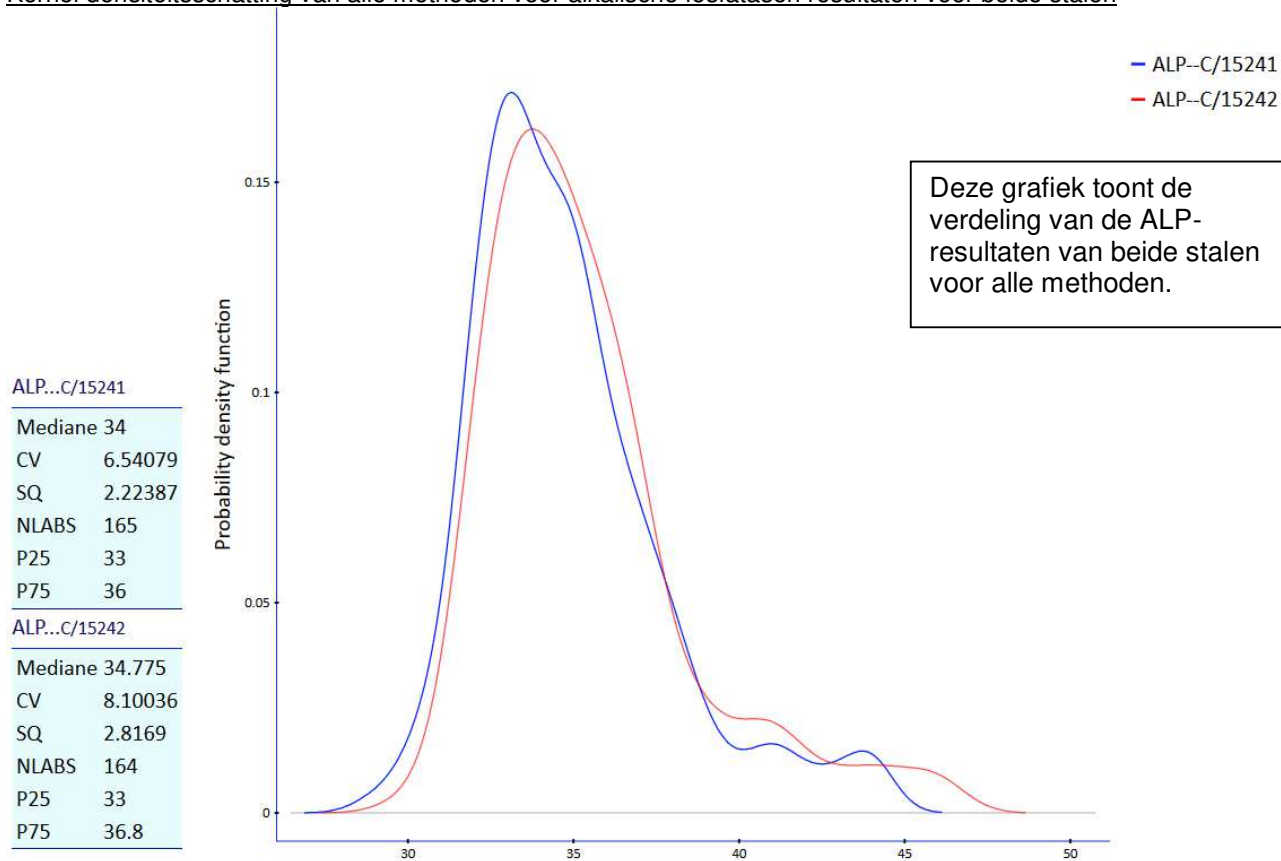
Methode	Z-citatie	U-citatie
305 Para-nitrophenyl Phosphate-IFCC OLYMPUS	1	0
312 Para-nitrophenyl Phosphate-IFCC Siemens (Bayer)	1	0
316 Para-nitrophenyl Phosphate-IFCC COBAS c501/c502	2	1
317 Para-nitrophenyl Phosphate-IFCC COBAS c701/c702	2	0

Aantal citaties voor de bepaling van alkalische fosfatasen : staal C/15242

Methode	Z-citatie	U-citatie
303 Para-nitrophenyl Phosphate-ABBOTT	1	1
305 Para-nitrophenyl Phosphate-IFCC OLYMPUS	2	0
<del>313 Para-nitrophenyl Phosphate-IFCC Dimoncion Vista</del>	<del>2</del>	<del>0</del>
313 Para-nitrophenyl Phosphate-IFCC Dimension Vista	0	0
<del>316 Para-nitrophenyl Phosphate-IFCC COBAS c501/c502</del>	<del>5</del>	<del>0</del>
316 Para-nitrophenyl Phosphate-IFCC COBAS c501/c502	2	0
317 Para-nitrophenyl Phosphate-IFCC COBAS c701/c702	1	1

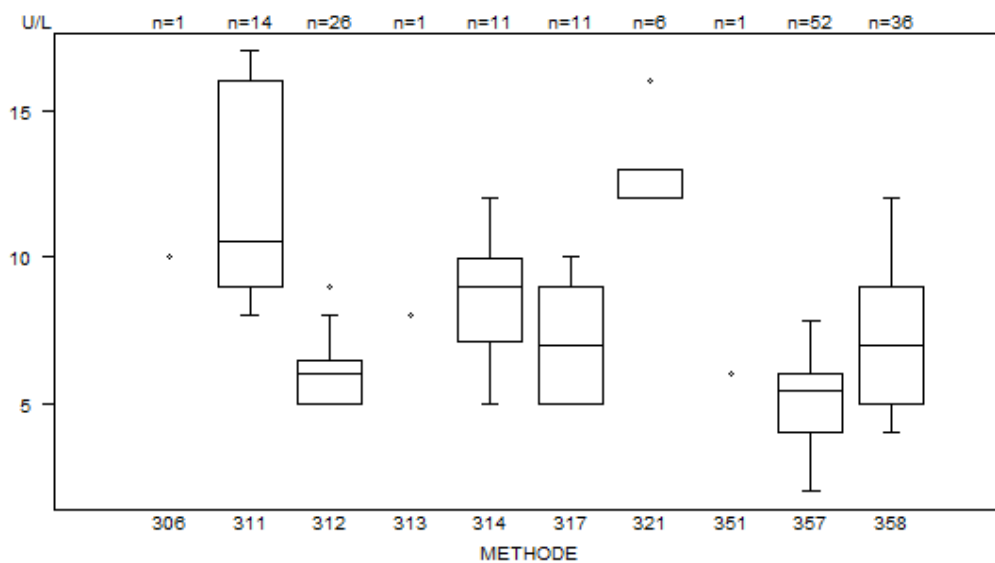
*De herberekende standaarddeviatie bekomen door de klassieke formule laat toe om de z-citaties bekomen door de gebruikers van de methoden 313 en 316 te verminderen.*

Kernel densiteitsschatting van alle methoden voor alkalische fosfatasen resultaten voor beide stalen

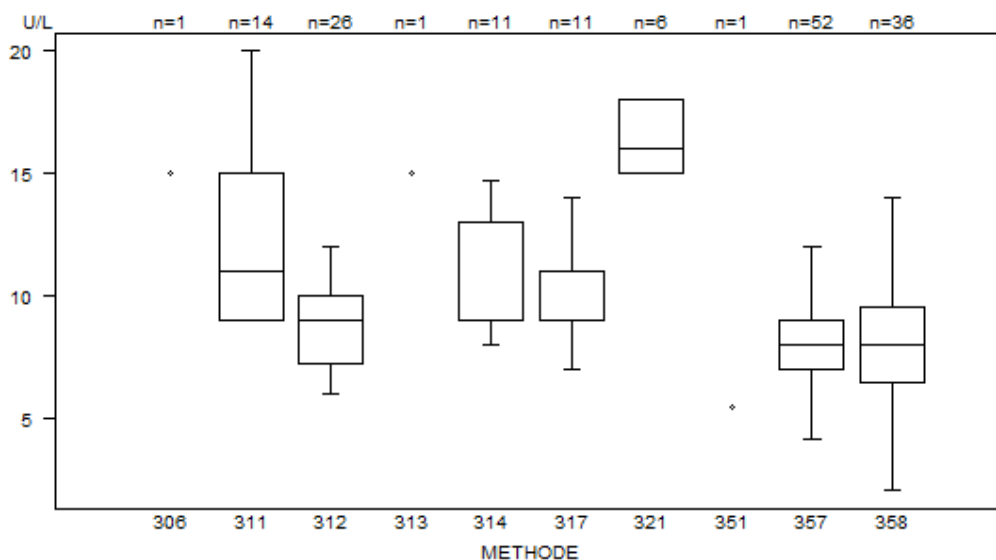


METHODE	C/15241			
	Median U/L	SD U/L	CV %	N
306 Kinetic (Tris buffer) IFCC + pyrid. phosph.- 37°C Siemens (Dade)		10.0		1
311 Reflectance photometry - OCD	10.5	5.2	<b>49.4</b>	14
312 Kinetic (Tris buffer) modified IFCC - 37°C - Abbott	6.0	1.1	18.5	26
313 Kinetic (Tris buffer) modified IFCC - 37°C - Coulter (Beckman)		8.0		1
314 Kinetic (Tris buffer) modified IFCC - 37°C - Olympus	9.0	2.1	<b>23.5</b>	11
317 Kinetic (Tris buffer) modified IFCC - 37°C - Siemens (Bayer)	7.0	<i>4/11 valeurs censurées</i>		11
321 Kinetic (Tris buffer) IFCC+pyrid. phosph.- 37°C Siemens (Dade) - Dimension Vista	12.0	0.7	6.2	6
351 Kinetic (Tris buffer) modified IFCC - 37°C - Roche (Cobas Integra 400/400 plus)		6.0		1
357 Kinetic (Tris buffer) modified IFCC - 37°C - Roche (Cobas 6000/8000 c501/c502)	5.5	1.5	<b>27.2</b>	52
358 Kinetic (Tris buffer) modified IFCC - 37°C - Roche (Cobas 8000 c701/c702)	7.0	3.0	<b>42.4</b>	36
Global results (all methods and all measuring systems)				159

Het lage ALT concentratieniveau van beide geanalyseerde stalen van deze enquête leidt tot de hoge CVs bekomen door de meerderheid van de methoden.



METHODE	C/15242			
	Median U/L	SD U/L	CV %	N
ALT (GPT) - d (%) : 13.3				
306 Kinetic (Tris buffer) IFCC + pyrid. phosph.- 37°C Siemens (Dade)		15.0		1
311 Reflectance photometry - OCD	11.0	4.4	40.4	14
312 Kinetic (Tris buffer) modified IFCC - 37°C - Abbott	9.0	2.1	23.1	26
313 Kinetic (Tris buffer) modified IFCC - 37°C - Coulter (Beckman)		15.0		1
314 Kinetic (Tris buffer) modified IFCC - 37°C - Olympus	9.0	3.0	32.9	11
317 Kinetic (Tris buffer) modified IFCC - 37°C - Siemens (Bayer)	9.0	1.5	16.5	11
321 Kinetic (Tris buffer) IFCC+pyrid. phosph.- 37°C Siemens (Dade) - Dimension Vista	16.0	2.2	13.9	6
351 Kinetic (Tris buffer) modified IFCC - 37°C - Roche (Cobas Integra 400/400 plus)		5.4		1
357 Kinetic (Tris buffer) modified IFCC - 37°C - Roche (Cobas 6000/8000 c501/c502)	8.0	1.5	19.0	52
358 Kinetic (Tris buffer) modified IFCC - 37°C - Roche (Cobas 8000 c701/c702)	8.0	2.3	28.3	36
Global results (all methods and all measuring systems)				159



Data out of graph  
Method Value  
358 = 29.5 U/L

#### Aantal citaties voor de bepaling van ALT : staal C/15241

Methode	Z-citatie	U-citatie
312 Kinetic (Tris buffer) modified IFCC - 37°C - Abbott	2	0
321 Kinetic (Tris buffer) IFCC+pyrid. phosph.- 37°C Siemens (Dade) - Dimension Vista	1	0

#### Aantal citaties voor de bepaling van ALT : staal C/15242

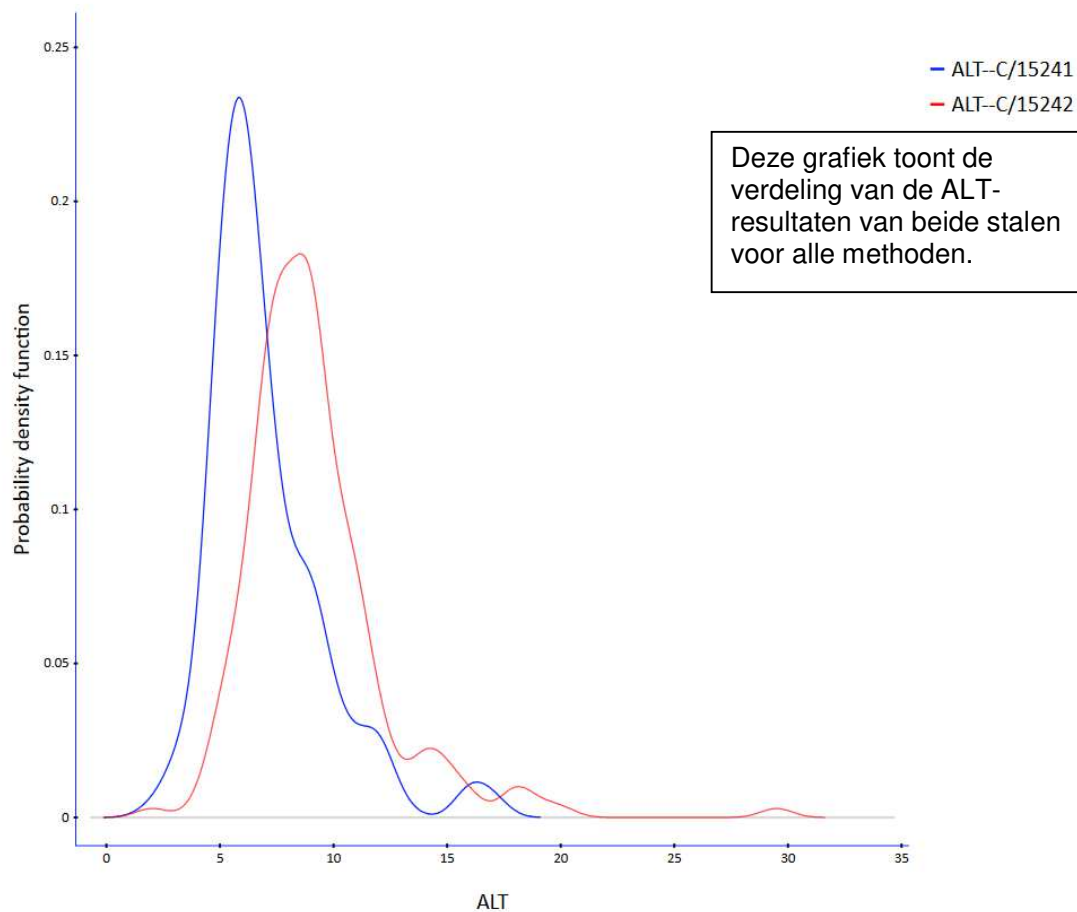
Methode	Z-citatie	U-citatie
317 Kinetic (Tris buffer) modified IFCC - 37°C - Siemens (Bayer)	1	0
358 Kinetic (Tris buffer) modified IFCC - 37°C - Roche (Cobas 8000 c701/c702)	1	1

Kernel densiteitsschatting van alle methoden voor ALT-resultaten voor beide stalen

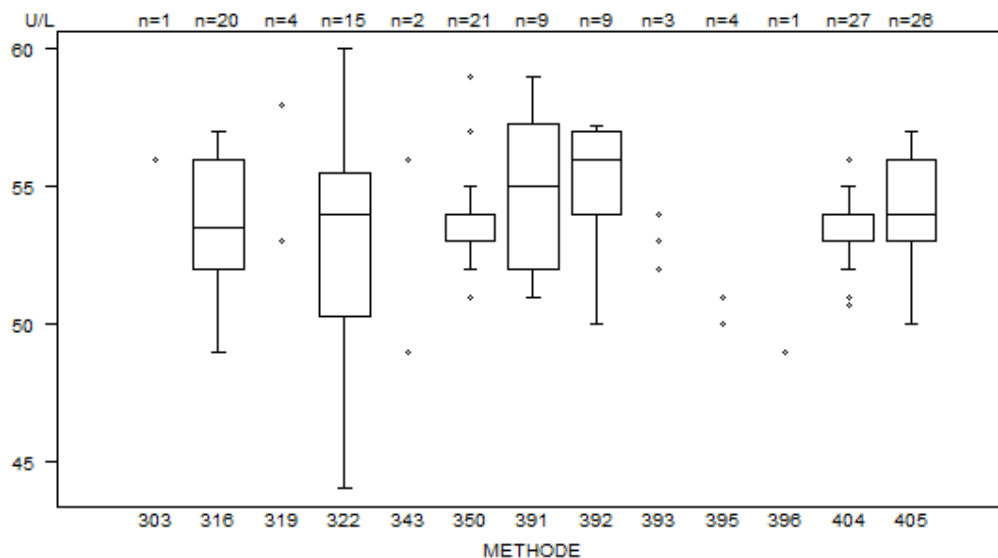
ALT...C/15241	
Mediane	6
CV	49.4193
SQ	2.96516
NLABS	159
P25	5
P75	9

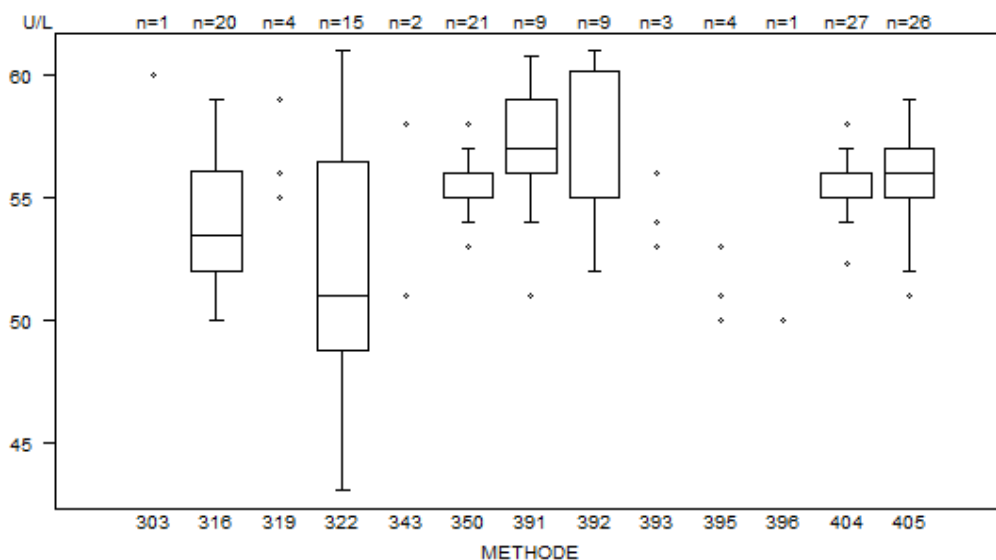
ALT...C/15242	
Mediane	9
CV	32.9462
SQ	2.96516
NLABS	159
P25	7
P75	11



METHODE	C/15241			
	Median U/L	SD U/L	CV %	N
303 Kinetic methods-VIS photom. (PNP maltoheptaoside-benzylidene) 37°C	56.0			1
316 Kinetic-VIS photometry (chloro PNP maltotrioside) 37°C Abbott	53.5	3.0	5.5	20
319 Kinetic-VIS (PNP maltoheptaoside-ethylidene) 37°C - Coulter (Beckman)	53.0 58.0	53.0	58.0	4
322 Reflectance photometry (amylopectin) OCD - 37°C	54.0	3.9	7.2	15
343 Kinetic-VIS (chloro PNP maltotrioside) 37°C - Olympus	49.0 56.0			2
350 Other methods	54.0	0.7	1.4	21
391 Kinetic-VIS (PNP maltoheptaoside-ethylidene) 37°C - Olympus	55.0	3.9	7.1	9
392 Kinetic-VIS photom. (PNP maltoheptaoside-ethylidene) 37°C-Siemens (Bayer)	56.0	2.2	4.0	9
393 Kinetic-VIS (PNP maltoheptaoside-ethylidene) 37°C- Roche (Hit/Modular)	52.0	53.0	54.0	3
395 Kinetic-VIS (chloro PNP maltotrioside) 37°C- Siemens (Dade) - Dimension Vista	50.0 51.0	50.0	50.0	4
396 Kinetic-VIS (chloro PNP maltotrioside) 37°C- Siemens (Dade) - Dimension RxL	49.0			1
404 Kinetic-VIS (PNP maltoH-E) 37°C- Roche (Cobas 6000/8000 c501/c502)	53.0	0.7	1.4	27
405 Kinetic-VIS (PNP maltoH-E) 37°C- Roche (Cobas 8000 c701/c702)	54.0	2.2	4.1	26
Global results (all methods and all measuring systems)				142



AMYLASE - d (%) : 16.2	C/15242			
METHODE	Median U/L	SD U/L	CV %	N
303 Kinetic methods-VIS photom. (PNP maltoheptaoside-benzylidene) 37°C	60.0			1
316 Kinetic-VIS photometry (chloro PNP maltotrioside) 37°C Abbott	53.5	3.0	5.6	20
319 Kinetic-VIS (PNP maltoheptaoside-ethylidene) 37°C - Coulter (Beckman)	55.0 59.0	56.0	59.0	4
322 Reflectance photometry (amylopectin) OCD - 37°C	51.0	5.7	<b>11.3</b>	15
343 Kinetic-VIS (chloro PNP maltotrioside) 37°C - Olympus	51.0 58.0			2
350 Other methods	55.0	0.7	1.3	21
391 Kinetic-VIS (PNP maltoheptaoside-ethylidene) 37°C - Olympus	57.0	2.2	3.9	9
392 Kinetic-VIS photom. (PNP maltoheptaoside-ethylidene) 37°C-Siemens (Bayer)	55.0	3.9	7.0	9
393 Kinetic-VIS (PNP maltoheptaoside-ethylidene) 37°C- Roche (Hit/Modular)	53.0	54.0	56.0	3
395 Kinetic-VIS (chloro PNP maltotrioside) 37°C- Siemens (Dade) - Dimension Vista	50.0 53.0	50.0	51.0	4
396 Kinetic-VIS (chloro PNP maltotrioside) 37°C- Siemens (Dade) - Dimension RxL	50.0			1
404 Kinetic-VIS (PNP maltoH-E) 37°C- Roche (Cobas 6000/8000 c501/c502)	55.0	0.7	1.3	27
405 Kinetic-VIS (PNP maltoH-E) 37°C- Roche (Cobas 8000 c701/c702)	56.0	1.5	2.6	26
Global results (all methods and all measuring systems)				142



Data out of graph  
Method Value  
350 = 62 U/L

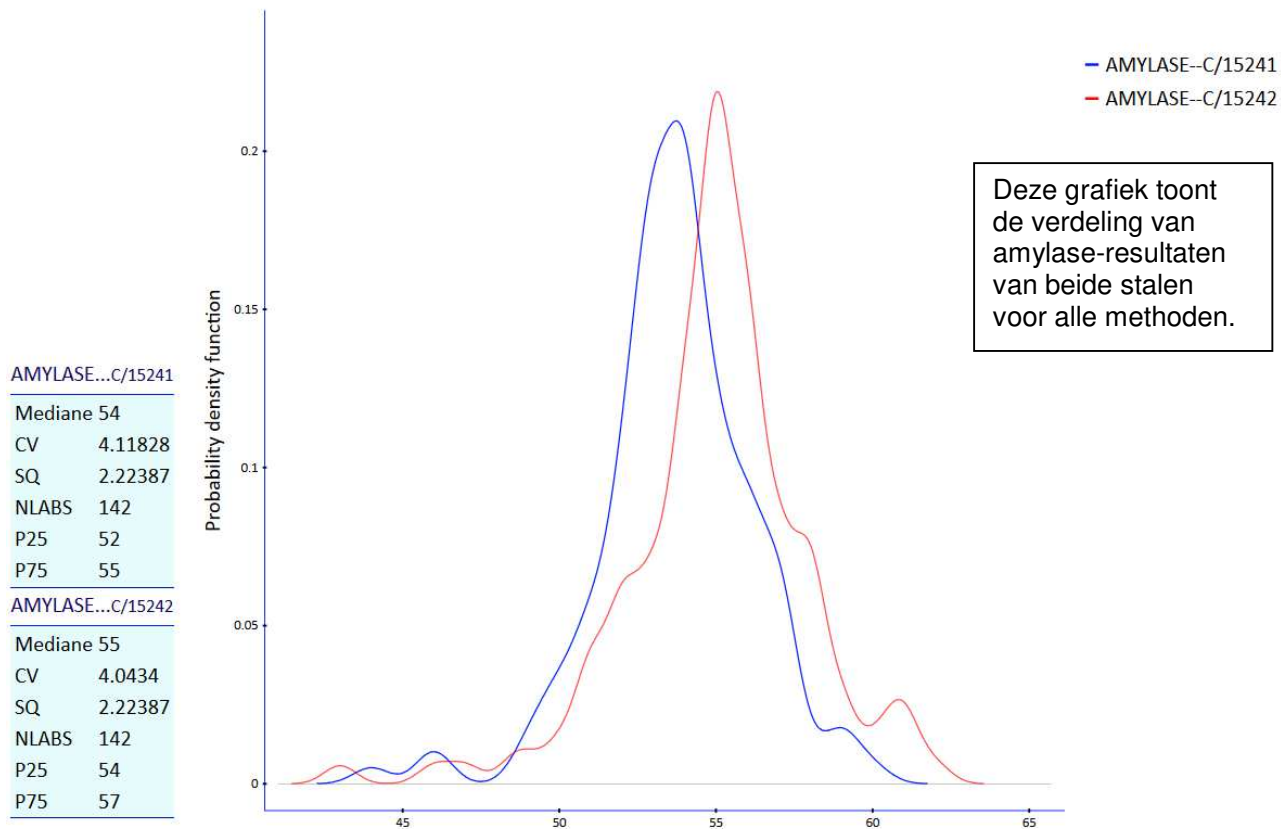
#### Aantal citaties voor de bepaling van amylase : Staal C/15241

Methode	Z-citatie	U-citatie
322 Reflectance photometry (amylopectin) OCD - 37°C	0	1
350 Other methods	3	0
404 Kinetic-VIS (PNP maltoH-E) 37°C- Roche (Cobas 6000/8000 c501/c502)	2	0

Aantal citaties voor de bepaling van amylase : Staal C/15242

Methode	Z-citatie	U-citatie
322 Reflectance photometry (amylopectin) OCD - 37°C	0	1
350 Other methods	2	0
404 Kinetic-VIS (PNP maltoH-E) 37°C- Roche (Cobas 6000/8000 c501/c502)	2	0
405 Kinetic-VIS (PNP maltoH-E) 37°C- Roche (Cobas 8000 c701/c702)	1	0

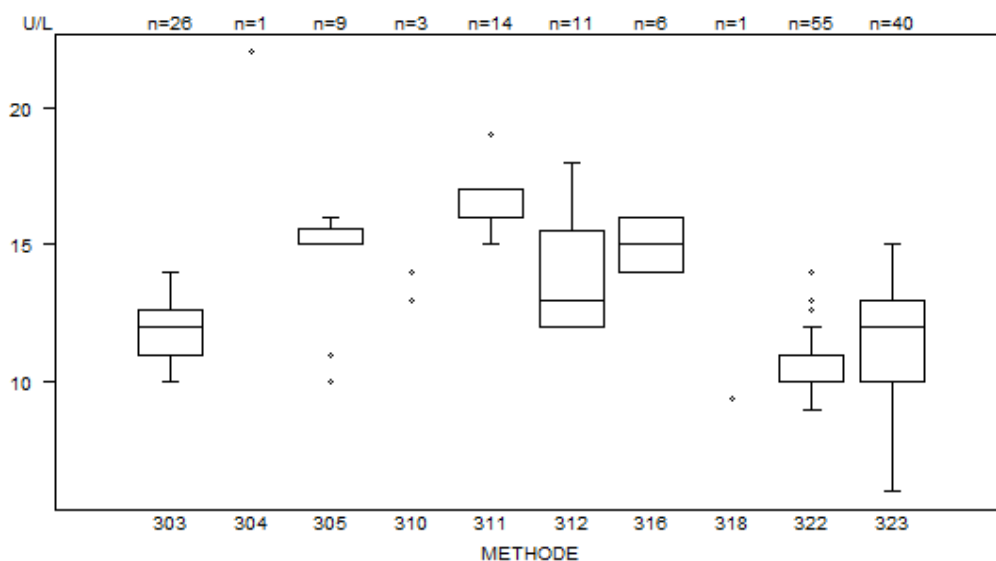
Kernel densiteitsschatting van alle methoden voor amylase-resultaten voor beide stalen



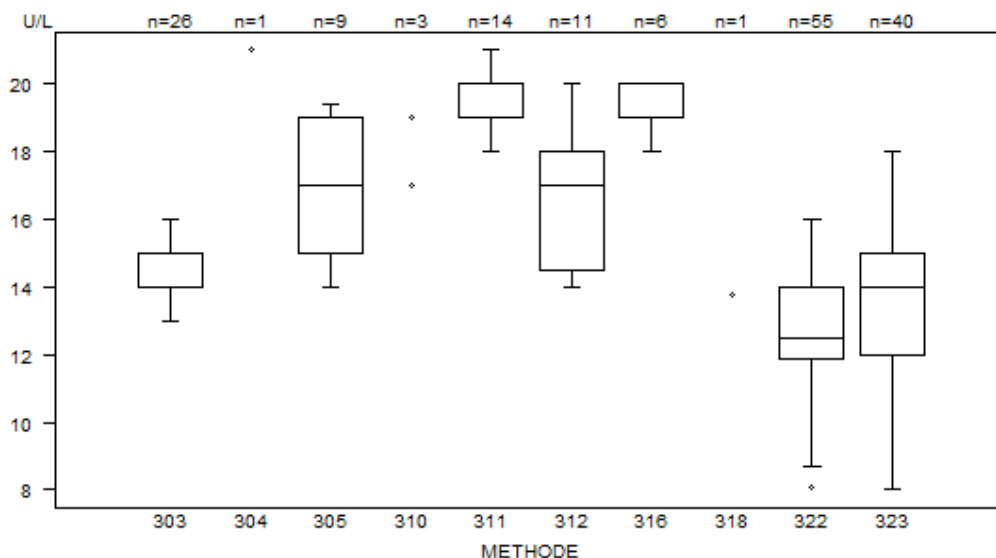
AMYLASE...C/15241	
Mediane	54
CV	4.11828
SQ	2.22387
NLABS	142
P25	52
P75	55
AMYLASE...C/15242	
Mediane	55
CV	4.0434
SQ	2.22387
NLABS	142
P25	54
P75	57



METHODE	C/15241			
	Median U/L	SD U/L	CV %	N
303 Kinetic (Tris buffer) modified IFCC-37°C-Abbott	12.0	1.2	9.9	26
304 Kinetic (Tris buffer) modified IFCC-37°C-Coulter	22.0			1
305 Kinetic (Tris buffer) modified IFCC-37°C-Olympus	15.0	0.4	3.0	9
310 Kinetic (Tris buffer) IFCC+pyrid.phosph.-37°C-Olympus	13.0	13.0	14.0	3
311 Reflectance photometry OCD - 37°C	16.0	0.7	4.6	14
312 Kinetic (Tris buffer) modified IFCC-37°C-Siemen (Bayer)	13.0	2.6	<b>20.0</b>	11
316 Kinetic (Tris buffer) IFCC + pyrid.phosph.-37°C-Siemens (Dade) - Dimension Vista	15.0	1.5	9.9	6
318 Kinetic (Tris buffer) modified IFCC-37°C-Roche (Cobas Integra 400/400 plus)	9.4			1
322 Kinetic (Tris buffer) modified IFCC-37°C-Roche (Cobas 6000/8000 c501/c502)	11.0	0.7	6.7	55
323 Kinetic (Tris buffer) modified IFCC-37°C-Roche (Cobas 8000 c701/c702)	12.0	2.2	<b>18.5</b>	40
Global results (all methods and all measuring systems)				166



AST (GOT) - d (%) : 11.3	C/15242			
	Median U/L	SD U/L	CV %	N
METHODE				
303 Kinetic (Tris buffer) modified IFCC-37°C-Abbott	15.0	0.7	4.9	26
304 Kinetic (Tris buffer) modified IFCC-37°C-Coulter	21.0			1
305 Kinetic (Tris buffer) modified IFCC-37°C-Olympus	17.0	3.0	17.4	9
310 Kinetic (Tris buffer) IFCC+pyrid.phosph.-37°C-Olympus	17.0	17.0	19.0	3
311 Reflectance photometry OCD - 37°C	20.0	0.7	3.7	14
312 Kinetic (Tris buffer) modified IFCC-37°C-Siemen (Bayer)	17.0	2.6	15.3	11
316 Kinetic (Tris buffer) IFCC + pyrid.phosph.-37°C-Siemens (Dade) - Dimension Vista	19.0	0.7	3.9	6
318 Kinetic (Tris buffer) modified IFCC-37°C-Roche (Cobas Integra 400/400 plus)	13.8			1
322 Kinetic (Tris buffer) modified IFCC-37°C-Roche (Cobas 6000/8000 c501/c502)	12.5	1.6	12.8	55
323 Kinetic (Tris buffer) modified IFCC-37°C-Roche (Cobas 8000 c701/c702)	14.0	2.2	15.9	40
Global results (all methods and all measuring systems)				166



Data out of graph  
Method Value  
322 = 6.9 U/L  
323 = 7 U/L  
316 = 22 U/L

Aantal citaties voor de bepaling van AST : Staal C/15241

Methode	Z-citatie	U-citatie U
305 Kinetic (Tris buffer) modified IFCC-37°C-Olympus	2	0
311 Reflectance photometry OCD - 37°C	1	0
322 Kinetic (Tris buffer) modified IFCC-37°C-Roche (Cobas 6000/8000 c501/c502)	1	0

Aantal citaties voor de bepaling van AST : Staal C/15242

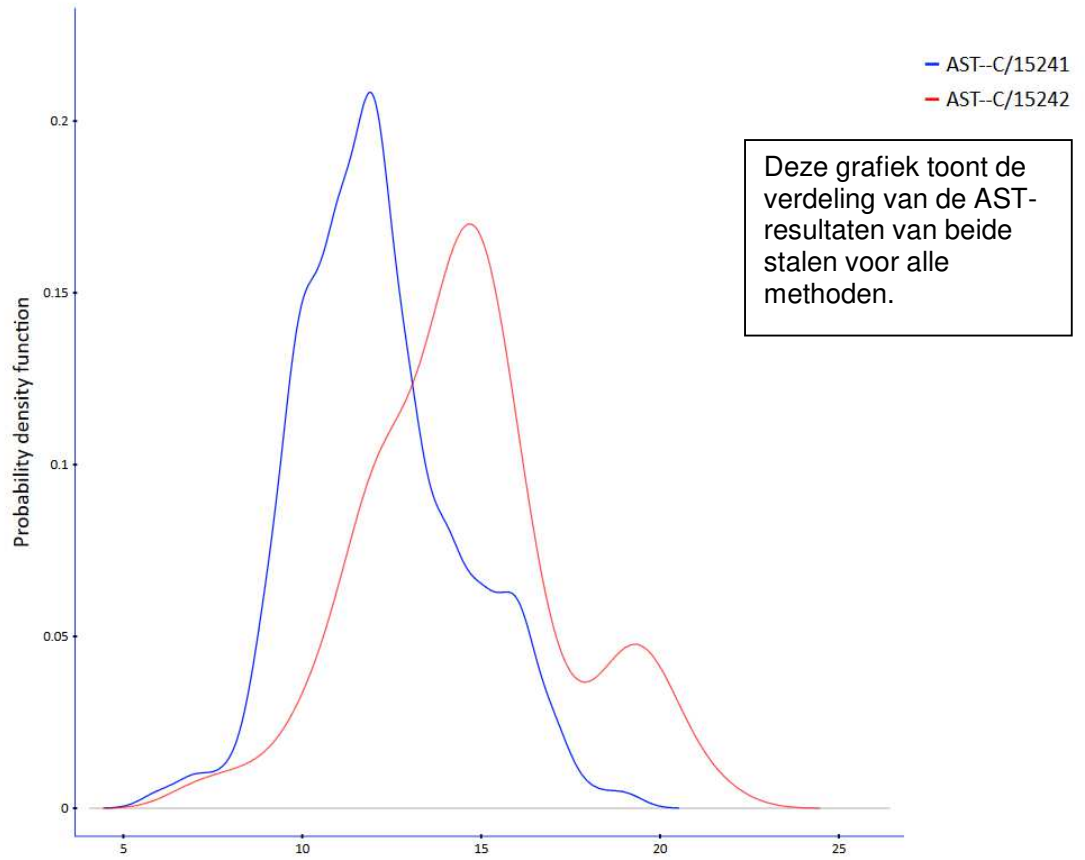
Methode	Z-citatie	U-citatie
316 Kinetic (Tris buffer) IFCC + pyrid.phosph.-37°C-Siemens (Dade) - Dimension Vista	1	0
322 Kinetic (Tris buffer modified IFCC-37°C-Roche(Cobas 6/8-000 c501/c502)	1	0
323 Kinetic (Tris buffer) modified IFCC-37°C-Roche (Cobas 8000 c701/c702)	1	1

Kernel densiteitsschatting van alle methoden voor AST-resultaten voor beide stalen

AST...C/15241	
Mediane	12
CV	19.15
SQ	2.298
NLABS	166
P25	10.9
P75	14

AST...C/15242	
Mediane	14.05
CV	18.4663
SQ	2.59451
NLABS	166
P25	12.5
P75	16

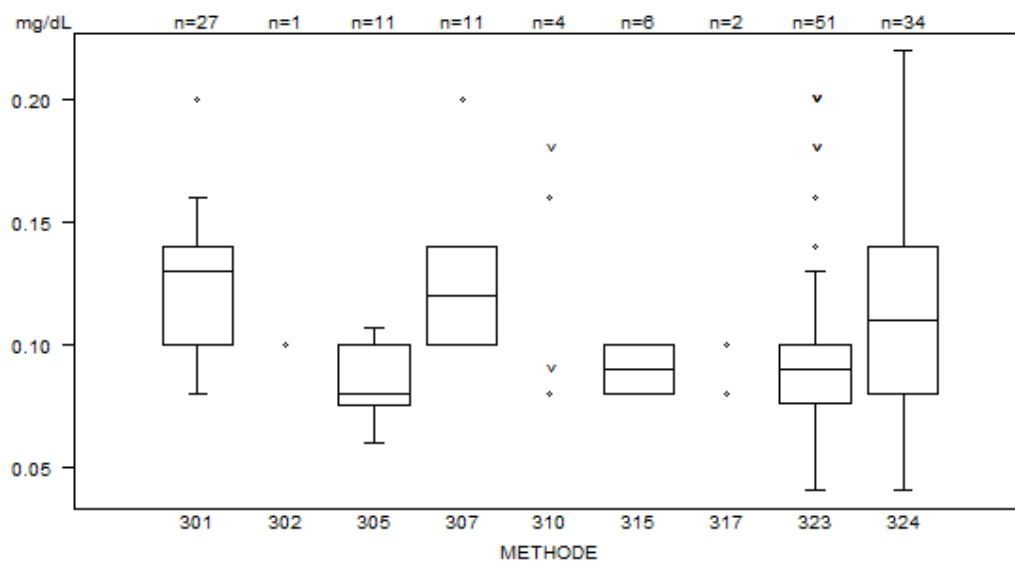


METHODE	C/15241			
	Median mg/dL	SD mg/dL	CV %	N
301 Diazo sulfanilic acid -Abbott	0.130	0.030	<b>22.8</b>	27
302 Diazo sulfanilic acid (blue color) - Coulter (Beckman)	0.100			1
305 Diphenyldiazonium (DPD) - Olympus	0.080	0.019	<b>23.2</b>	11
306 Reflectometry - OCD	<i>0.3 - 0.27 - 0.11 - 0.1 - 0.1 - &lt; 0.05 - &lt; 0.03 - 0 - 0 - 0 - 0 - 0</i>			12
307 Reduction (biliverdin) - Siemens (Bayer)	0.120	0.030	24.7	11
310 Diazo sulfanilic acid - Roche (Hit/Modular)	0.080 <0.180	<0.090	0.160	4
315 Diazo sulfanilic acid - Siemens (Dade) - Dimension Vista	0.090	0.015	16.5	6
317 Diazo sulfanilic acid - Roche (Cobas 6000)	0.080	0.100		2
319 Diazo sulfanilic acid - Roche (Cobas Integra 400/400 plus)	<0.100			1
323 Diazo sulfanilic acid - Roche (Cobas 6000/8000 c501/c502)	0.090	0.018	19.8	49
324 Diazo sulfanilic acid - Roche (Cobas 8000 c701/c702)	0.110	0.037	<b>33.7</b>	30
Global results (all methods and all measuring systems)	0.100	0.030	29.7	154

De resultaten bekomen door de gebruikers van de methode 306 Reflectometry – OCD (N = 12) laten geen berekening van basis statistieken toe.

We bemerken een grote spreiding van deze resultaten vanwege het lage concentratieniveau in directe bilirubine van het staal C/15241.

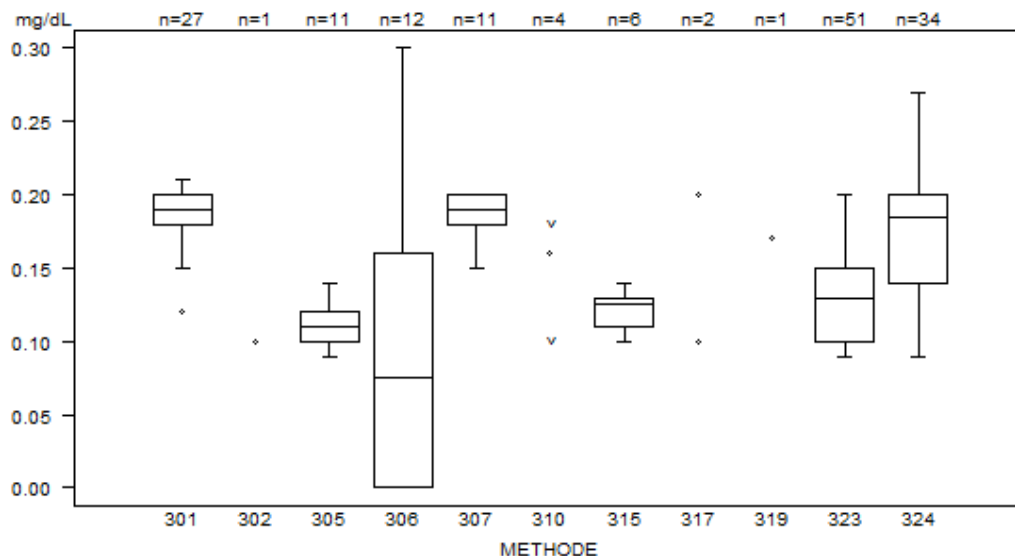
Deze parameter zal niet geëvalueerd worden.



METHODE	C/15242			
	Median mg/dL	SD mg/dL	CV %	N
301 Diazo sulfanilic acid -Abbott	0.190	0.015	7.8	27
302 Diazo sulfanilic acid (blue color) - Coulter (Beckman)	0.100			1
305 Diphenyldiazonium (DPD) - Olympus	0.110	0.015	13.5	11
306 Reflectometry - OCD	0.075	0.119	<b>158.1</b>	12
307 Reduction (biliverdin) - Siemens (Bayer)	0.190	0.015	7.8	11
310 Diazo sulfanilic acid - Roche (Hit/Modular)	< 0.100 < 0.180	0.160	0.160	4
315 Diazo sulfanilic acid - Siemens (Dade) - Dimension Vista	0.125	0.015	11.9	6
317 Diazo sulfanilic acid - Roche (Cobas 6000)	0.100 0.200			2
319 Diazo sulfanilic acid - Roche (Cobas Integra 400/400 plus)	0.170			1
323 Diazo sulfanilic acid - Roche (Cobas 6000/8000 c501/c502)	0.120	0.037	<b>30.9</b>	49
324 Diazo sulfanilic acid - Roche (Cobas 8000 c701/c702)	0.185	0.037	<b>20.0</b>	30
Global results (all methods and all measuring systems)	0.150	0.061	40.5	154

We merken een grote spreiding voor de directe bilirubine waarden vanwege het lage concentratieniveau in het staal C/15242.

Deze parameter zal niet geëvalueerd worden.



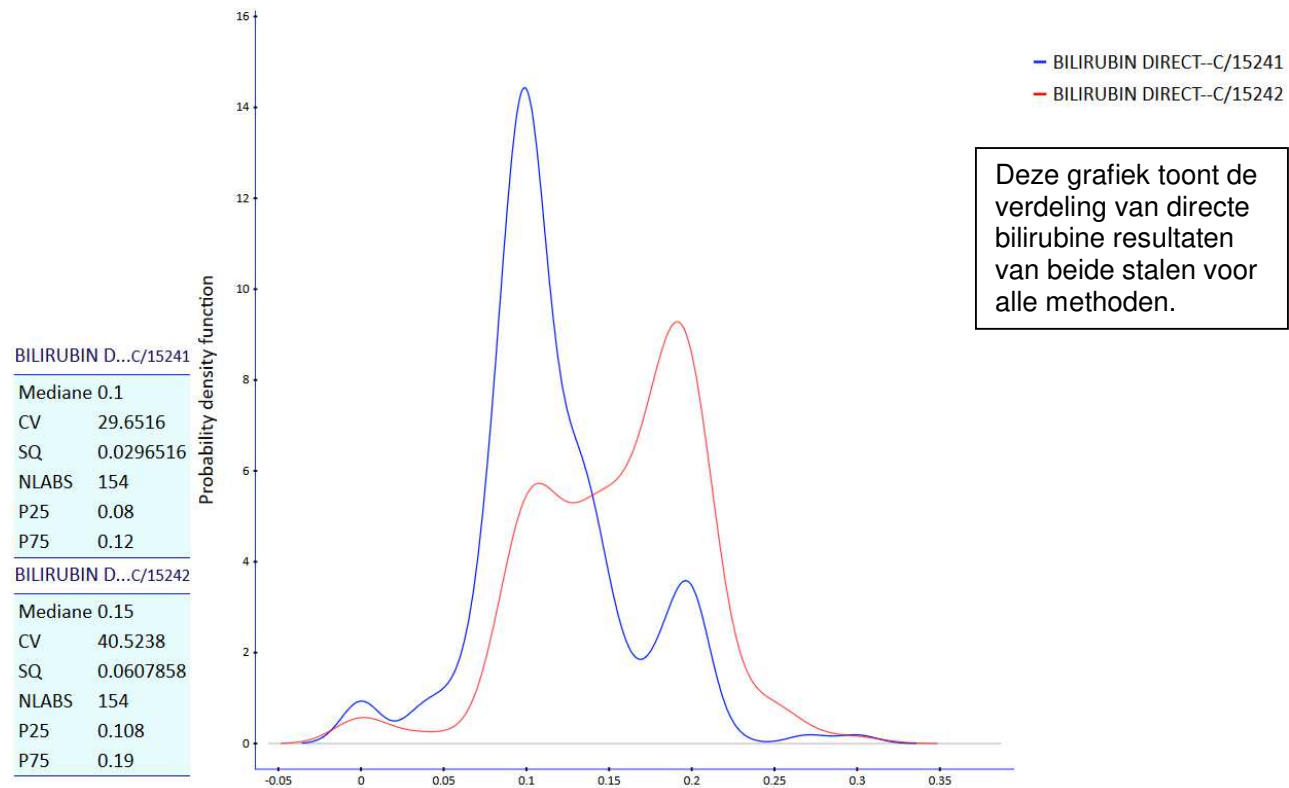
Aantal citaties voor de bepaling van directe bilirubine : staal C/15241

Methode	Citation Z	Citation U
<del>301 Diazo sulfanilic acid -Abbott</del>	<del>0</del>	<del>2</del>
<del>305 Diphenyldiazonium (DPD) - Olympus</del>	<del>0</del>	<del>5</del>
<del>307 Reduction (biliverdin) - Siemens (Bayer)</del>	<del>0</del>	<del>1</del>
<del>323 Diazo sulfanilic acid - Roche (Cobas 6000/8000 c501/c502)</del>	<del>7</del>	<del>16</del>
<del>324 Diazo sulfanilic acid - Roche (Cobas 8000 c701/c702)</del>	<del>0</del>	<del>20</del>

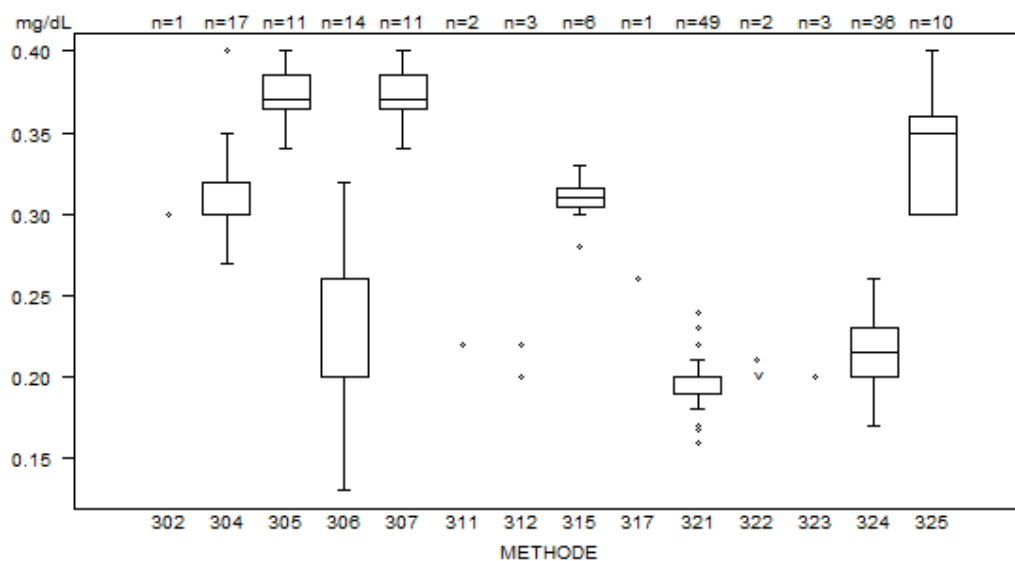
Aantal citaties voor de bepaling van directe bilirubine : staal C/15242

Methode	Citation Z	Citation U
<del>301 Diazo sulfanilic acid -Abbott</del>	<del>1</del>	<del>1</del>
<del>305 Diphenyldiazonium (DPD) - Olympus</del>	<del>0</del>	<del>2</del>
<del>306 Reflectometry - OCD</del>	<del>0</del>	<del>12</del>
<del>322 Kinetic (Tris buffer modified IFCC-37°C-Roche(Cobas 6/8-000 c501/c502))</del>	<del>0</del>	<del>32</del>
<del>323 Kinetic (Tris buffer) modified IFCC-37°C-Roche (Cobas 8000 c701/c702)</del>	<del>0</del>	<del>15</del>

Kernel densiteitsschatting van alle methoden voor directe bilirubine resultaten voor beide stalen



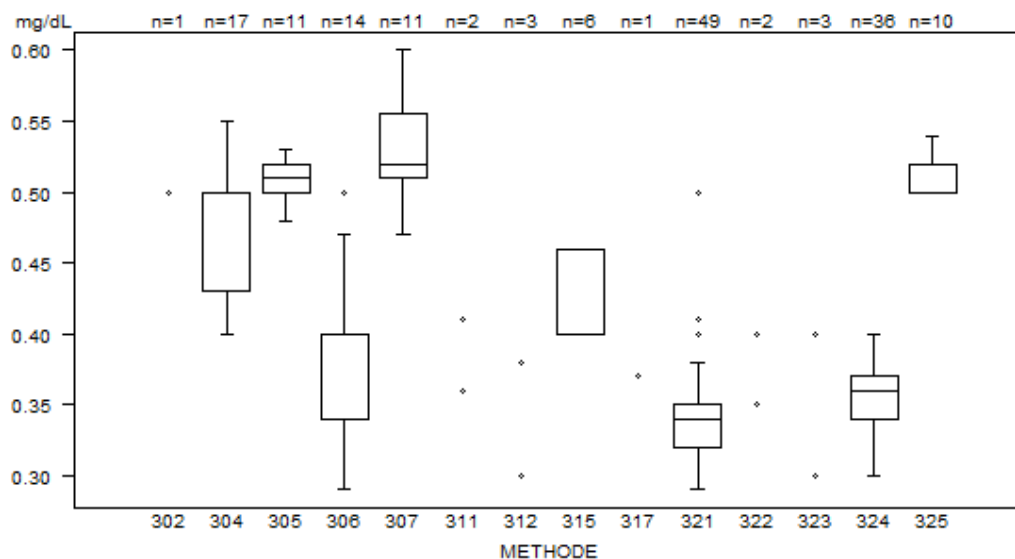
TOTALE BILIRUBINE - d (%) : 12.0	C/15241			
METHODE	Median mg/dL	SD mg/dL	CV %	N
302 Diazo sulfanilic acid (blue color)-Coulter	0.30			1
304 Dichloraniline- Abbott	0.30	0.01	4.9	17
305 Diphenyldiazonium (DPD)-Olympus	0.37	0.01	4.0	11
306 Reflectometry-OCD	0.20	0.04	<b>22.2</b>	14
307 Reduction (biliverdin)-Siemens (Bayer)	0.37	0.01	4.0	11
311 Diazo sulfanilic acid-Roche (Hit/Modular)	0.22	0.22		2
312 Diphenyldiazonium (DPD)-Roche (Cobas)	0.20	0.20	0.22	3
315 Diazo sulfanilic acid-Siemens (Dade) - Dimension Vista	0.31	0.01	2.9	6
317 Diphenyldiazonium (DPD)-Roche (Cobas Integra 400/400 plus)	0.26			1
321 Diphenyldiazonium (DPD)-Roche (Cobas 6000/8000 c501/c502)	0.20	0.02	8.5	49
322 Diphenyldiazonium (DPD)-Roche (Cobas 8000 c701/c702)	< 0.20	0.21		2
323 Diazo sulfanilic acid-Roche (Cobas 6000/8000 c501/c502)	0.20	0.20	0.20	3
324 Diazo sulfanilic acid-Roche (Cobas 8000 c701/c702)	0.21	0.02	10.3	36
325 Diazonium Salt- Abbott	0.35	0.04	<b>12.7</b>	10
Global results (all methods and all measuring systems)	0.22	0.07	<b>33.7</b>	166



Data out of graph

Method Value  
 306 = 0.09 mg/dL  
 321 = 0.5 mg/dL

METHODE	C/15242			
	Median mg/dL	SD mg/dL	CV %	N
302 Diazo sulfanilic acid (blue color)-Coulter	0.50			1
304 Dichloraniline- Abbott	0.50	0.05	10.4	17
305 Diphenyldiazonium (DPD)-Olympus	0.51	0.01	2.9	11
306 Reflectometry-OCD	0.40	0.04	11.1	14
307 Reduction (biliverdin)-Siemens (Bayer)	0.52	0.03	6.4	11
311 Diazo sulfanilic acid-Roche (Hit/Modular)	0.36	0.41		2
312 Diphenyldiazonium (DPD)-Roche (Cobas)	0.30	0.30	0.38	3
315 Diazo sulfanilic acid-Siemens (Dade) - Dimension Vista	0.46	0.04	9.7	6
317 Diphenyldiazonium (DPD)-Roche (Cobas Integra 400/400 plus)	0.37			1
321 Diphenyldiazonium (DPD)-Roche (Cobas 6000/8000 c501/c502)	0.34	0.02	6.5	49
322 Diphenyldiazonium (DPD)-Roche (Cobas 8000 c701/c702)	0.35	0.40		2
323 Diazo sulfanilic acid-Roche (Cobas 6000/8000 c501/c502)	0.30	0.30	0.40	3
324 Diazo sulfanilic acid-Roche (Cobas 8000 c701/c702)	0.36	0.02	6.2	36
325 Diazonium Salt- Abbott	0.50	0.01	3.0	10
Global results (all methods and all measuring systems)	0.37	0.11	30.1	166



Data out of graph  
 Method Value  
 306 = 0.23 mg/dL

Aantal citaties voor de bepaling van totale bilirubine : Staal C/15241

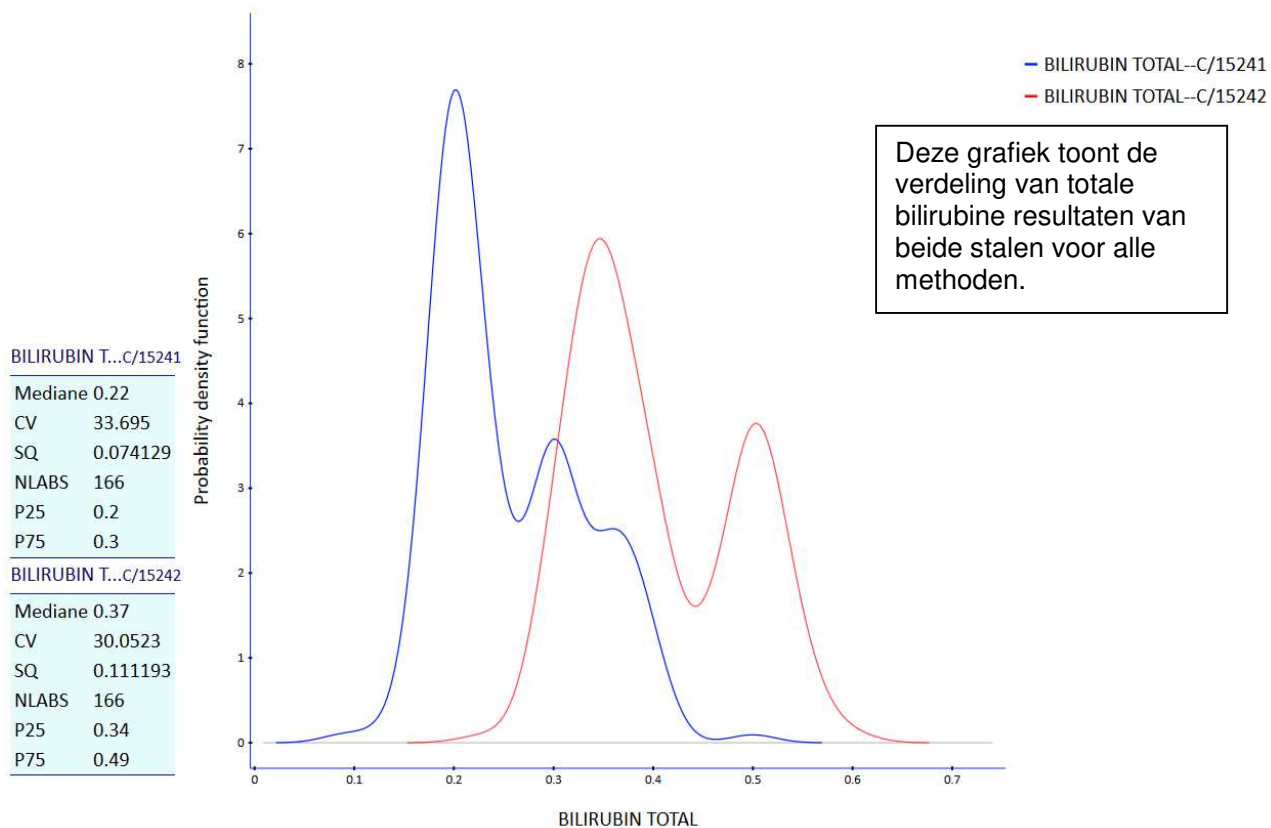
Methode	Z-citatie	U-citatie
304 Dichloraniline- Abbott	3	0
315 Diazo sulfanilic acid-Siemens (Dade) - Dimension Vista	1	0
321 Diphenyldiazonium (DPD)-Roche (Cobas 6000/8000 c501/c502)	3	1

Aantal citaties voor de bepaling van totale bilirubine : Staal C/15242

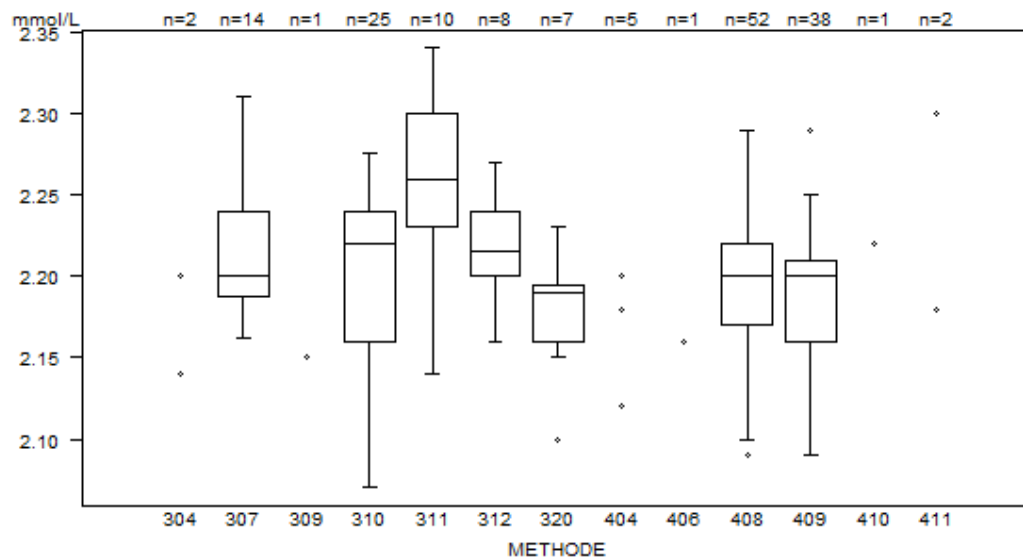
Methode	Z-citatie	U-citatie
306 Reflectometry-OCD	1	0
321 Diphenyldiazonium (DPD)-Roche (Cobas 6000/8000 c501/c502)	2	0



Kernel densiteitsschatting van alle methoden voor totale bilirubine resultaten voor beide stalen

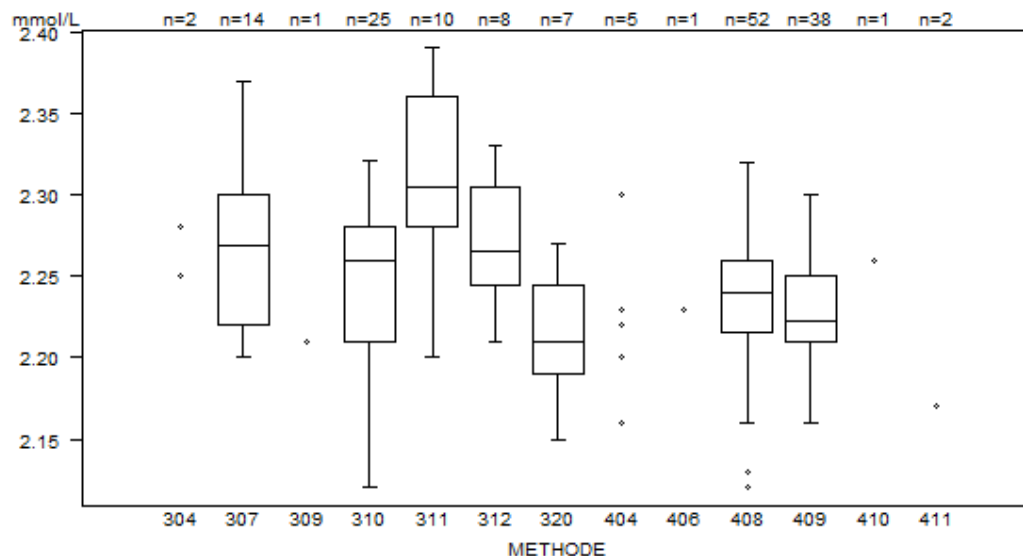


METHODE	C/15241			
	Median mmol/L	SD mmol/L	CV %	N
304 VIS photometry (o-cresolphtalein)-Siemens (Dade)	2.14 2.20			2
307 Reflectance photometry (arsenazo III)-OCD	2.20	0.04	1.8	14
309 Indirect potentiometry-Coulter (Beckman)	2.15			1
310 VIS photometry (arsenazo III)-Abbott	2.22	0.06	2.7	25
311 VIS photometry (arsenazo III)-Olympus	2.26	0.05	2.3	10
312 VIS photometry (arsenazo III)-Siemens (Bayer)	2.22	0.03	1.3	8
320 VIS photometry (o-cresolphtalein)-Siemens (Dade) - Dimension Vista	2.19	0.03	1.2	7
404 VIS photometry (o-cresolphtalein)-Roche (Cobas 6000/8000 c501/c502)	2.12 2.18	2.18 2.20	2.18	5
406 BAPTA-Roche (Cobas Integra 400/400 plus)	2.16			1
408 BAPTA-Roche (Cobas 6000/8000 c501/c502)	2.20	0.04	1.7	52
409 BAPTA-Roche (Cobas 8000 c701/c702)	2.20	0.04	1.7	38
410 BAPTA-Roche (Hit/Modular)	2.22			1
411 VIS photometry (o-cresolphtalein) - Siemens (Bayer)	2.18 2.30			2
Global results (all methods and all measuring systems)	2.20	0.04	2.0	166



CALCIUM - d (%) : 5.0	C/15242				
	METHODE	Median mmol/L	SD mmol/L	CV %	N
304 VIS photometry (o-cresolphthalein)-Siemens (Dade)		2.25	2.28		2
307 Reflectance photometry (arsenazo III)-OCD	2.27	0.06	2.6		14
309 Indirect potentiometry-Coulter (Beckman)		2.21			1
310 VIS photometry (arsenazo III)-Abbott	2.26	0.05	2.3		25
311 VIS photometry (arsenazo III)-Olympus	2.31	0.06	2.6		10
312 VIS photometry (arsenazo III)-Siemens (Bayer)	2.27	0.04	2.0		8
320 VIS photometry (o-cresolphthalein)-Siemens (Dade) - Dimension Vista	2.21	0.04	1.8		7
404 VIS photometry (o-cresolphthalein)-Roche (Cobas 6000/8000 c501/c502)	2.16 2.23	2.20 2.30	2.22		5
406 BAPTA-Roche (Cobas Integra 400/400 plus)		2.23			1
<del>408 BAPTA-Roche (Cobas 6000/8000 c501/c502)</del>	<del>2.24</del>	<del>0.03</del>	<del>1.5</del>		<del>52</del>
408 BAPTA-Roche (Cobas 6000/8000 c501/c502)	2.23	<b>0.04*</b>	<b>2.0</b>		52
409 BAPTA-Roche (Cobas 8000 c701/c702)	2.22	0.03	<b>1.3</b>		38
410 BAPTA-Roche (Hit/Modular)		2.26			1
411 VIS photometry (o-cresolphthalein) - Siemens (Bayer)		2.17	2.60		2
Global results (all methods and all measuring systems)	2.24	0.04	2.0		166

*\*De robuuste standaarddeviatie die gewoonlijk wordt gebruikt voor de EKE berekeningen wordt vervangen door de klassieke standaarddeviatie formule na verwijdering van de eventuele "uitschieters" door Grubb's-test in deze peergroep voor calcium-resultaten van de gebruikers van de methode 408 BAPTA-Roche (Cobas 6000/8000 c501/c502) voor het staal C/15242 van deze enquête.*



Data out of graph  
Method Value  
411 = 2.6 mmol/L

Aantal citaties voor de bepaling van calcium: staal C/15241

Methode	Z-citatie	U-citatie
310 VIS photometry (arsenazo III)-Abbott	0	1
311 VIS photometry (arsenazo III)-Olympus	0	1
320 VIS photometry (o-cresolphthalein)-Siemens (Dade) - Dimension Vista	1	0

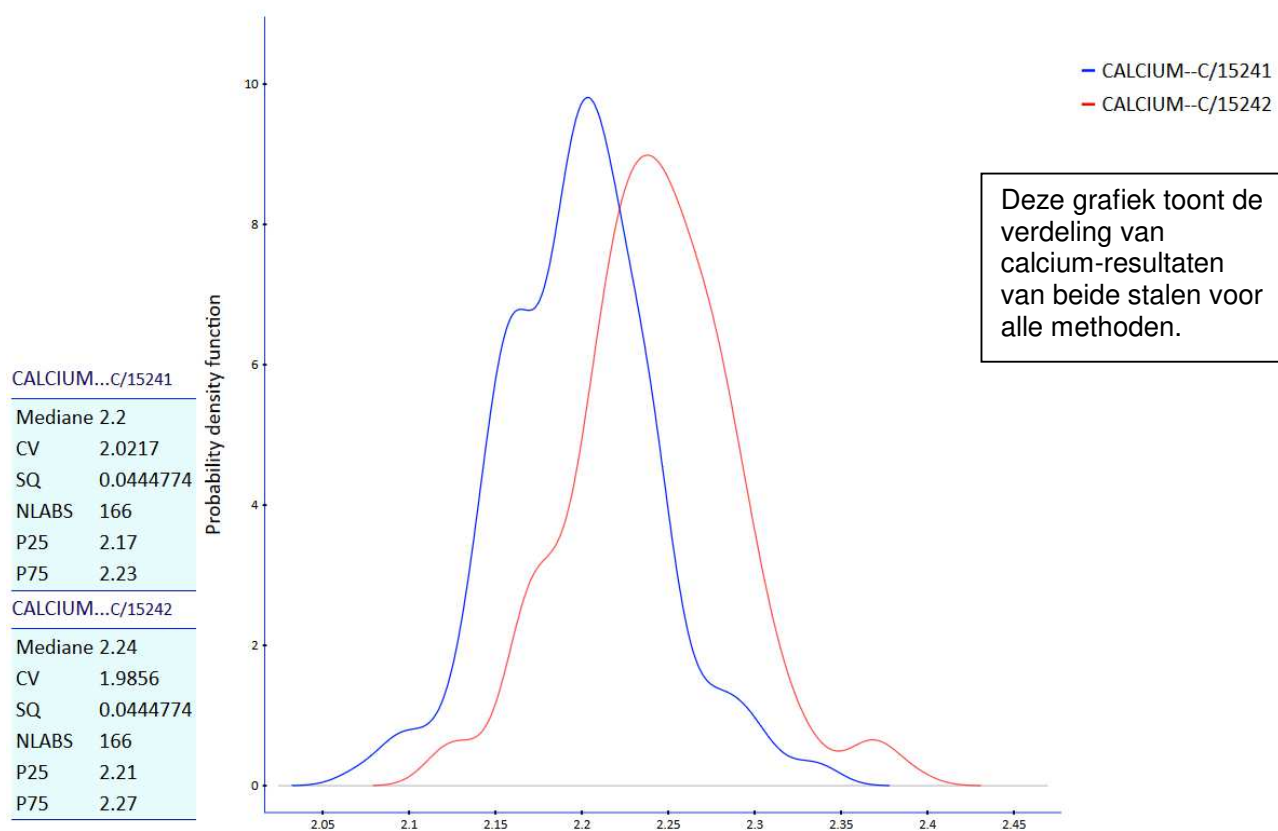
408 BAPTA-Roche (Cobas 6000/8000 c501/c502)	0	1
409 BAPTA-Roche (Cobas 8000 c701/c702)	0	1

Aantal citaties voor de bepaling van calcium: staal C/15242

Methode	Z-citatie	U-citatie
310 VIS photometry (arsenazo III)-Abbott	0	1
<del>408 BAPTA-Roche (Cobas 6000/8000 c501/c502)</del>	<del>3</del>	<del>1</del>
408 BAPTA-Roche (Cobas 6000/8000 c501/c502)	0	1

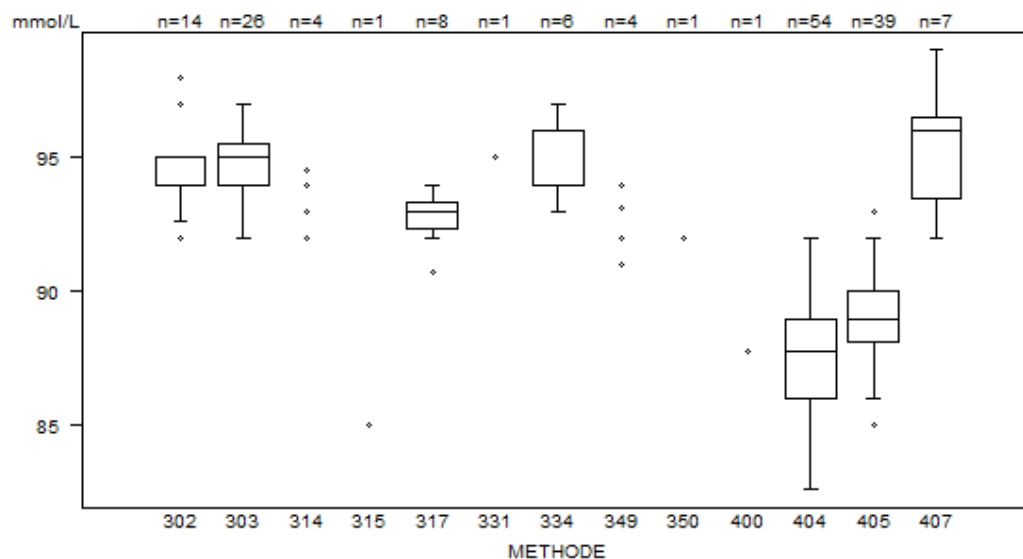
*De herberekende standaarddeviatie bekomen door de klassieke formule laat toe om de z-citaties bekomen door de gebruikers van de methode 408 te verwijderen.*

Kernel densiteitsschatting van alle methoden voor calcium-resultaten voor beide stalen



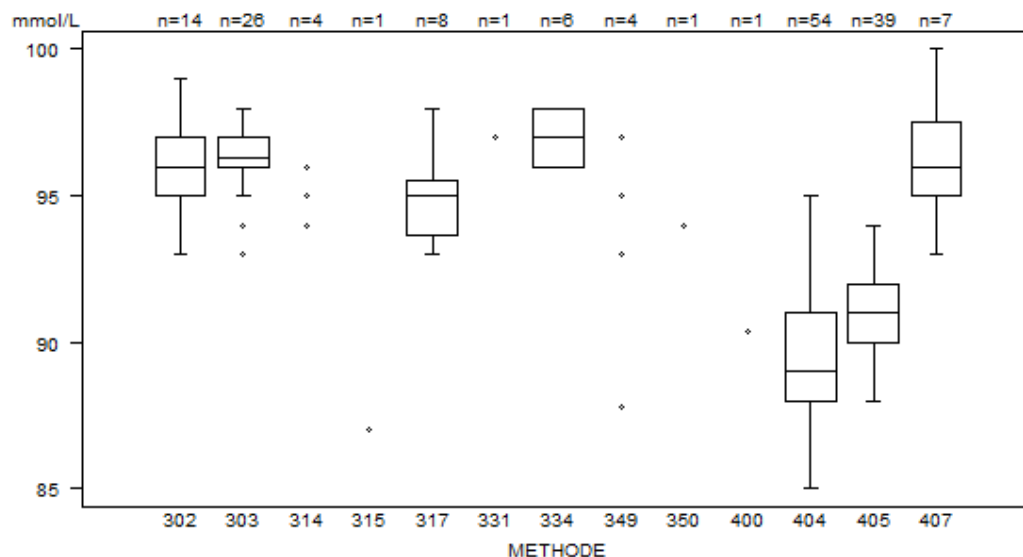
METHODE	C/15241			
	Median mmol/L	SD mmol/L	CV %	N
<del>302 Direct potentiometry-OCD</del>	<del>94.00</del>	<del>0.74</del>	<del>0.8</del>	<del>14</del>
302 Direct potentiometry-OCD	94.24	<b>1.24*</b>	<b>1.32</b>	14
303 Indirect potentiometry-Abbott	95.00	1.14	1.2	26
314 Indirect potentiometry-Siemens (Bayer)	92.00 94.50	93.00	94.00	4
315 Indirect potentiometry-Roche(Hit/Modular)		85.00		1
<del>317 Indirect potentiometry-Olympus</del>	<del>93.00</del>	<del>0.70</del>	<del>0.8</del>	<del>8</del>
317 Indirect potentiometry-Olympus	92.75	<b>1.02*</b>	<b>1.10</b>	8
331 Indirect potentiometry (Beckman)		95.00		1
334 Indirect potentiometry-Siemens (Dade) - Dimension Vista	96.00	1.48	1.5	6
349 Direct Potentiometry - other	91.00 94.00	92.00	93.10	4
350 Other methods		92.00		1
400 Indirect potentiometry-Roche (Cobas Integra 400/400 plus)		87.80		1
404 Indirect potentiometry-Roche (Cobas 6000 c501)	<b>87.75</b>	2.22	2.5	54
405 Indirect potentiometry - Roche (Cobas 8000 ISE c701/c702)	<b>89.00</b>	1.41	1.6	39
407 Indirect IMT - Siemens (Bayer)	96.00	2.22	2.3	7
Global results (all methods and all measuring systems)	90.58	4.45	4.9	166

*\*De robuuste standaarddeviatie die gewoonlijk wordt gebruikt voor de EKE berekeningen wordt vervangen door de klassieke standaarddeviatie formule na verwijdering van de eventuele "uitschieters" door Grubb's-test in deze peergroep voor chloriden-resultaten van de gebruikers van de methoden 302 Direct potentiometry-OCD en 317 Indirect potentiometry-Olympus voor het staal C/15241 van deze enquête.*



CHLORIDEN - d (%) : 5.1	C/15242			
METHODE	Median mmol/L	SD mmol/L	CV %	N
302 Direct potentiometry-OCD	96.00	1.48	1.5	14
<del>303 Indirect potentiometry-Abbott</del>	<del>96.29</del>	<del>0.74</del>	<del>0.8</del>	<del>26</del>
303 Indirect potentiometry-Abbott	96.30	<b>1.31*</b>	<b>1.36</b>	26
314 Indirect potentiometry-Siemens (Bayer)	94.00 96.00	95.00	95.00	4
315 Indirect potentiometry-Roche(Hit/Modular)		87.00		1
317 Indirect potentiometry-Olympus	95.00	1.37	1.4	8
331 Indirect potentiometry (Beckman)		97.00		1
334 Indirect potentiometry-Siemens (Dade) - Dimension Vista	97.00	1.48	1.5	6
349 Direct Potentiometry - other	87.80 97.00	93.00	95.00	4
350 Other methods		94.00		1
400 Indirect potentiometry-Roche (Cobas Integra 400/400 plus)		90.40		1
404 Indirect potentiometry-Roche (Cobas 6000 c501)	<b>89.00</b>	2.22	2.5	54
405 Indirect potentiometry - Roche (Cobas 8000 ISE c701/c702)	<b>91.00</b>	1.48	1.6	39
407 Indirect IMT - Siemens (Bayer)	96.00	1.85	1.9	7
Global results (all methods and all measuring systems)	92.25	4.45	4.8	166

*\*De robuuste standaarddeviatie die gewoonlijk wordt gebruikt voor de EKE berekeningen wordt vervangen door de klassieke standaarddeviatie formule na verwijdering van de eventuele "uitschieters" door Grubb's-test in deze peergroep voor chloriden-resultaten van de gebruikers van de methode 303 Indirect potentiometry-Abbott voor het staal C/15242 van deze enquête.*



*De chloriden-resultaten van de twee geanalyseerde stalen vertonen de laagste waarden (negatieve bias) voor de methoden 404 en 405 van de firma Roche, wat de globale mediaan beïnvloedt aangezien deze twee methoden meer dan de helft van de deelnemers bevatten.*

Aantal citaties voor de bepaling van chloriden: Staal C/15241

Methode	Z- citatie	U - citatie
<del>302 Direct potentiometry-OCD</del>	<del>2</del>	<del>0</del>
302 Direct potentiometry-OCD	1	0
<del>317 Indirect potentiometry-Olympus</del>	<del>1</del>	<del>0</del>
317 Indirect potentiometry-Olympus	0	0
404 Indirect potentiometry-Roche (Cobas 6000 c501)	0	2

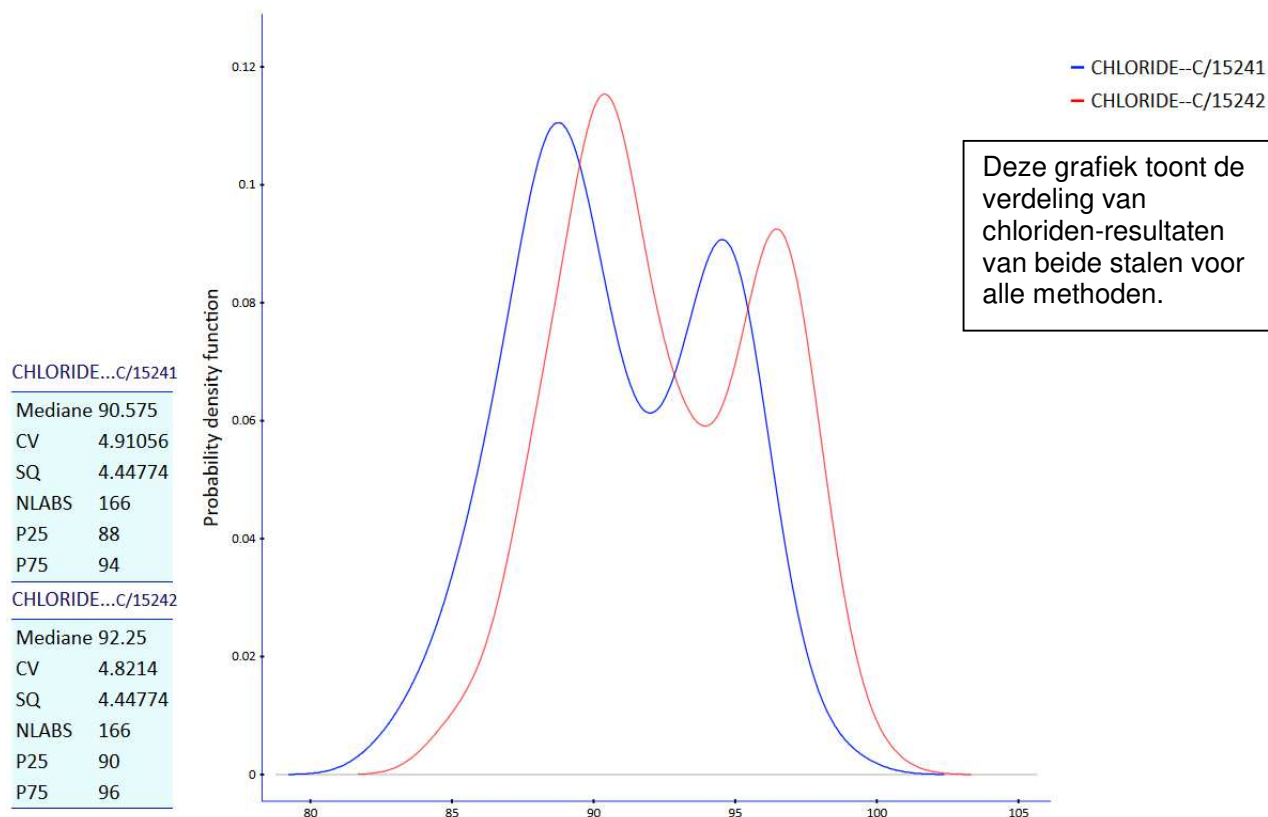
*De herberekende standaarddeviatie bekomen door de klassieke formule laat toe om de z-citatie bekomen door de gebruikers van de methoden 302 en 317 te verminderen.*

Aantal citaties voor de bepaling van chloriden: Staal C/15242

Methode	Z- citatie	U - citatie
<del>303 Indirect potentiometry-Abbott</del>	<del>3</del>	<del>0</del>
303 Indirect potentiometry-Abbott	0	0
404 Indirect potentiometry-Roche (Cobas 6000 c501)	0	1

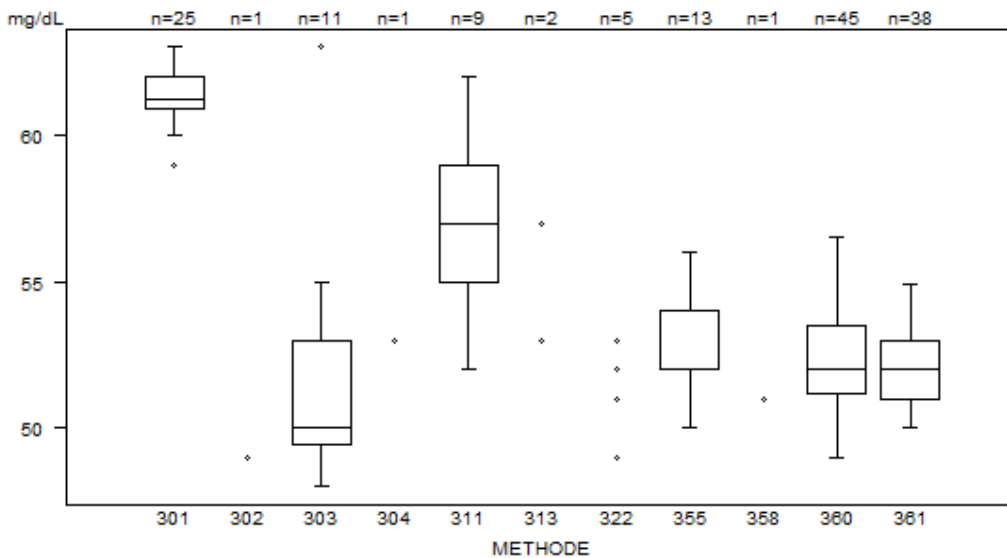
*De herberekende standaarddeviatie bekomen door de klassieke formule laat toe om de z-citatie bekomen door de gebruikers van de methode 303 te verwijderen.*

Kernel densiteitsschatting van alle methoden voor chloriden-resultaten voor beide stalen



METHODE	C/15241			
	Median mg/dL	SD mg/dL	CV %	N
301 Cholesterol esterase/ oxidase/ catalase/ peroxidase/PAP (Abbott)	<b>61.20</b>	0.81	1.3	25
302 Cholesterol esterase/chol oxidase/peroxidase/PAP(polyanions)	49.00			1
303 Cholesterol esterase ox perox /PAP(antihuman $\beta$ lipopr ab) (Olympus/Wako)	50.00	2.63	<b>5.3</b>	11
304 PEG cholesterol esterase/PEG chol ox/perox/PAP (homogeneous assay) (Roche)	53.00			1
311 Direct HDL / Cholesterol esterase/ ox/ catal/ perox/PAP (Siemens)	57.00	2.97	5.2	9
313 Direct HDL / Cholesterol esterase/ ox/ perox (ABX)	53.00 57.00			2
322 Cholesterol est/chol oxid/pero/ PAP- Siemens(Dade) - Dimension Vista	49.00 52.00	51.00 53.00	51.00	5
355 Dir HDL cholesterol / reflectometry - OCD	54.00	1.48	2.7	13
358 PEG chol est./PEG chol ox/perox/PAP (H. assay)(Roche Cobas Integra 400/400 plus)	51.00			1
360 PEG chol est./PEG chol ox/perox/PAP (H. assay)(Roche Cobas 6000/8000 c501/c502)	52.00	1.70	3.3	45
361 PEG chol est./PEG chol ox/perox/PAP (H. assay)(Roche Cobas 8000 c701/c702)	52.00	1.48	2.9	38
Global results (all methods and all measuring systems)	53.00	2.82	5.3	151

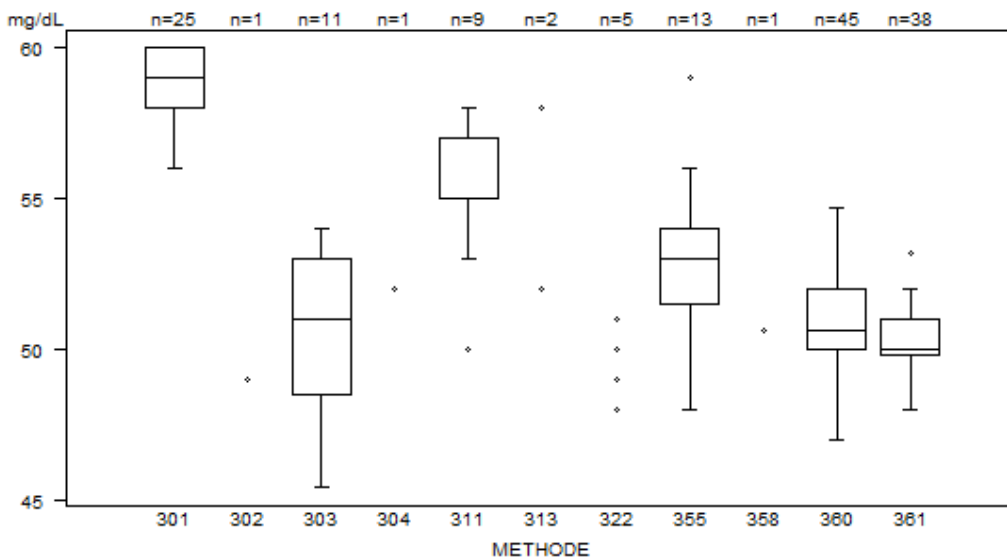
*We merken een licht positieve bias op voor de HDL- cholesterol resultaten van de methode 301 Cholesterol esterase/ oxidase/ catalase/ peroxidase/PAP (Abbott) voor de twee stalen van deze enquête. Deze bias was ook aanwezig voor de resultaten bekomen voor de stalen C/16231 en CP/16230 van de vorige enquêtes met een lager concentratieniveau.*



Data out of graph  
Method Value  
301 = 65.6 mg/dL  
301 = 65 mg/dL



HDL- CHOLESTEROL - d (%) : 15.3	C/15242			
METHODE	Median mg/dL	SD mg/dL	CV %	N
301 Cholesterol esterase/ oxidase/ catalase/ peroxidase/PAP (Abbott)	<b>59.00</b>	1.48	2.5	25
302 Cholesterol esterase/chol oxidase/peroxidase/PAP(polyanions)	49.00			1
303 Cholesterol esterase ox perox /PAP(antihuman $\beta$ lipopr ab) (Olympus/Wako)	51.00	3.34	<b>6.5</b>	11
304 PEG cholesterol esterase/PEG chol ox/perox/PAP (homogeneous assay) (Roche)	52.00			1
311 Direct HDL / Cholesterol esterase/ ox/ catal/ perox/PAP (Siemens)	55.00	1.48	2.7	9
313 Direct HDL / Cholesterol esterase/ ox/ perox (ABX)	52.00 58.00			2
322 Cholesterol est/chol oxid/pero/ PAP- Siemens(Dade) - Dimension Vista	48.00 50.00	49.00 51.00	50.00	5
355 Dir HDL cholesterol / reflectometry - OCD	53.00	1.85	3.5	13
358 PEG chol est./PEG chol ox/perox/PAP (H. assay)(Roche Cobas Integra 400/400 plus)	50.60			1
360 PEG chol est./PEG chol ox/perox/PAP (H. assay)(Roche Cobas 6000/8000 c501/c502)	50.60	1.48	2.9	45
361 PEG chol est./PEG chol ox/perox/PAP (H. assay)(Roche Cobas 8000 c701/c702)	50.00	0.89	<b>1.8</b>	38
Global results (all methods and all measuring systems)	51.00	3.60	7.0	151



Data out of graph  
Method Value  
301 = 63.5 mg/dL  
303 = 115 mg/dL  
303 = 61 mg/dL  
311 = 61 mg/dL

Aantal citaties voor de bepaling van HDL- cholesterol: Staal C/15241

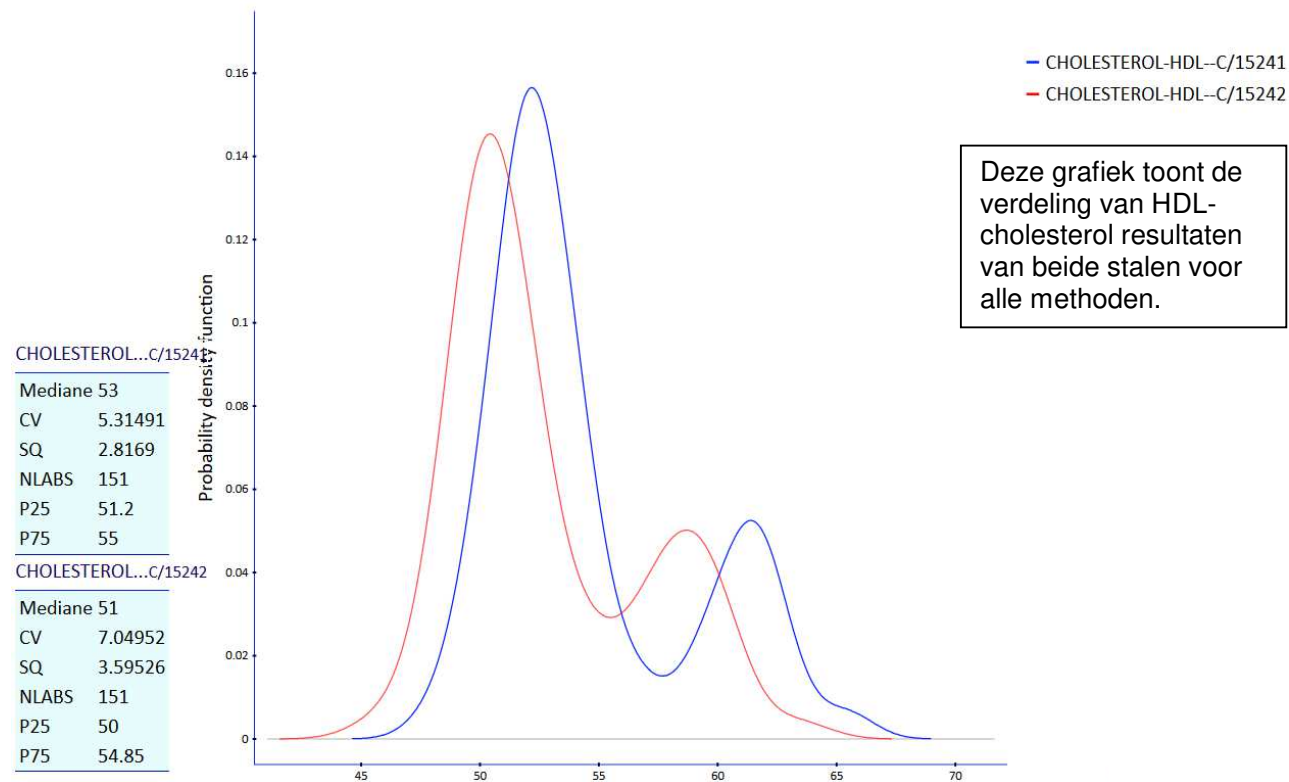
Methode	Z-citatie	U-citatie
301 Cholesterol esterase/ oxidase/ catalase/ peroxidase/PAP (Abbott)	2	0
303 Cholesterol esterase ox perox /PAP(antihuman $\beta$ lipopr ab) (Olympus/Wako)	1	1

Aantal citaties voor de bepaling van HDL- cholesterol: Staal C/15242

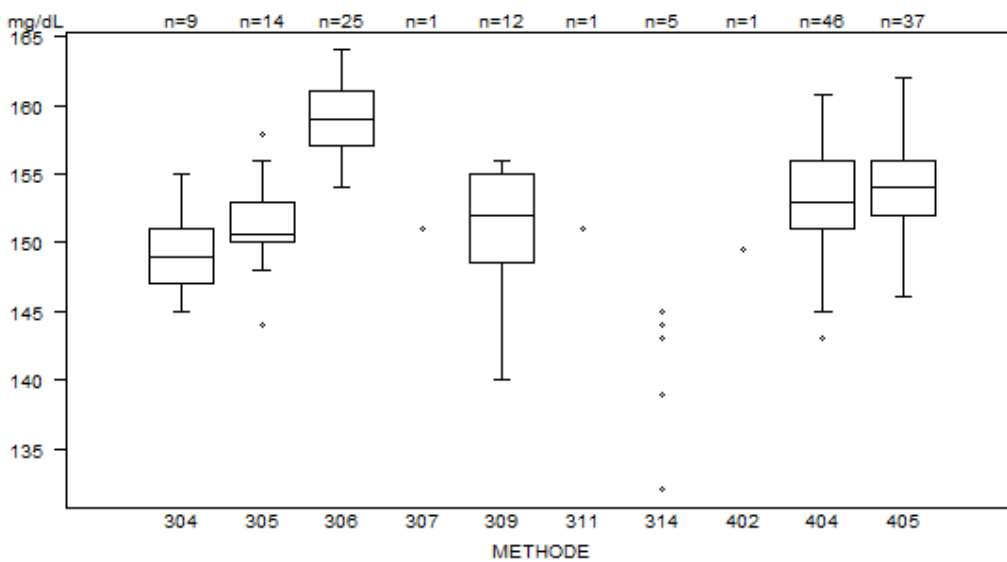
Methode	Z-citatie	U-citatie
301 Cholesterol esterase/ oxidase/ catalase/ peroxidase/PAP (Abbott)	1	0
303 Cholesterol esterase ox perox /PAP(antihuman $\beta$ lipopr ab) (Olympus/Wako)	1	2
311 Direct HDL / Cholesterol esterase/ ox/ catal/ perox/PAP (Siemens)	2	0
355 Dir HDL cholesterol / reflectometry - OCD	1	0
361 PEG chol est./PEG chol ox/perox/PAP (H. assay)(Roche Cobas 8000 c701/c702)	1	0

De methode met de grootste spreiding 303 Cholesterol esterase ox perox /PAP(antihuman  $\beta$  lipopr ab) (Olympus/Wako) is ook degene met het hoogste aantal u-citaties.

Kernel densiteitsschatting van alle methoden voor HDL-cholesterol resultaten voor beide stalen

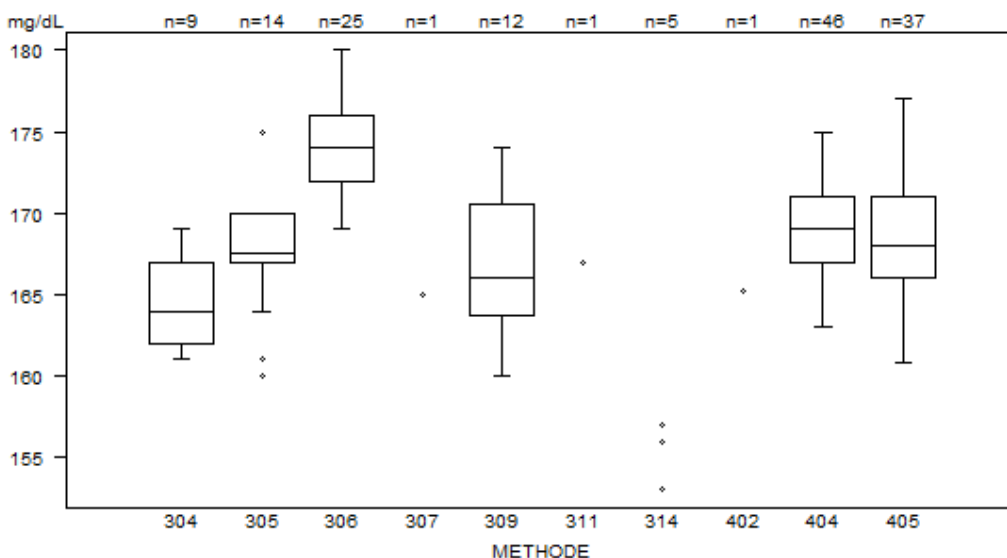


METHODE	C/15241			
	Median mg/dL	SD mg/dL	CV %	N
304 Cholesterol esterase-oxidase (PAP)-Siemens (Bayer)	149.00	2.97	2.0	9
305 Reflectance photometry-OCD	150.55	2.22	1.5	14
306 Cholesterol esterase-oxidase (PAP)-Abbott	159.00	2.97	1.9	25
307 Cholesterol esterase-oxidase (PAP)-Coulter (Beckman)	151.00			1
309 Cholesterol esterase-oxidase (PAP)-Olympus	152.00	4.82	3.2	12
311 Cholesterol esterase-oxidase (PAP)-Roche (Hit/Modular)	151.00			1
314 Cholesterol esterase-oxidase (diethyl alanine)-Siemens (Dade) - Dimension Vista	132.00	139.00	143.00	5
	144.00	145.00		
402 Cholesterol esterase-oxidase (PAP)-Roche (Cobas Integra 400/400 plus)	149.50			1
404 Cholesterol esterase-oxidase (PAP)-Roche (Cobas 6000/8000 c501/c502)	153.00	3.71	2.4	46
405 Cholesterol esterase-oxidase (PAP)-Roche (Cobas 8000 c701/c702)	154.00	2.97	1.9	37
Global results (all methods and all measuring systems)	154.00	5.15	3.3	151



METHODE	C/15242			
	Median mg/dL	SD mg/dL	CV %	N
304 Cholesterol esterase-oxidase (PAP)-Siemens (Bayer)	164.00	3.71	2.3	9
<del>305 Reflectance photometry-OCD</del>	<del>167.50</del>	<del>2.22</del>	<del>1.3</del>	<del>14</del>
305 Reflectance photometry-OCD	167.45	<b>3.86*</b>	<b>2.3</b>	14
306 Cholesterol esterase-oxidase (PAP)-Abbott	174.00	2.97	1.7	25
307 Cholesterol esterase-oxidase (PAP)-Coulter (Beckman)	165.00			1
309 Cholesterol esterase-oxidase (PAP)-Olympus	166.00	5.04	3.0	12
311 Cholesterol esterase-oxidase (PAP)-Roche (Hit/Modular)	167.00			1
314 Cholesterol esterase-oxidase (diethyl alanine)-Siemens (Dade) - Dimension Vista	148.00 156.00	153.00 157.00	156.00	5
402 Cholesterol esterase-oxidase (PAP)-Roche (Cobas Integra 400/400 plus)	165.20			1
404 Cholesterol esterase-oxidase (PAP)-Roche (Cobas 6000/8000 c501/c502)	169.00	2.97	1.8	46
405 Cholesterol esterase-oxidase (PAP)-Roche (Cobas 8000 c701/c702)	168.00	3.71	2.2	37
Global results (all methods and all measuring systems)	169.00	4.45	2.6	151

*\*De robuuste standaarddeviatie die gewoonlijk wordt gebruikt voor de EKE berekeningen wordt vervangen door de klassieke standaarddeviatie formule na verwijdering van de eventuele "uitschieters" door Grubb's-test in deze peergroep voor de totale cholesterol resultaten van de gebruikers van de methode 305 Reflectance photometry-OCD voor het staal C/15242 van deze enquête.*



Data out of graph

Method Value  
 314 = 148 mg/dL  
 405 = 192 mg/dL

Aantal citaties voor de bepaling van totale cholesterol: Staal C/15241

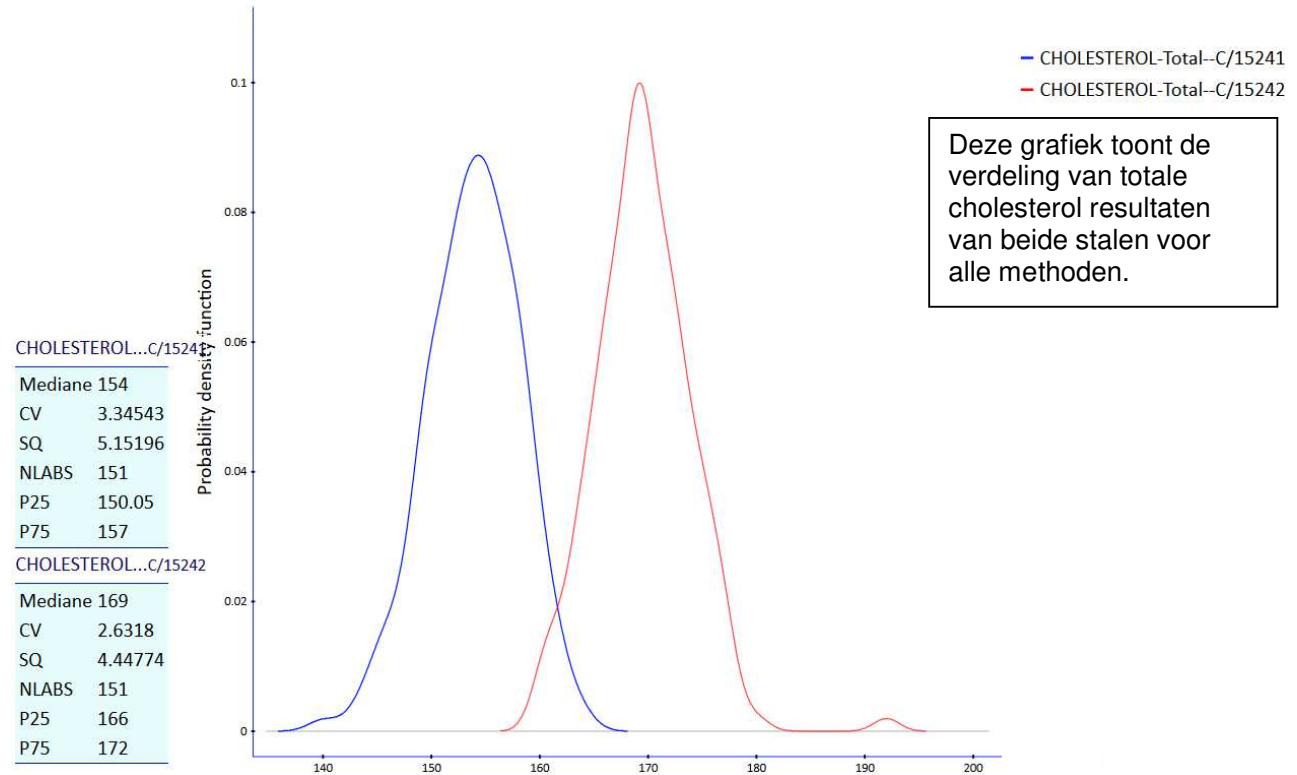
Methode	Z-citatie	U-citatie
305 Reflectance photometry-OCD	1	0
309 Cholesterol esterase-oxidase (PAP)-Olympus	0	1
404 Cholesterol esterase-oxidase (PAP)-Roche (Cobas 6000/8000 c501/c502)	0	1

Aantal citaties voor de bepaling van totale cholesterol: Staal C/15242

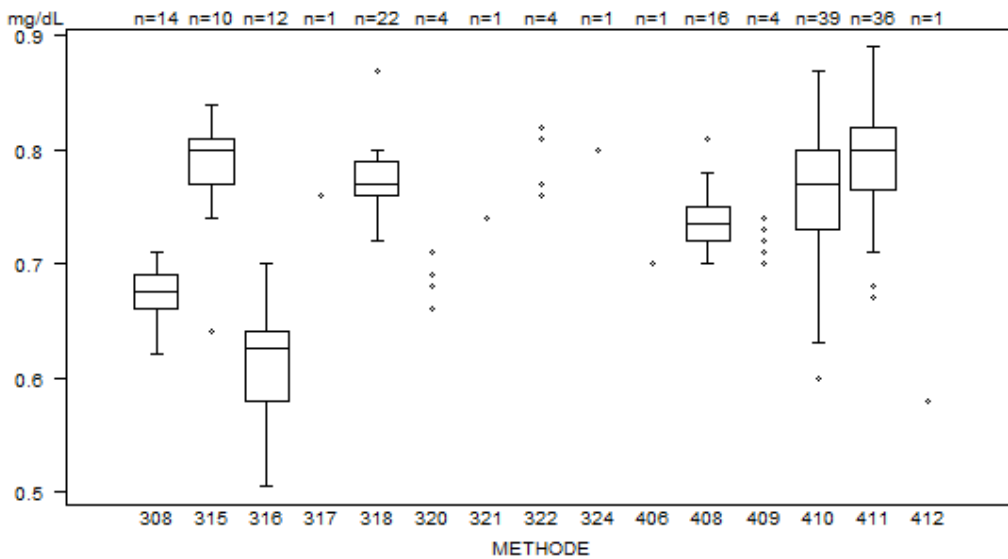
Methode	Z-citatie	U-citatie
<del>305 Reflectance photometry-OCD</del>	<del>2</del>	<del>0</del>
305 Reflectance photometry-OCD	0	0
405 Cholesterol esterase-oxidase (PAP)-Roche (Cobas 8000 c701/c702)	1	1

*De herberekende standaarddeviatie bekomen door de klassieke formule laat toe om de z-citaties bekomen door de gebruikers van de methode 305 te verwijderen.*

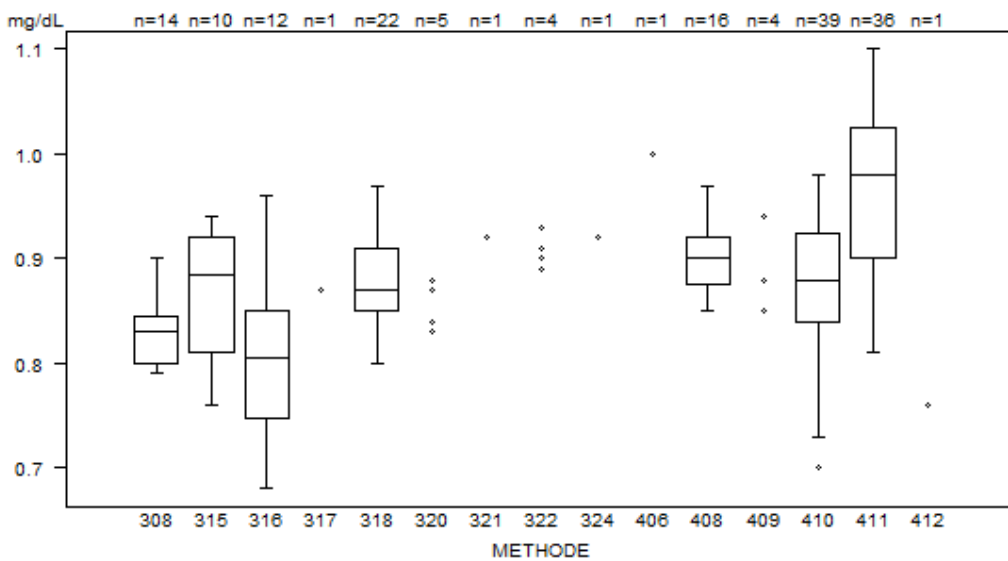
Kernel densiteitsschatting van alle methoden voor totale cholesterol resultaten voor beide stalen



METHODE	C/15241			
	Median mg/dL	SD mg/dL	CV %	N
308 Reflectance photometry - OCD IDMS	0.68	0.02	3.3	14
315 Jaffé Kinetic IDMS - Siemens (Bayer)	0.80	0.03	3.7	10
316 Jaffé Kinetic IDMS - Olympus	<b>0.63</b>	0.04	7.1	12
317 Jaffé Kinetic IDMS - Coulter (Beckman)	0.76			1
318 Jaffé Kinetic - IDMS - Abbott	0.77	0.02	2.9	22
320 Enzymatic colorimetric method - IDMS Abbott	0.66 0.71	0.68	0.69	4
321 Reflectance photometry IDMS - Siemens (Dade)	0.74			1
322 Jaffé kinetic non IDMS - Siemens (Dade) - Dimension Vista	0.76 0.82	0.77	0.81	4
324 Jaffé kinetic IDMS - Siemens (Dade) - Dimension Vista	0.80			1
406 Jaffé rate blanked/comp. IDMS - Roche (Cobas Integra 400/400 plus)	0.70			1
408 Enzymatic colorimetric method - IDMS Roche (Cobas 6000/8000 c501/c502)	0.74	0.02	3.0	16
409 Enzymatic colorimetric method - IDMS Roche (Cobas 8000 c701/c702)	0.70 0.74	0.71	0.72	4
410 Jaffé rate blanked/comp. IDMS - Roche (Cobas 6000/8000 c501/c502)	0.77	0.05	6.7	39
411 Jaffé rate blanked/comp. IDMS - Roche (Cobas 8000 c701/c702)	0.80	0.04	5.1	36
412 Enzymatic colorimetric method - IDMS Siemens (Bayer)	0.58			1
Global results (all methods and all measuring systems)	0.76	0.07	9.8	166



METHODE	C/15242			
	Median mg/dL	SD mg/dL	CV %	N
308 Reflectance photometry - OCD IDMS	0.83	0.03	4.0	14
315 Jaffé Kinetic IDMS - Siemens (Bayer)	0.89	0.08	9.2	10
316 Jaffé Kinetic IDMS - Olympus	0.81	0.08	9.4	12
317 Jaffé Kinetic IDMS - Coulter (Beckman)	0.87			1
318 Jaffé Kinetic - IDMS - Abbott	0.87	0.04	5.1	22
320 Enzymatic colorimetric method - IDMS Abbott	0.83 0.87	0.84 0.88	0.84	5
321 Reflectance photometry IDMS - Siemens (Dade)	0.92			1
322 Jaffé kinetic non IDMS - Siemens (Dade) - Dimension Vista	0.89 0.93	0.90	0.91	4
324 Jaffé kinetic IDMS - Siemens (Dade) - Dimension Vista	0.92			1
406 Jaffé rate blanked/comp. IDMS - Roche (Cobas Integra 400/400 plus)	1.00			1
408 Enzymatic colorimetric method - IDMS Roche (Cobas 6000/8000 c501/c502)	0.90	0.03	3.7	16
409 Enzymatic colorimetric method - IDMS Roche (Cobas 8000 c701/c702)	0.85 0.94	0.88	0.88	4
410 Jaffé rate blanked/comp. IDMS - Roche (Cobas 6000/8000 c501/c502)	0.88	0.06	7.2	39
411 Jaffé rate blanked/comp. IDMS - Roche (Cobas 8000 c701/c702)	0.98	0.09	9.5	36
412 Enzymatic colorimetric method - IDMS Siemens (Bayer)	0.76			1
Global results (all methods and all measuring systems)	0.89	0.06	7.3	167



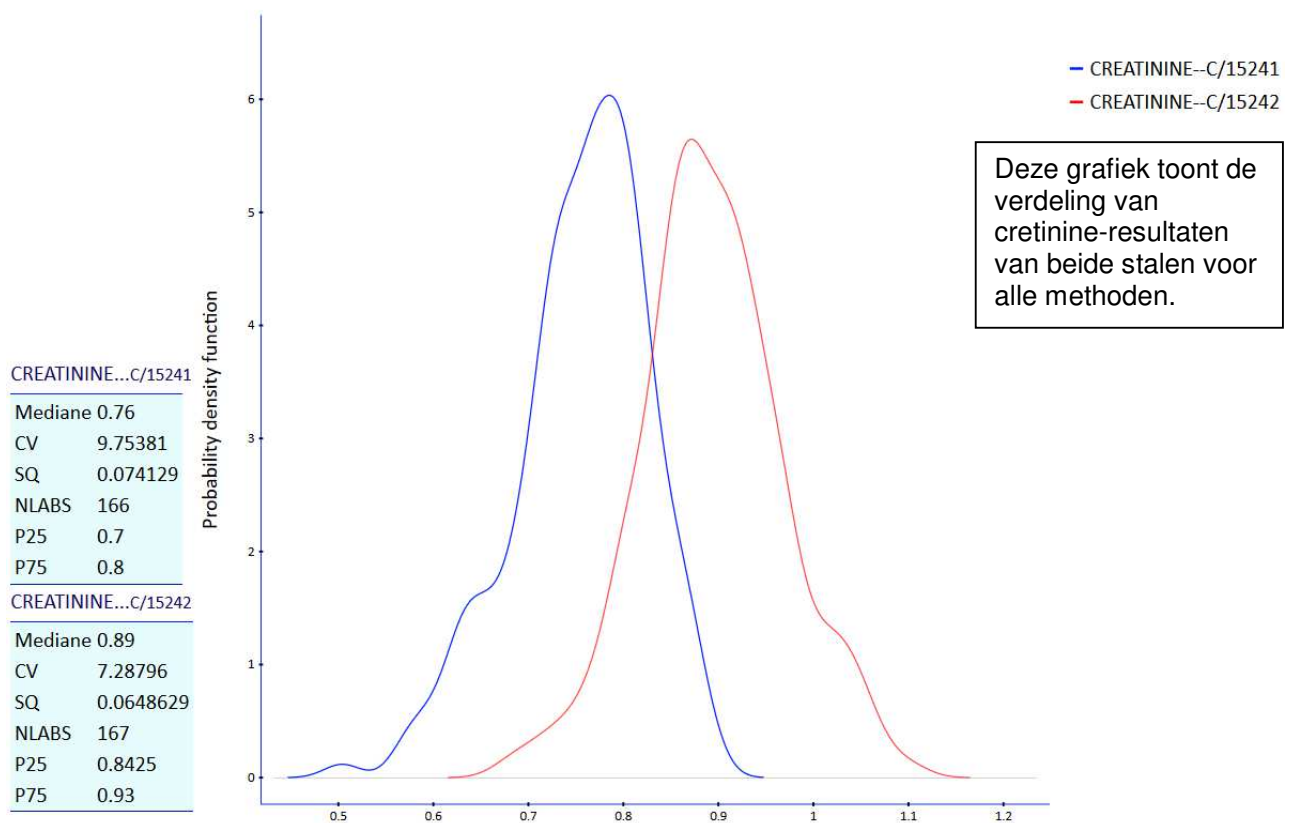
Aantal citaties voor de bepaling van creatinine: Staal C/15241

Methode	Z-citatie	U-citatie
315 Jaffé Kinetic IDMS - Siemens (Bayer)	1	1
318 Jaffé Kinetic - IDMS - Abbott	1	0
408 Enzymatic colorimetric method - IDMS Roche (Cobas 6000/8000 c501/c502)	1	0
410 Jaffé rate blanked/comp. IDMS - Roche (Cobas 6000/8000 c501/c502)	1	1
411 Jaffé rate blanked/comp. IDMS - Roche (Cobas 8000 c701/c702)	1	0

Aantal citaties voor de bepaling van creatinine: Staal C/15242

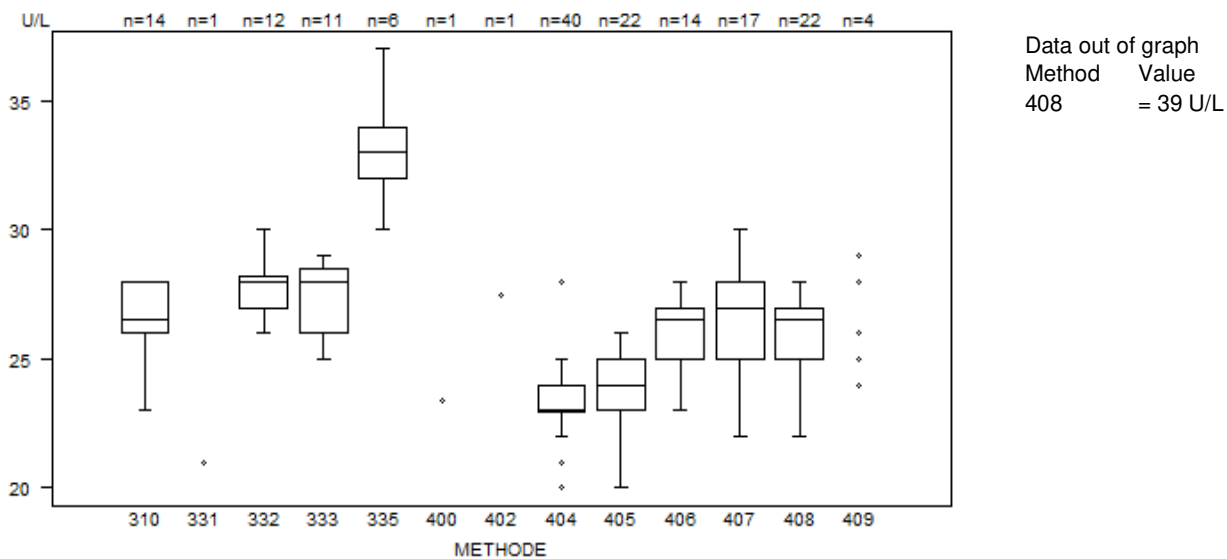
Methode	Z-citatie	U-citatie
316 Jaffé Kinetic IDMS - Olympus	0	1
410 Jaffé rate blanked/comp. IDMS - Roche (Cobas 6000/8000 c501/c502)	0	1
411 Jaffé rate blanked/comp. IDMS - Roche (Cobas 8000 c701/c702)	0	1

Kernel densiteitsschatting van alle methoden voor creatinine-resultaten voor beide stalen





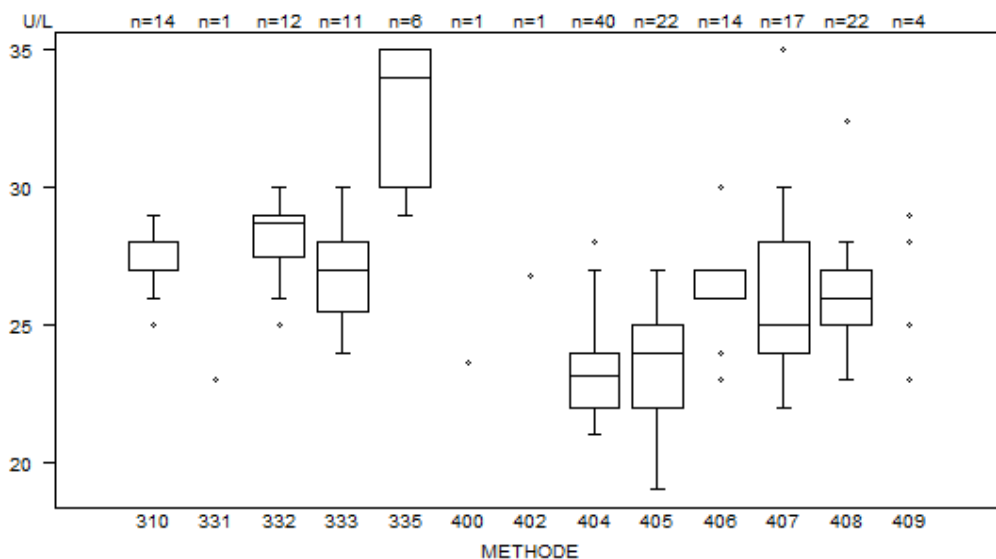
METHODE	C/15241			
	Median U/L	SD U/L	CV %	N
310 Reflectance photometry OCD - 37°C	26.5	1.5	5.6	14
331 Kinetic method - 37°C Beckman (Coulter)	21.0			1
332 Kinetic method - IFCC- 37°C - Olympus	28.0	0.9	3.2	12
333 Kinetic method - IFCC- 37°C - Siemens (Bayer)	28.0	1.9	6.6	11
335 Kinetic method - IFCC- 37°C - Siemens(Dade) - Dimension Vista	<b>33.0</b>	1.5	4.5	6
400 Kinetic method -DGKC SZASZ - 37°C - Roche (Cobas Integra 400/400 plus)	23.4			1
402 Kinetic method - IFCC - 37°C - Roche (Cobas Integra 400/400 plus)	27.5			1
404 Kinetic method -DGKC SZASZ - 37°C - Roche (Cobas 6000/8000 c501/c502)	23.0	0.8	3.4	40
405 Kinetic method -DGKC SZASZ - 37°C - Roche (Cobas 8000 c701/c702)	24.0	1.5	6.2	22
406 Kinetic method - IFCC - 37°C - Roche (Cobas 6000/8000 c501/c502)	26.5	1.5	5.6	14
407 Kinetic method - IFCC - 37°C - Roche (Cobas 8000 c701/c702)	27.0	2.2	<b>8.2</b>	17
408 Kinetic method - IFCC- 37°C - Abbott	26.5	1.5	5.6	22
409 Kinetic method - DGKC-SZASZ - 37°C - Abbott	24.0 29.0	25.0	28.0	4
Global results (all methods and all measuring systems)				165



*De GGT-resultaten van de gebruikers van de methode 335 Kinetic method - IFCC- 37°C - Siemens(Dade) - Dimension Vista vertonen een positieve bias voor beide stalen.*

GGT - d (%) : 14.2	C/15242			
METHODE	Median U/L	SD U/L	CV %	N
310 Reflectance photometry OCD - 37°C	27.0	0.7	2.7	14
331 Kinetic method - 37°C Beckman (Coulter)	23.0			1
332 Kinetic method - IFCC- 37°C - Olympus	28.7	1.1	3.9	12
333 Kinetic method - IFCC- 37°C - Siemens (Bayer)	27.0	1.9	6.9	11
335 Kinetic method - IFCC- 37°C - Siemens(Dade) - Dimension Vista	34.0	3.7	10.9	6
400 Kinetic method -DGKC SZASZ - 37°C - Roche (Cobas Integra 400/400 plus)	23.6			1
402 Kinetic method - IFCC - 37°C - Roche (Cobas Integra 400/400 plus)	26.8			1
404 Kinetic method -DGKC SZASZ - 37°C - Roche (Cobas 6000/8000 c501/c502)	23.2	1.5	6.4	40
405 Kinetic method -DGKC SZASZ - 37°C - Roche (Cobas 8000 c701/c702)	24.0	2.2	9.3	22
<del>406 Kinetic method - IFCC - 37°C - Roche (Cobas 6000/8000 c501/c502)</del>	<del>27.0</del>	<del>0.7*</del>	<del>2.7*</del>	<del>14</del>
406 Kinetic method - IFCC - 37°C - Roche (Cobas 6000/8000 c501/c502)	26.2	1.8	7.0	14
407 Kinetic method - IFCC - 37°C - Roche (Cobas 8000 c701/c702)	25.0	3.0	11.9	17
408 Kinetic method - IFCC- 37°C - Abbott	26.0	1.5	5.7	22
409 Kinetic method - DGKC-SZASZ - 37°C - Abbott	23.0 29.0	25.0	28.0	4
Global results (all methods and all measuring systems)				165

*\*De robuuste standaarddeviatie die gewoonlijk wordt gebruikt voor de EKE berekeningen wordt vervangen door de klassieke standaarddeviatie formule na verwijdering van de eventuele "uitschieters" door Grubb's-test in deze peergroep voor de GGT- resultaten van de gebruikers van de methode 406 Kinetic method - IFCC - 37°C - Roche (Cobas 6000/8000 c501/c502) voor het staal C/15242 van deze enquête.*



Aantal citaties voor de bepaling van GGT: staal C/15241

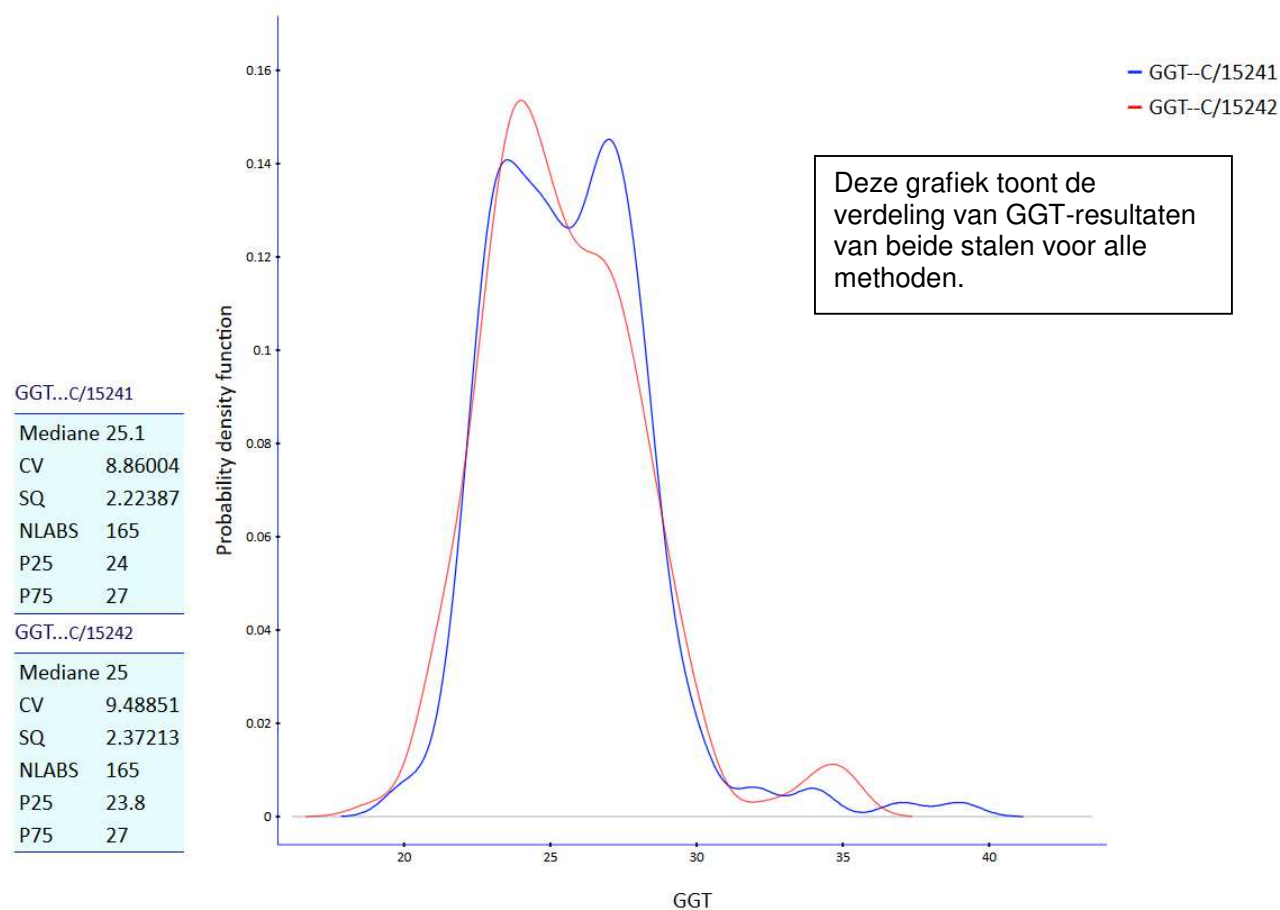
Methode	Z-citatie	U-citatie
404 Kinetic method -DGKC SZASZ - 37°C - Roche (Cobas 6000/8000 c501/c502)	3	2
405 Kinetic method -DGKC SZASZ - 37°C - Roche (Cobas 8000 c701/c702)	0	1
407 Kinetic method - IFCC - 37°C - Roche (Cobas 8000 c701/c702)	0	2
408 Kinetic method - IFCC- 37°C - Abbott	2	2

Aantal citaties voor de bepaling van GGT: staal C/15242

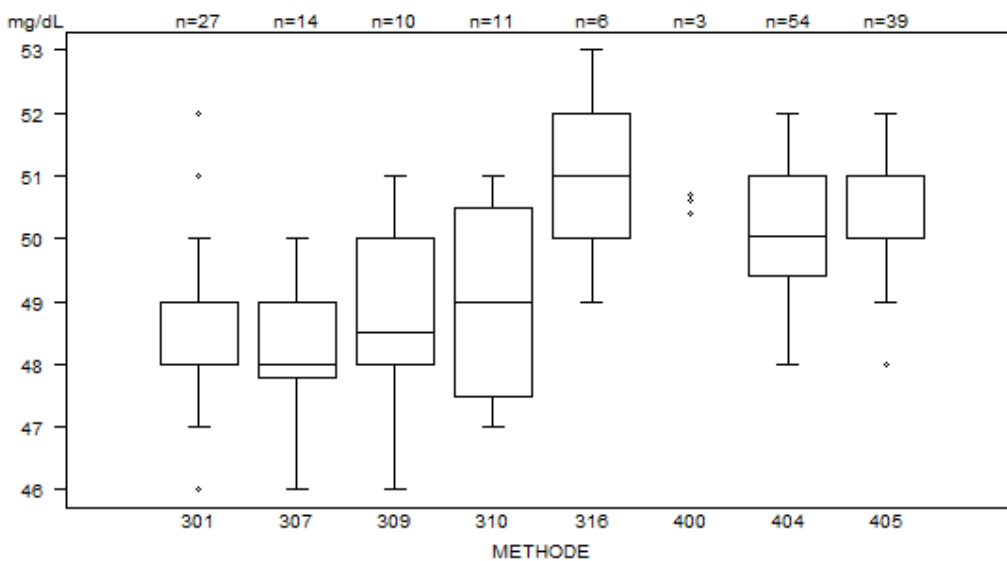
Methode	Z-citatie	U-citatie
332 Kinetic method - IFCC- 37°C - Olympus	1	0
335 Kinetic method - IFCC- 37°C - Siemens(Dade) - Dimension Vista	0	1
404 Kinetic method -DGKC SZASZ - 37°C - Roche (Cobas 6000/8000 c501/c502)	1	2
405 Kinetic method -DGKC SZASZ - 37°C - Roche (Cobas 8000 c701/c702)	0	1
<del>406 Kinetic method - IFCC - 37°C - Roche (Cobas 6000/8000 c501/c502)</del>	<del>4</del>	<del>2</del>
406 Kinetic method - IFCC - 37°C - Roche (Cobas 6000/8000 c501/c502)	0	2
407 Kinetic method - IFCC - 37°C - Roche (Cobas 8000 c701/c702)	1	3
408 Kinetic method - IFCC- 37°C - Abbott	1	1

*De herberekende standaarddeviatie bekomen door de klassieke formule laat toe om de z-citatie bekomen door de gebruikers van de methode 406 te verwijderen.*

Kernel densiteitsschatting van alle methoden voor GGT-resultaten voor beide stalen



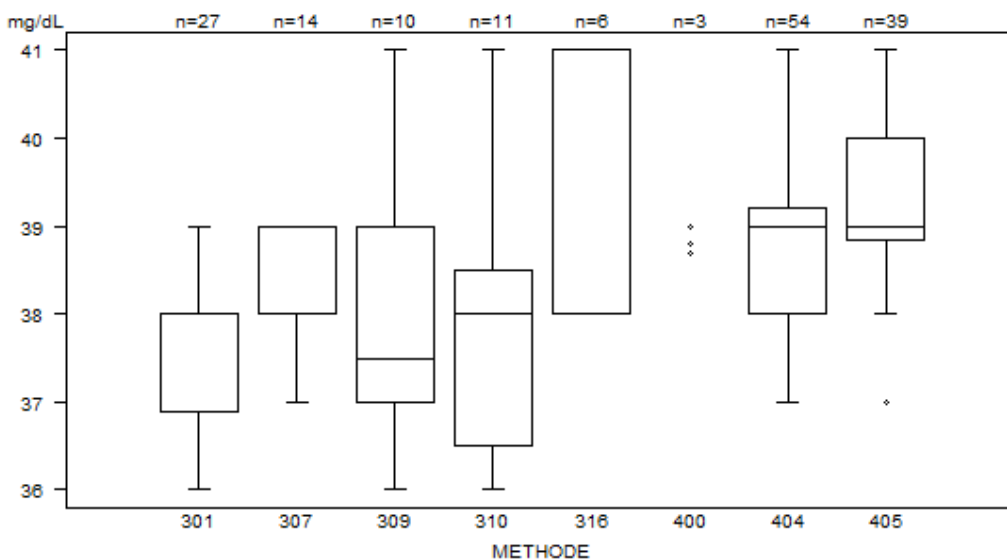
METHODE	C/15241			
	Median mg/dL	SD mg/dL	CV %	N
301 Hexokinase - Abbott	49.00	0.74	1.5	27
307 Reflectance photometry - OCD	48.00	0.89	1.9	14
309 Hexokinase - Siemens (Bayer)	48.50	1.48	3.1	10
310 Hexokinase - Olympus	49.00	2.22	4.5	11
316 Hexokinase - Siemens (Dade)- Dimension Vista	51.00	1.48	2.9	6
400 Hexokinase - Roche (Cobas Integra 400/400 plus)	50.40	50.60	50.70	3
404 Hexokinase - Roche (Cobas 6000/8000 c501/c502)	50.05	1.19	2.4	54
405 Hexokinase - Roche (Cobas 8000 c701/c702)	51.00	0.74	1.5	39
Global results (all methods and all measuring systems)	50.00	1.52	3.0	164



Data out of graph

Method	Value
301	= 45 mg/dL
310	= 61 mg/dL
405	= 54 mg/dL

METHODE	C/15242			
	Median mg/dL	SD mg/dL	CV %	N
301 Hexokinase - Abbott	38.00	0.82	2.2	27
307 Reflectance photometry - OCD	38.00	0.74	2.0	14
309 Hexokinase - Siemens (Bayer)	37.50	1.48	4.0	10
310 Hexokinase - Olympus	38.00	1.48	3.9	11
316 Hexokinase - Siemens (Dade)- Dimension Vista	41.00	2.22	5.4	6
400 Hexokinase - Roche (Cobas Integra 400/400 plus)	38.70	38.80	39.00	3
404 Hexokinase - Roche (Cobas 6000/8000 c501/c502)	39.00	0.89	2.3	54
405 Hexokinase - Roche (Cobas 8000 c701/c702)	39.00	0.85	2.2	39
Global results (all methods and all measuring systems)	39.00	0.74	1.9	164



Data out of graph

Method	Value
301	= 35 mg/dL
301	= 35 mg/dL
301	= 35 mg/dL
307	= 35 mg/dL
301	= 42 mg/dL

Aantal citaties voor de bepaling van glucose: staal C/15241

Methode	Z-citatie	U-citatie
301 Hexokinase - Abbott	3	1
310 Hexokinase - Olympus	1	1
405 Hexokinase - Roche (Cobas 8000 c701/c702)	2	0

Aantal citaties voor de bepaling van glucose: staal C/15242

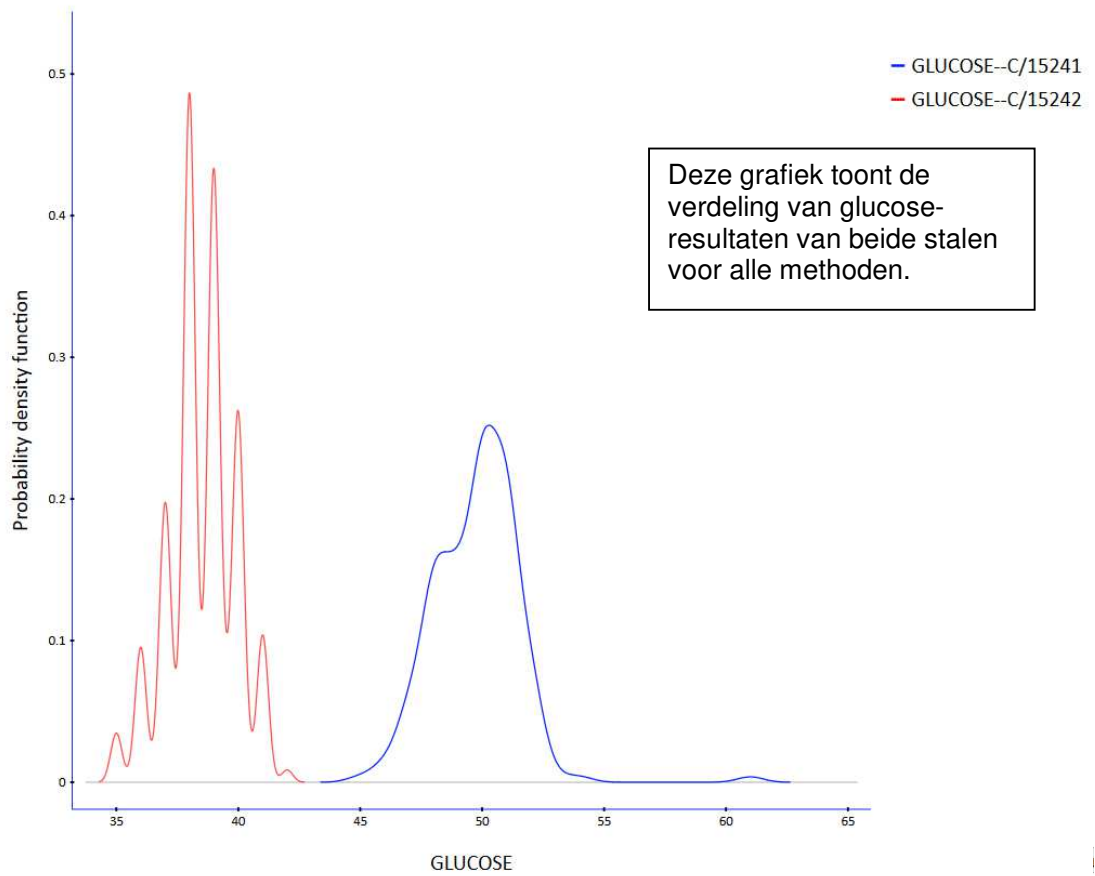
Methode	Z-citatie	U-citatie
301 Hexokinase - Abbott	1	4
307 Reflectance photometry - OCD	1	1
309 Hexokinase - Siemens (Bayer)	0	1
310 Hexokinase - Olympus	0	1
316 Hexokinase - Siemens (Dade)- Dimension Vista	0	2

Kernel densiteitsschatting van alle methoden voor glucose-resultaten voor beide stalen

GLUCOSE...C/15241	
Mediane	50
CV	3.03929
SQ	1.51964
NLABS	164
P25	48.95
P75	51

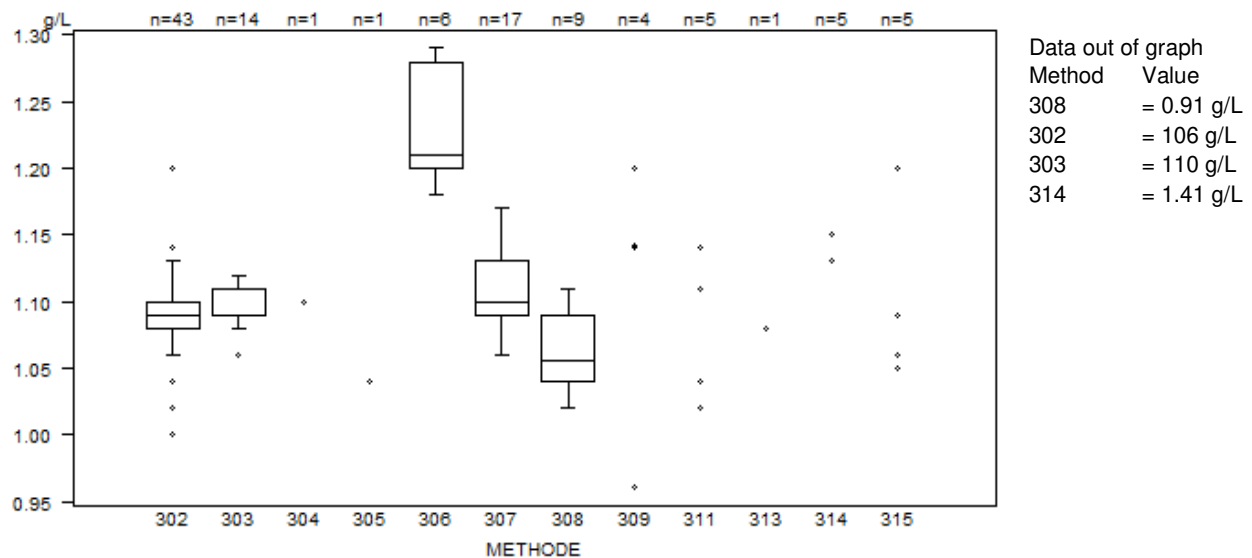
  

GLUCOSE...C/15242	
Mediane	38.8
CV	1.91054
SQ	0.74129
NLABS	164
P25	38
P75	39



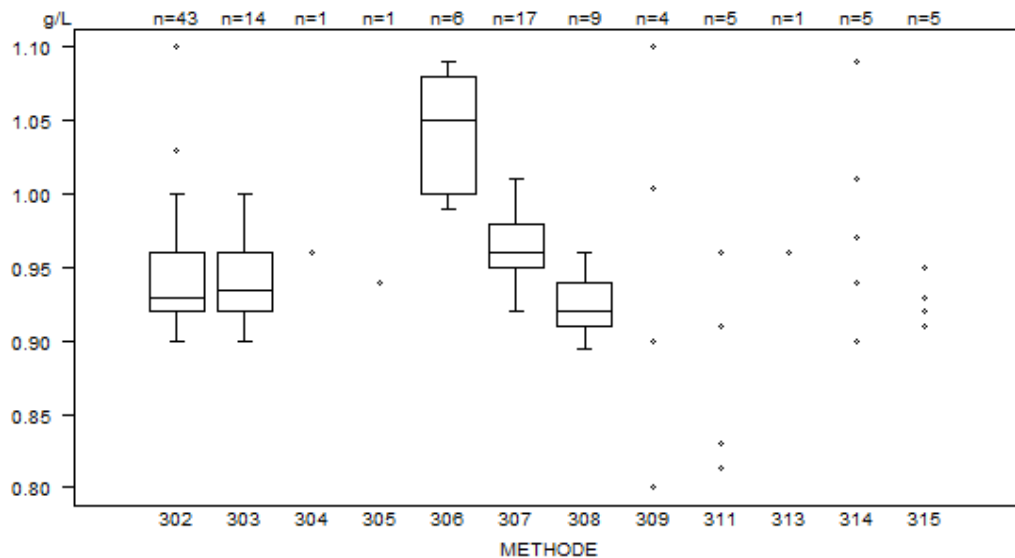
METHODE	C/15241			
	Median g/L	SD g/L	CV %	N
<del>302 Immunoturbidimetry - Roche (Cobas c501/c502)</del>	<del>1.09</del>	<del>0.01</del>	<del>1.4</del>	<del>43</del>
302 Immunoturbidimetry - Roche (Cobas c501/c502)	1.09	<b>0.02*</b>	<b>2.3</b>	43
303 Immunoturbidimetry - Roche (Cobas c701/c702)	1.09	0.01	1.4	14
304 Immunoturbidimetry - Roche (Cobas Integra)		1.10		1
305 Immunoturbidimetry - Roche (Hitachi/Modular)		1.04		1
306 Immunoturbidimetry - Dimension Vista	<b>1.21</b>	0.06	4.9	6
307 Immunoturbidimetry - Abbott Architect	1.10	0.03	2.7	17
308 Immunoturbidimetry - Olympus	1.06	0.04	3.5	9
309 Immunoturbidimetry - OCD (Vitros)	0.96 1.20	1.14	1.14	4
311 Nephelometry - Beckman/Analys (Image)	1.02 1.11	1.04 1.14	1.04	5
313 Immunoturbidimetry - Siemens-Dade		1.08		1
314 Immunonephelometry -Siemens	1.13 1.15	1.13 1.41	1.15	5
315 Immunoturbidimetry - Siemens-Bayer	1.05 1.09	1.06 1.20	1.06	5
Global results (all methods and all measuring systems)	1.09	0.03	3.1	111

*\*De robuuste standaarddeviatie die gewoonlijk wordt gebruikt voor de EKE berekeningen wordt vervangen door de klassieke standaarddeviatie formule na verwijdering van de eventuele "uitschieters" door Grubb's-test in deze peergroep voor de haptoglobine- resultaten van de gebruikers van de methode 302 Immunoturbidimetry - Roche (Cobas c501/c502) voor het staal C/15241 van deze enquête.*



*We bemerken een positieve bias voor de haptoglobine-resultaten bekomen door de gebruikers van methode 306 Immunoturbidimetry - Dimension Vista voor beide stalen.*

METHODE	C/15242			
	Median g/L	SD g/L	CV %	N
302 Immunoturbidimetry - Roche (Cobas c501/c502)	0.93	0.03	3.2	43
303 Immunoturbidimetry - Roche (Cobas c701/c702)	0.94	0.03	3.2	14
304 Immunoturbidimetry - Roche (Cobas Integra)	0.96			1
305 Immunoturbidimetry - Roche (Hitachi/Modular)	0.94			1
306 Immunoturbidimetry - Dimension Vista	1.05	0.06	5.6	6
307 Immunoturbidimetry - Abbott Architect	0.96	0.02	2.3	17
308 Immunoturbidimetry - Olympus	0.92	0.02	2.4	9
309 Immunoturbidimetry - OCD (Vitros)	0.80 1.10	0.90	1.00	4
311 Nephelometry - Beckman/Analis (Image)	0.81 0.91	0.81	0.83	5
313 Immunoturbidimetry - Siemens-Dade	0.96			1
314 Immunonephelometry -Siemens	0.90 1.01	0.94	0.97	5
315 Immunoturbidimetry - Siemens-Bayer	0.91 0.95	0.92	0.93	5
Global results (all methods and all measuring systems)	0.94	0.03	3.7	111



*Sommige laboratoria hebben hun haptoglobine-resultaten niet in de voorkeurseenheid (g/L) gerapporteerd maar in een andere eenheid.*

Data out of graph  
Method Value  
308 = 0.77 g/L  
302 = 90 g/L  
303 = 94 g/L



Aantal citaties voor de bepaling van haptoglobine: staal C/15241

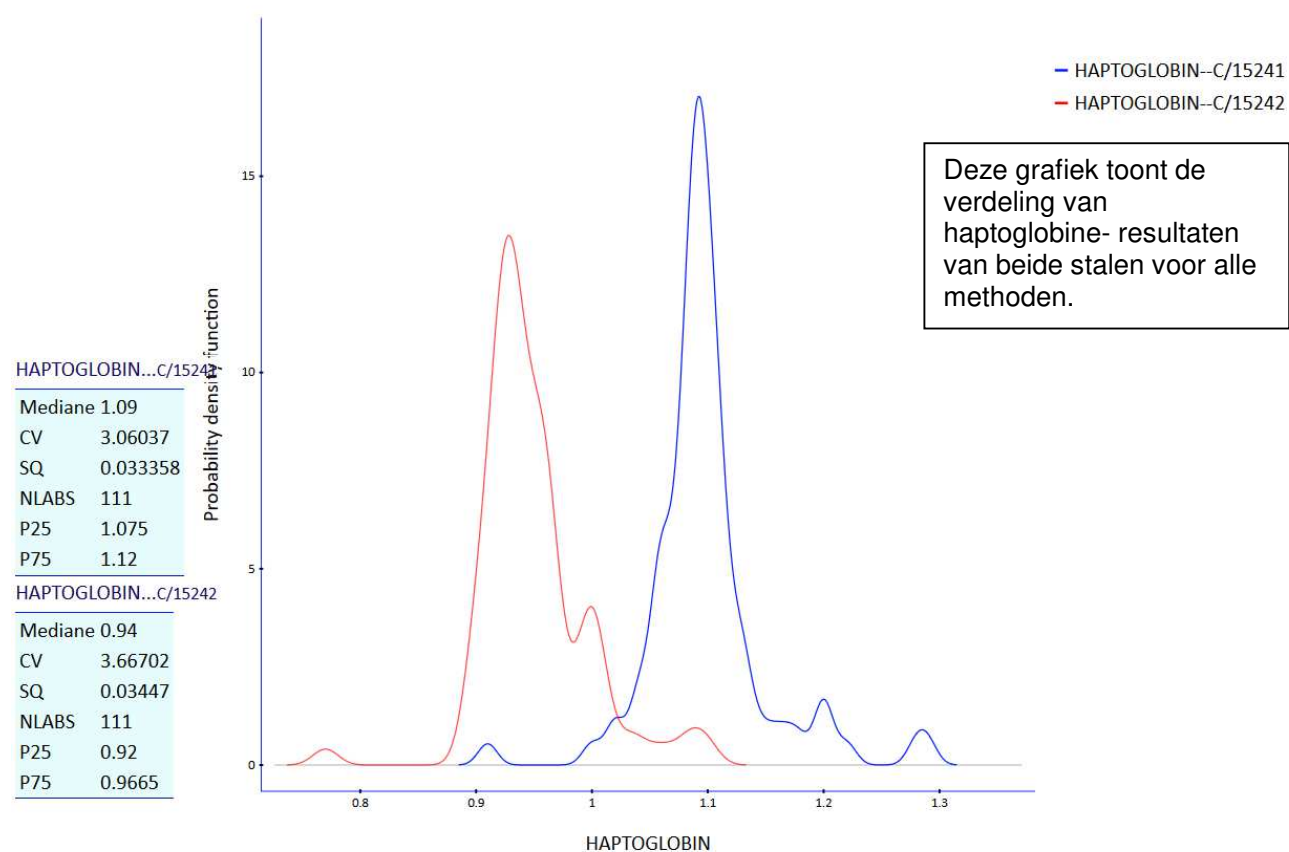
Methode	Z-citatie
<del>302 Immunoturbidimetry - Roche (Cobas c501/c502)</del>	<del>7</del>
302 Immunoturbidimetry - Roche (Cobas c501/c502)	3
303 Immunoturbidimetry - Roche (Cobas c701/c702)	1
308 Immunoturbidimetry - Olympus	1

*De herberekende standaarddeviatie bekomen door de klassieke formule laat toe om de z-citatie van de methode 302 te verminderen.*

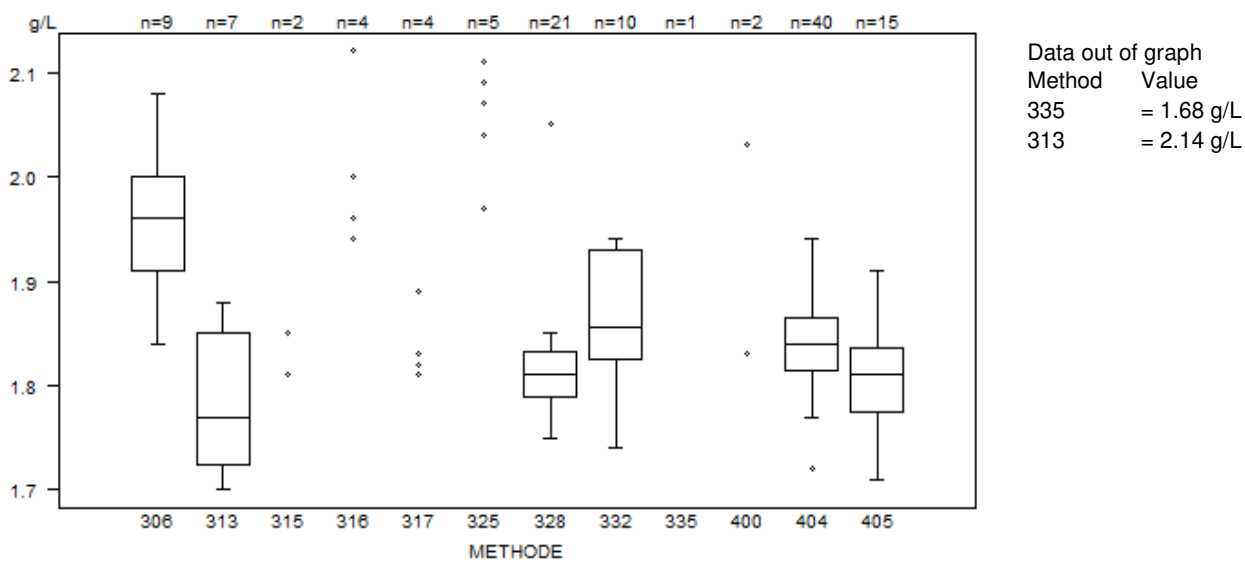
Aantal citaties voor de bepaling van haptoglobine: staal C/15242

Methode	Z-citatie
302 Immunoturbidimetry - Roche (Cobas c501/c502)	3
303 Immunoturbidimetry - Roche (Cobas c701/c702)	1
308 Immunoturbidimetry - Olympus	1

Kernel densiteitsschatting van alle methoden voor haptoglobine-resultaten voor beide stalen



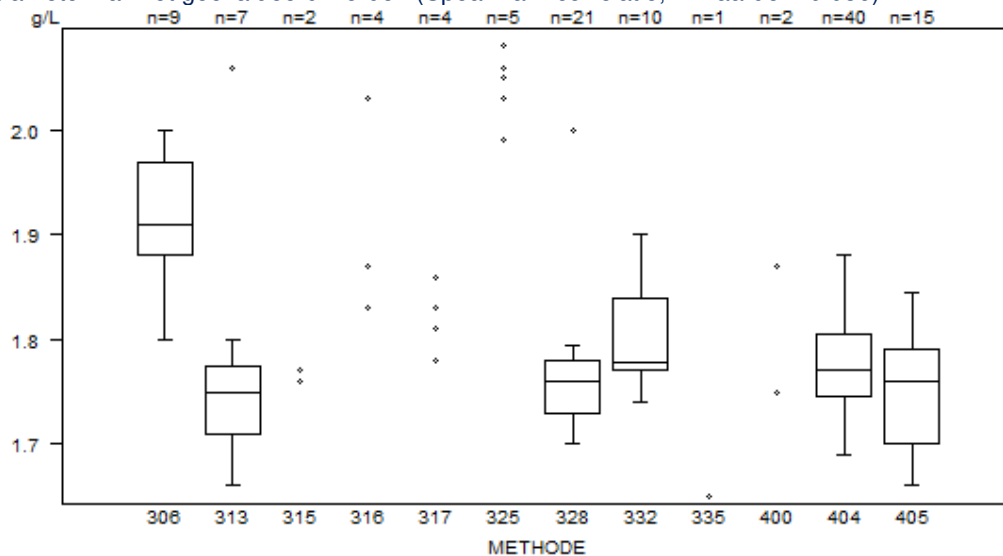
IGA - d (%) : 10.6	C/15241			
	METHODE	Median g/L	SD g/L	CV %
306 Immunoturbidimetry - Siemens (Bayer)	1.96	0.07	3.4	9
313 Immunoturbidimetry - Olympus	1.77	0.09	5.2	7
315 Immunoturbidimetry (Other)	1.81	1.85		2
316 Immunonephelometry - Siemens (Dade)	1.94 2.12	1.96	2.00	4
317 Immunonephelometry - Coulter (Beckman)	1.81 1.89	1.82	1.83	4
325 Immunonephelometry - Siemens (Vista)	1.97 2.09	2.04	2.07	5
328 Immunoturbidimetry - Abbott	1.81	0.03	1.7	21
332 Immunoturbidimetry - OCD	1.86	0.08	4.2	10
335 Immunoturbidimetry (The binding Site)	1.68			1
400 Immunoturbidimetry - Roche (Cobas Integra 400/400 plus)	1.83	2.03		2
404 Immunoturbidimetry - Roche (Cobas 6000/8000 c501/c502)	1.84	0.04	2.0	40
405 Immunoturbidimetry - Roche (Cobas 8000 c701/c702)	1.81	0.05	2.5	15
Global results (all methods and all measuring systems)	1.84	0.06	3.5	120



*We bemerken een positieve bias voor de IgA-resultaten bekomen door de gebruikers van methode 306 Immunoturbidimetry - Siemens (Bayer) voor beide stalen.*

IGA - d (%) : 10.6	C/15242				
	METHODE	Median g/L	SD g/L	CV %	N
306 Immunoturbidimetry - Siemens (Bayer)		1.91	0.07	3.5	9
313 Immunoturbidimetry - Olympus		1.75	0.05	2.8	7
315 Immunoturbidimetry (Other)		1.76	1.77		2
316 Immunonephelometry - Siemens (Dade)		1.83	1.87	2.03	4
317 Immunonephelometry - Coulter (Beckman)		1.78	1.81	1.83	4
325 Immunonephelometry - Siemens (Vista)		1.86			
328 Immunoturbidimetry - Abbott		1.99	2.03	2.05	5
332 Immunoturbidimetry - OCD		2.06	2.08		
335 Immunoturbidimetry (The binding Site)		1.76	0.04	2.1	21
400 Immunoturbidimetry - Roche (Cobas Integra 400/400 plus)		1.78	0.05	2.9	10
404 Immunoturbidimetry - Roche (Cobas 6000/8000 c501/c502)		1.65			1
405 Immunoturbidimetry - Roche (Cobas 8000 c701/c702)		1.75	1.87		2
Global results (all methods and all measuring systems)		1.77	0.04	2.5	40
		1.76	0.07	3.8	15
		1.78	0.06	3.3	120

De analyse van de stabiliteit op basis van de bekomen IgA-resultaten tijdens deze enquête voor het staal C/15242 is niet bevredigend, er is een trend dat de z-citatie verhogingen in functie van de dag van de analyse. Deze parameter zal niet geëvalueerd worden (Spearman- correlatie, P-waarde = 0.036).



Aantal citaties voor de bepaling van IgA: Staal C/15241

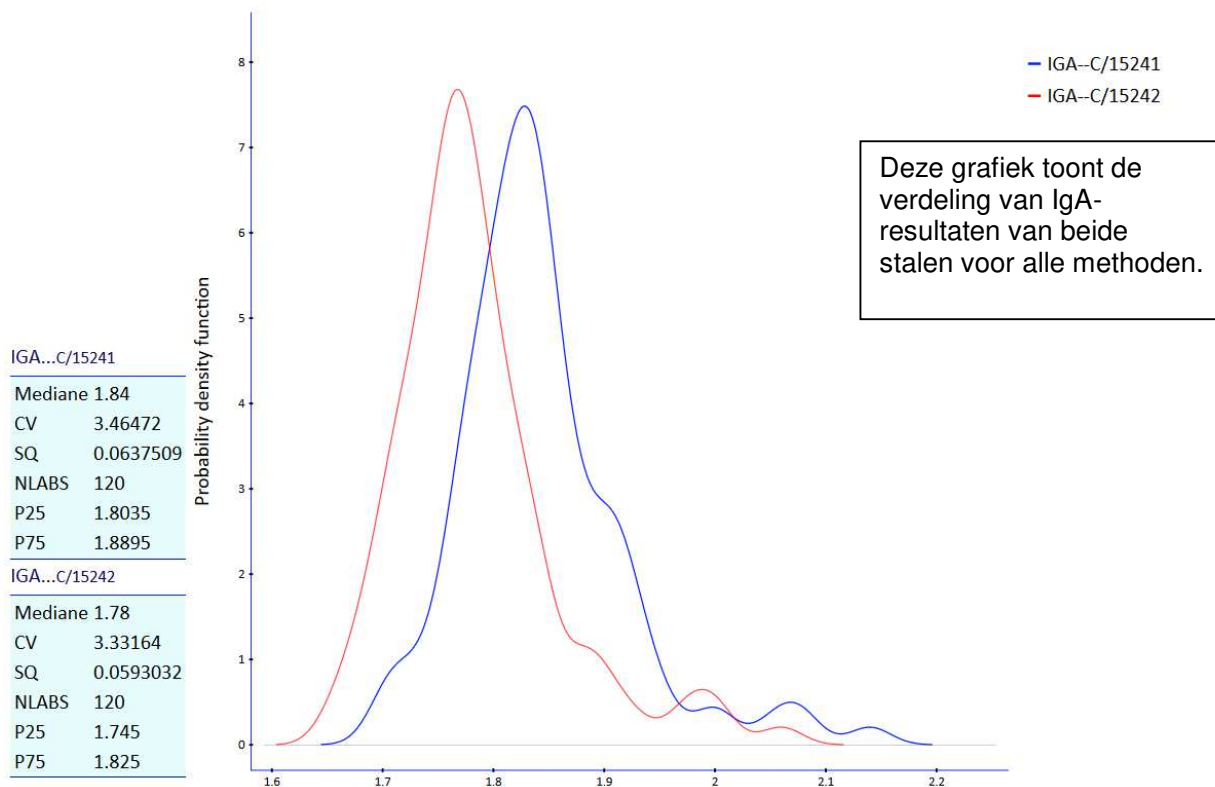
Methode	Z-citatie	U-citatie
313 Immunoturbidimetry - Olympus	1	1
328 Immunoturbidimetry - Abbott	1	1
404 Immunoturbidimetry - Roche (Cobas 6000/8000 c501/c502)	1	0

Aantal citaties voor de bepaling van IgA: Staal C/15242

Methode	Z-citatie	U-citatie
313 Immunoturbidimetry - Olympus	1	1
328 Immunoturbidimetry - Abbott	1	1

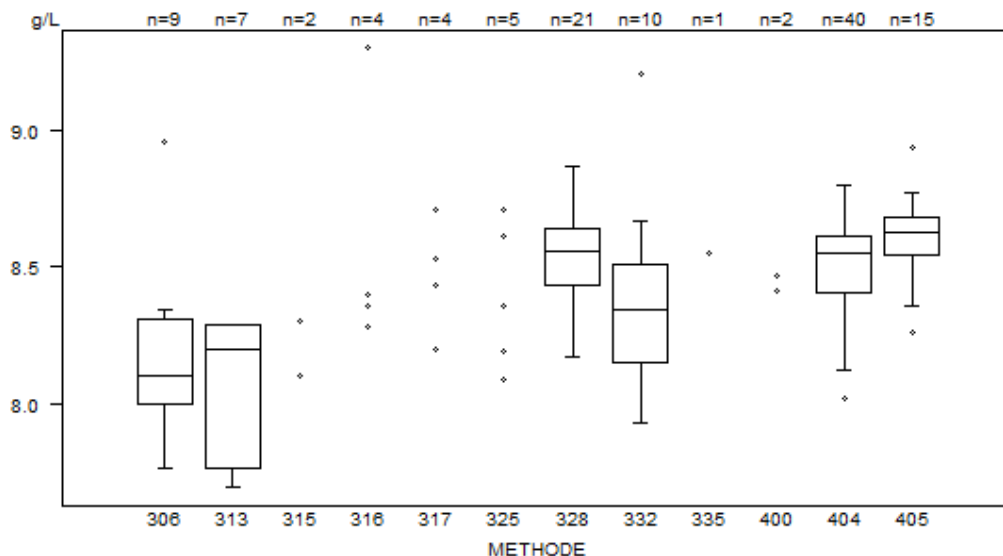
Ce paramètre ne sera pas évalué pour l'échantillon C/15242.

Kernel densiteitsschatting van alle methoden voor IgA-resultaten voor beide stalen



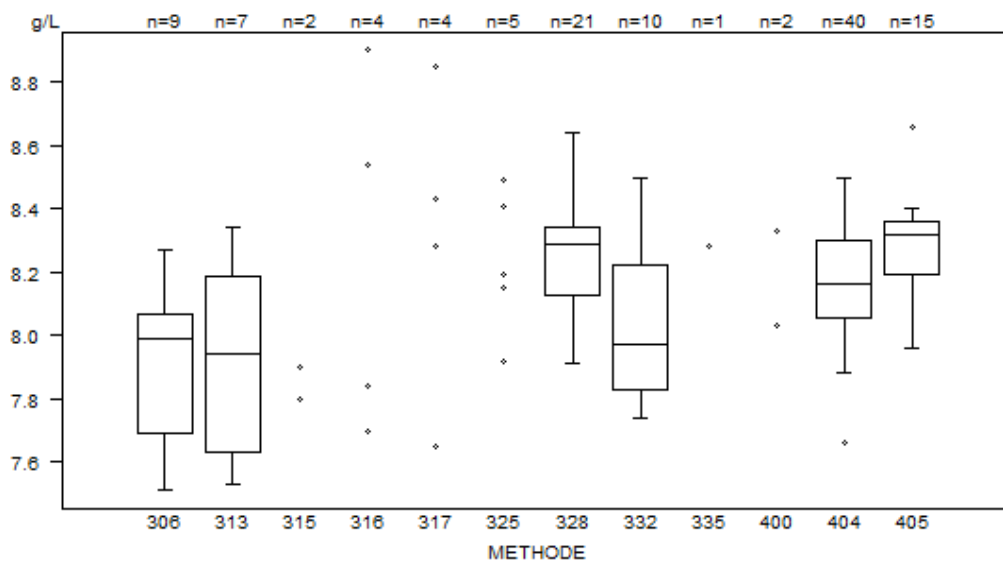
IGG - d (%) : 9.3	C/15241				
	METHODE	Median g/L	SD g/L	CV %	N
306	Immunoturbidimetry -Siemens (Bayer)	8.10	0.23	2.8	9
313	Immunoturbidimetry - Olympus	8.20	0.39	4.7	7
315	Immunoturbidimetry - Other	8.10	8.30		2
316	Immunonephelometry - Siemens (Dade)	8.28 9.30	8.36	8.40	4
317	Immunonephelometry - Coulter (Beckman)	8.20 8.71	8.43	8.53	4
325	Immunonephelometry- Siemens (Vista)	8.09 8.61	8.19	8.36	5
328	Immunoturbidimetry - Abbott	8.56	0.16	1.8	21
332	Immunoturbidimetry - OCD	8.34	0.27	3.2	10
335	Immunoturbidimetry (The binding site)		8.55		1
400	Immunoturbidimetry - Roche (Cobas Integra 400/400 plus)		8.41	8.47	2
404	Immunoturbidimetry - Roche (Cobas 6000/8000 c501/c502)	8.55	0.16	1.8	40
<del>405</del>	<del>Immunoturbidimetry - Roche (Cobas 8000 c701/c702)</del>	<del>8.62</del>	<del>0.10</del>	<del>1.2</del>	<del>15</del>
405	Immunoturbidimetry - Roche (Cobas 8000 c701/c702)	8.59	<b>0.16*</b>	<b>1.9</b>	15
Global results (all methods and all measuring systems)		8.50	0.25	2.9	120

\*De robuuste standaarddeviatie die gewoonlijk wordt gebruikt voor de EKE berekeningen wordt vervangen door de klassieke standaarddeviatie formule na verwijdering van de eventuele "uitschieters" door Grubb's-test in deze peergroep voor de IgG-resultaten van de gebruikers van methode 405 Immunoturbidimetry - Roche (Cobas 8000 c701/c702), voor het staal C/15241 van deze enquête.



Data out of graph  
Method Value  
313 = 9.56 g/L

METHODE	C/15242			
	Median g/L	SD g/L	CV %	N
306 Immunoturbidimetry -Siemens (Bayer)	7.99	0.28	3.5	9
313 Immunoturbidimetry - Olympus	7.94	0.41	5.1	7
315 Immunoturbidimetry - Other	7.80	7.90		2
316 Immunonephelometry - Siemens (Dade)	7.70 8.90	7.84	8.54	4
317 Immunonephelometry - Coulter (Beckman)	7.65 8.85	8.28	8.43	4
325 Immunonephelometry- Siemens (Vista)	7.92 8.41	8.15	8.19	5
328 Immunoturbidimetry - Abbott	8.29	0.16	1.9	21
332 Immunoturbidimetry - OCD	7.98	0.29	3.6	10
335 Immunoturbidimetry (The binding site)	8.28			1
400 Immunoturbidimetry - Roche (Cobas Integra 400/400 plus)	8.03	8.33		2
404 Immunoturbidimetry - Roche (Cobas 6000/8000 c501/c502)	8.16	0.18	2.2	40
405 Immunoturbidimetry - Roche (Cobas 8000 c701/c702)	8.32	<b>0.12</b>	<b>1.5</b>	15
Global results (all methods and all measuring systems)	8.20	0.24	2.9	120



Data out of graph  
Method Value  
313 = 9.49 g/L

Aantal citaties voor de bepaling van IgG: Staal C/15241

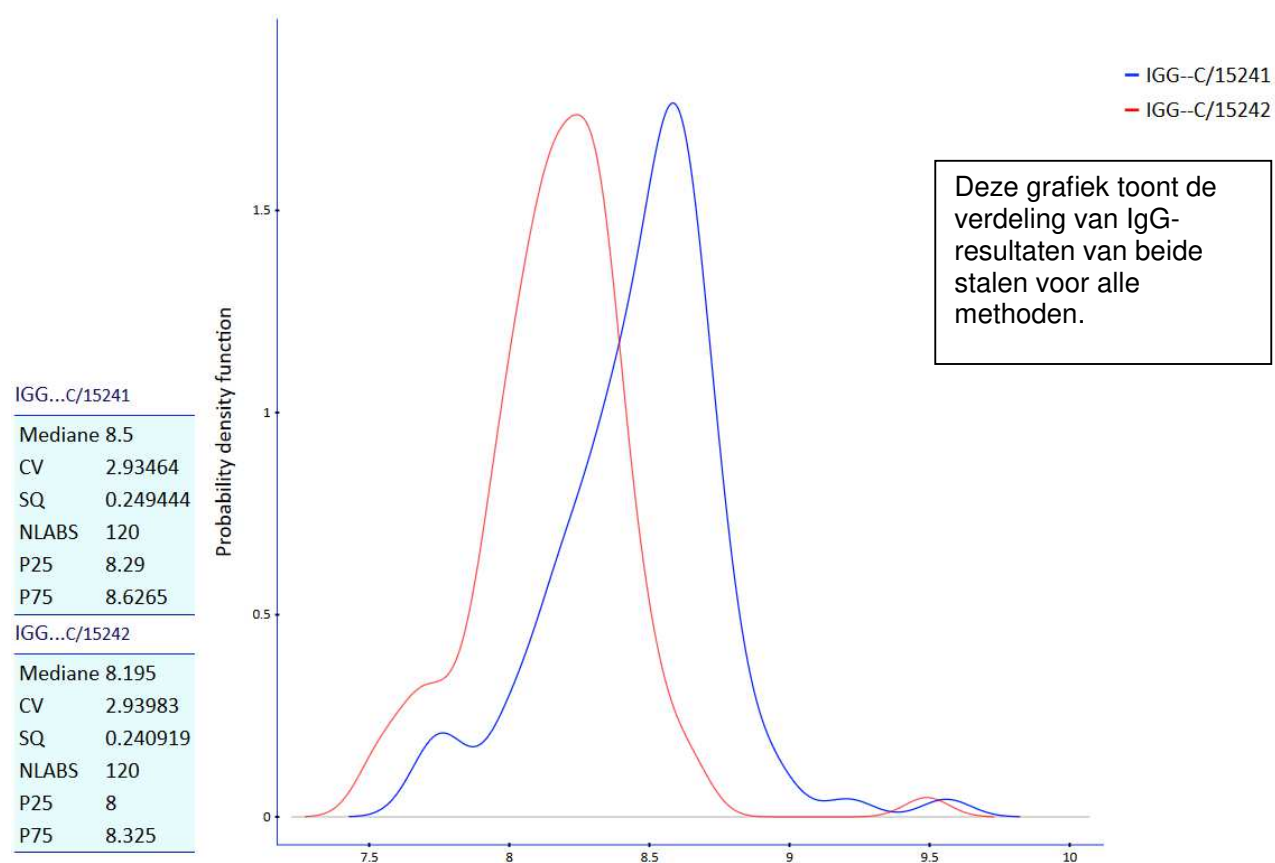
Methode	Z- citatie	U-citatie
306 Immunoturbidimetry -Siemens (Bayer)	1	1
313 Immunoturbidimetry - Olympus	1	1
332 Immunoturbidimetry - OCD	1	1
404 Immunoturbidimetry - Roche (Cobas 6000/8000 c501/c502)	1	0
<del>405 Immunoturbidimetry - Roche (Cobas 8000 c701/c702)</del>	<del>2</del>	<del>0</del>
405 Immunoturbidimetry - Roche (Cobas 8000 c701/c702)	0	0

*De herberekende standaarddeviatie bekomen door de klassieke formule laat toe om de z-citatie bekomen door de gebruikers van de methode 405 te verwijderen.*

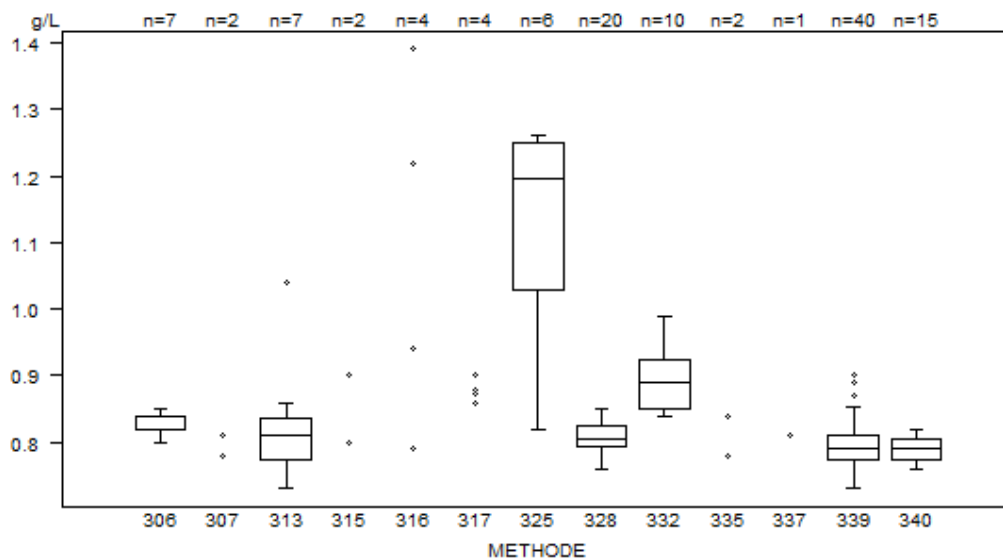
Aantal citaties voor de bepaling van IgG: Staal C/15242

Methode	Z- citatie	U-citatie
313 Immunoturbidimetry - Olympus	1	1

Kernel densiteitsschatting van alle methoden voor IgG-resultaten voor beide stalen



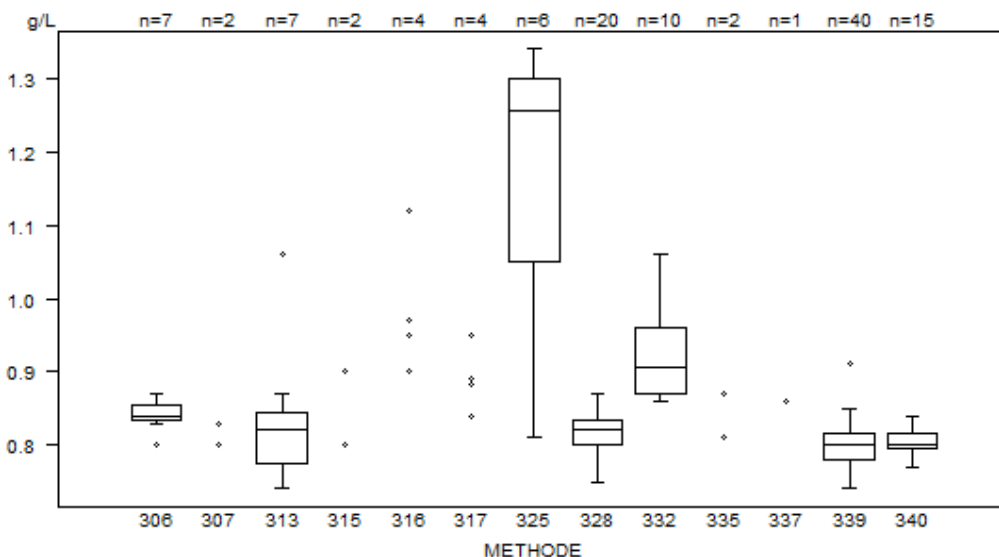
IgM - d (%) : 12.2	C/15241				
	METHODE	Median g/L	SD g/L	CV %	N
306	Immunoturbidimetry - Siemens (Bayer)	0.82	0.01	1.8	7
307	Immunoturbidimetry - Roche (Hit / Modular)	0.78 0.81			2
313	Immunoturbidimetry - Olympus	0.81	0.04	5.5	7
315	Immunoturbidimetry (Other)	0.80 0.90			2
316	Immunonephelometry - Siemens (Dade)	0.79 1.39	0.94	1.22	4
317	Immunonephelometry - Coulter (Beckman)	0.86 0.90	0.87	0.88	4
325	Immunonephelometry - Siemens (Vista)	<b>1.20</b>	0.16	<b>13.6</b>	6
328	Immunoturbidimetry - Abbott	0.81	0.02	2.8	20
332	Immunoturbidimetry - OCD	0.89	0.06	6.2	10
335	Immunoturbidimetry - Roche (Cobas Integra 400/400 plus)	0.78 0.84			2
337	Immunoturbidimetry (The binding Site)	0.81			1
339	Immunoturbidimetry - Roche (Cobas 6000/8000 c501/c502)	0.79	0.03	3.3	40
340	Immunoturbidimetry - Roche (Cobas 8000 c701/c702)	0.79	0.02	2.9	15
Global results (all methods and all measuring systems)		0.81	0.04	4.6	120



*We bemerken een positieve bias voor de IgM-resultaten bekomen door de gebruikers van methode 325 Immunonephelometry - Siemens (Vista) voor beide stalen.*



METHODE	C/15242			
	Median g/L	SD g/L	CV %	N
306 Immunoturbidimetry - Siemens (Bayer)	0.84	0.01	1.8	7
307 Immunoturbidimetry - Roche (Hit / Modular)	0.80 0.83			2
313 Immunoturbidimetry - Olympus	0.82	0.05	6.3	7
315 Immunoturbidimetry (Other)	0.80 0.90			2
316 Immunonephelometry - Siemens (Dade)	0.90 1.12	0.95	0.97	4
317 Immunonephelometry - Coulter (Beckman)	0.84 0.95	0.88	0.89	4
325 Immunonephelometry - Siemens (Vista)	<b>1.26</b>	0.19	14.8	6
328 Immunoturbidimetry - Abbott	0.82	0.03	3.2	20
332 Immunoturbidimetry - OCD	0.91	0.07	7.4	10
335 Immunoturbidimetry - Roche (Cobas Integra 400/400 plus)	0.81 0.87			2
337 Immunoturbidimetry (The binding Site)	0.86			1
339 Immunoturbidimetry - Roche (Cobas 6000/8000 c501/c502)	0.80	0.03	3.3	40
340 Immunoturbidimetry - Roche (Cobas 8000 c701/c702)	0.80	0.01	1.9	15
Global results (all methods and all measuring systems)	0.82	0.04	5.4	120



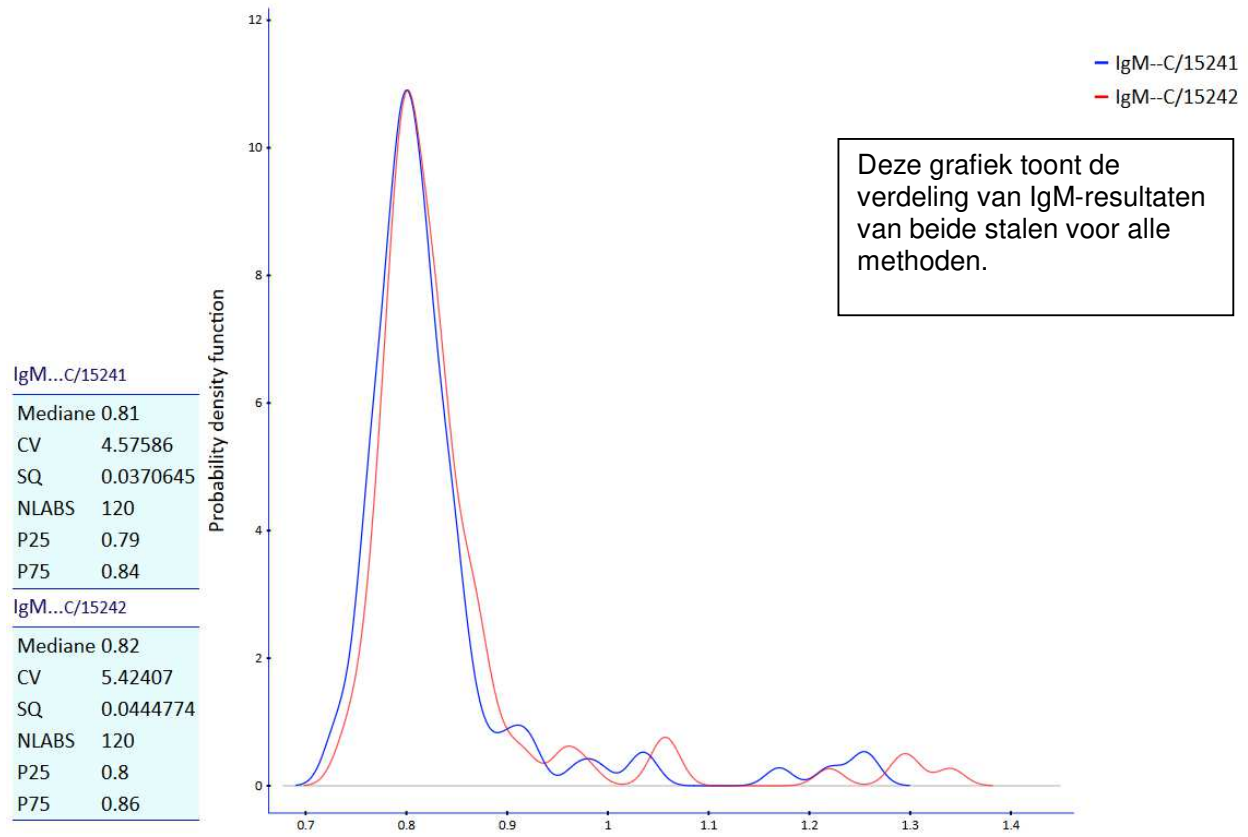
Aantal citaties voor de bepaling van IgM: staal C/15241

Methode	Z-citatie	U-citatie
313 Immunoturbidimetry - Olympus	1	1
325 Immunonephelometry - Siemens (Vista)	0	2
339 Immunoturbidimetry - Roche (Cobas 6000/8000 c501/c502)	3	2

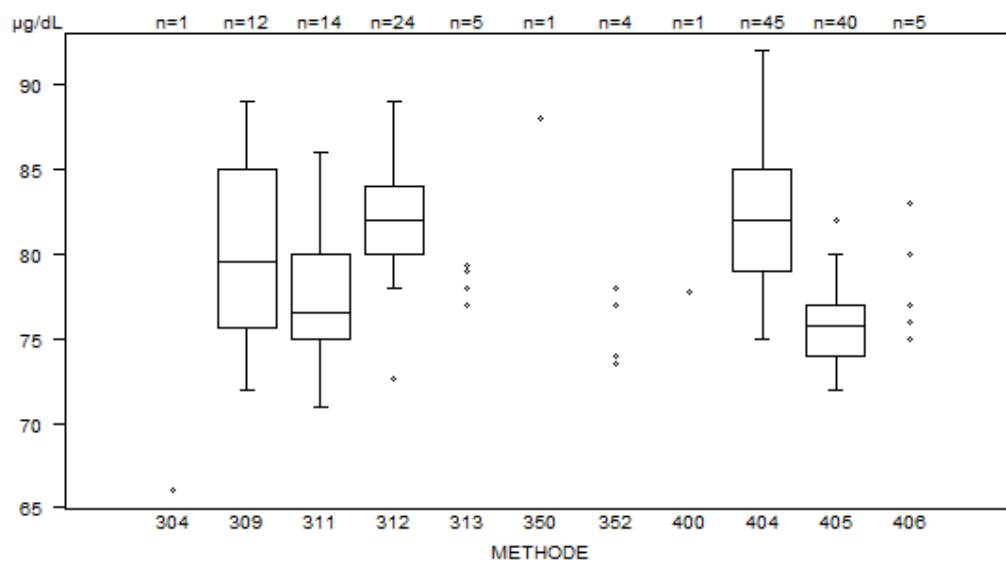
Aantal citaties voor de bepaling van IgM: staal C/15242

Methode	Z-citatie	U-citatie
313 Immunoturbidimetry - Olympus	1	1
325 Immunonephelometry - Siemens (Vista)	0	2
332 Immunoturbidimetry - OCD	0	1
339 Immunoturbidimetry - Roche (Cobas 6000/8000 c501/c502)	1	1

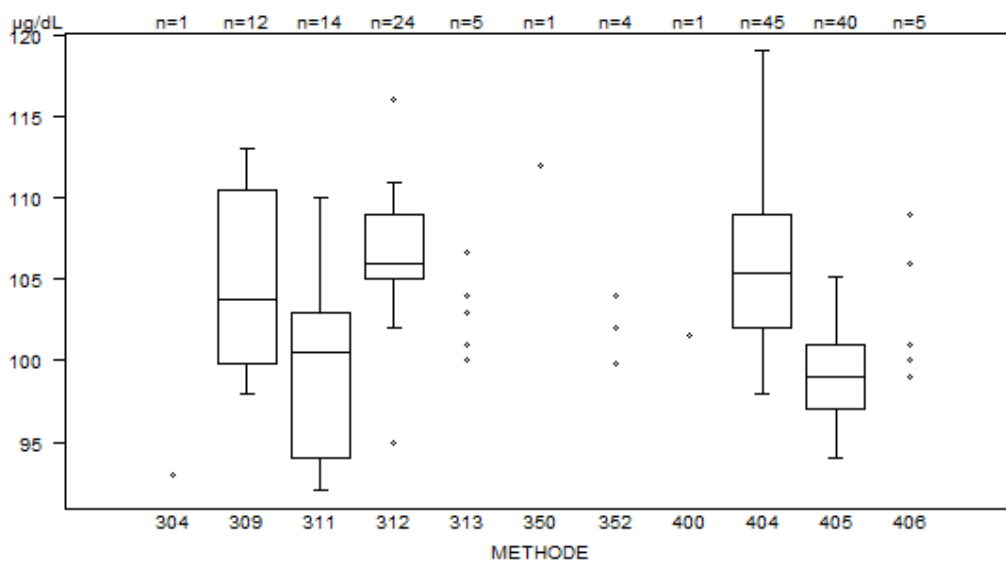
Kernel densiteitsschatting van alle methoden voor IgM-resultaten voor beide stalen



IJZER - d (%) : 8.3	C/15241			
	METHODE	Median µg/dL	SD µg/dL	CV %
304 VIS photometry without deprot (ferrozine) - Coulter (Beckman)		66.00		1
309 VIS photometry without deproteinization (TPTZ) - Olympus	79.50	6.93	8.7	12
311 Reflectance photometry - OCD	76.50	3.71	4.8	14
312 VIS photometry without deproteinization (ferene) - Abbott	82.00	2.97	3.6	24
313 VIS photometry without deproteinization(ferene-Siemens (Dade) - Dimension Vista	77.00 79.00	77.00 79.30	78.00	5
350 Other methods - Abbott		88.00		1
352 Other methods - Siemens (Bayer)	73.50 78.00	74.00	77.00	4
400 VIS phot. no deprot. (ferrozine) - Roche (Cobas Integra 400/400 plus)		77.80		1
404 VIS phot. no deprot. (ferrozine) - Roche (Cobas 6000/8000 c501/c502)	82.00	4.45	5.4	45
405 VIS phot. no deprot. (ferrozine) - Roche (Cobas 8000 c701/c702)	75.75	2.22	2.9	40
406 VIS photometry without deproteinization (ferrozine) - Siemens (Bayer)	75.00 80.00	76.00 83.00	77.00	5
Global results (all methods and all measuring systems)	79.00	4.45	5.6	152



IJZER - d (%) : 8.3	C/15242			
	METHODE	Median µg/dL	SD µg/dL	CV %
304 VIS photometry without deprot (ferrozine) - Coulter (Beckman)		93.00		1
309 VIS photometry without deproteinization (TPTZ) - Olympus	103.75	7.93	7.6	12
311 Reflectance photometry - OCD	100.50	6.67	6.6	14
312 VIS photometry without deproteinization (ferene) - Abbott	106.00	2.97	2.8	24
313 VIS photometry without deproteinization(ferene-Siemens (Dade) - Dimension Vista	100.00 104.00	101.00 106.60	103.00	5
350 Other methods - Abbott		112.00		1
352 Other methods - Siemens (Bayer)	99.80 104.00	102.00	102.00	4
400 VIS phot. no deprot. (ferrozine) - Roche (Cobas Integra 400/400 plus)		101.50		1
404 VIS phot. no deprot. (ferrozine) - Roche (Cobas 6000/8000 c501/c502)	105.40	5.19	4.9	45
405 VIS phot. no deprot. (ferrozine) - Roche (Cobas 8000 c701/c702)	98.95	2.97	3.0	40
406 VIS photometry without deproteinization (ferrozine) - Siemens (Bayer)	99.00 106.00	100.00 109.00	101.00	5
Global results (all methods and all measuring systems)	103.00	4.93	4.8	152



Data out of graph  
Method Value  
405 = 90 µg/dL  
404 = 121 µg/dL

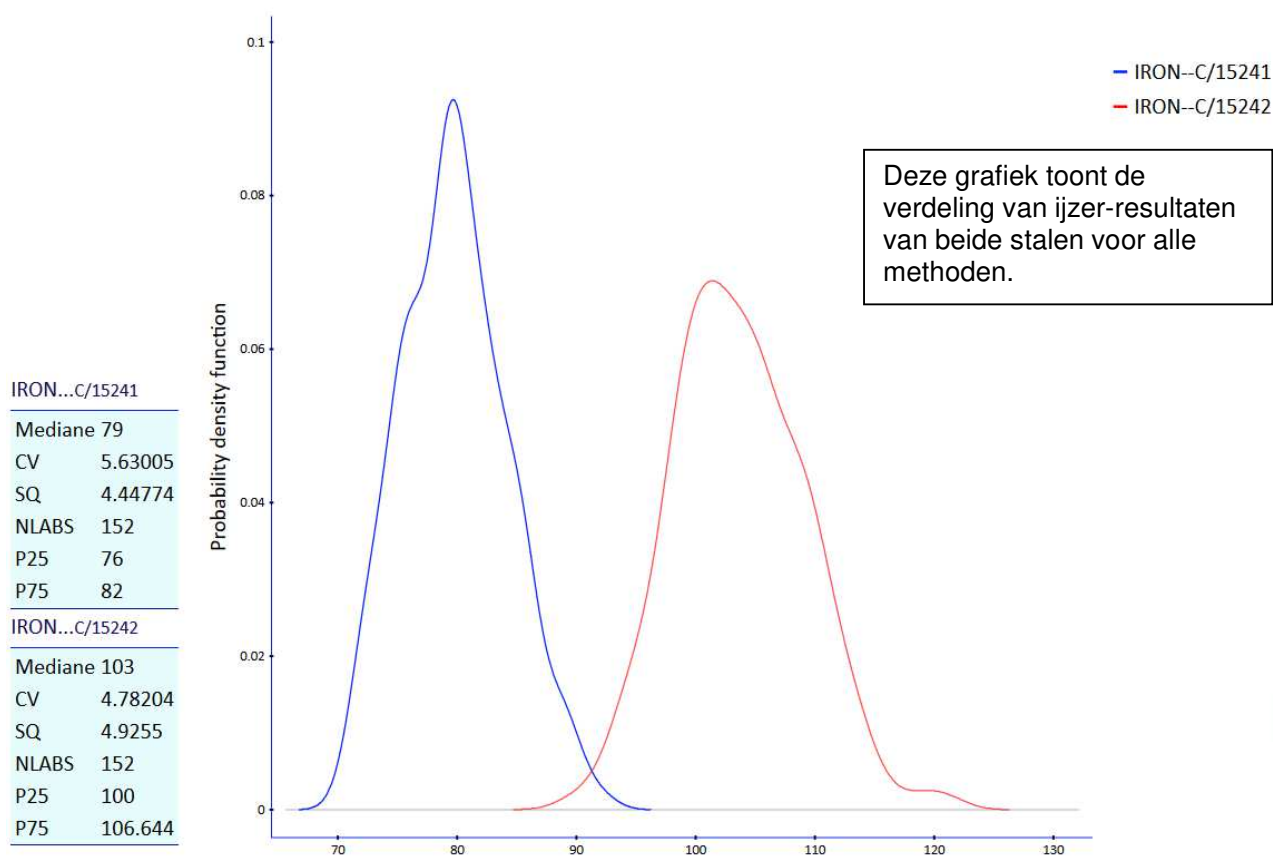
Aantal citaties voor de bepaling van ijzer: Staal C/15241

Methode	Z-citatie	U-citatie
309 VIS photometry without deproteinization (TPTZ) - Olympus	0	1
311 Reflectance photometry - OCD	0	1
312 VIS photometry without deproteinization (ferene) - Abbott	1	1
404 VIS phot. no deprot. (ferrozine) - Roche (Cobas 6000/8000 c501/c502)	0	1

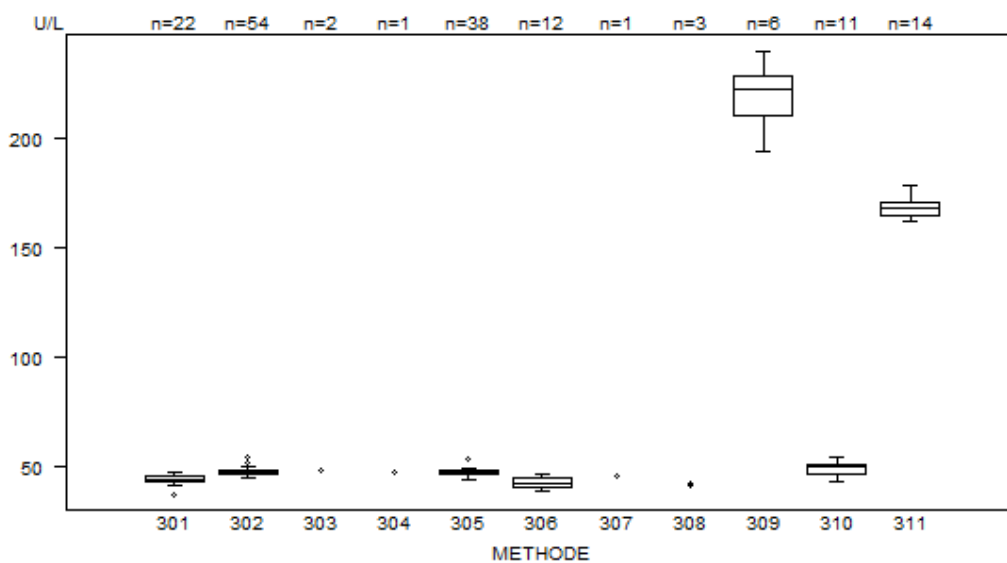
Aantal citaties voor de bepaling van ijzer: Staal C/15242

Methode	Z-citatie	U-citatie
309 VIS photometry without deproteinization (TPTZ) - Olympus	0	2
311 Reflectance photometry - OCD	0	1
312 VIS photometry without deproteinization (ferene) - Abbott	2	2
404 VIS phot. no deprot. (ferrozine) - Roche (Cobas 6000/8000 c501/c502)	1	2
405 VIS phot. no deprot. (ferrozine) - Roche (Cobas 8000 c701/c702)	1	0

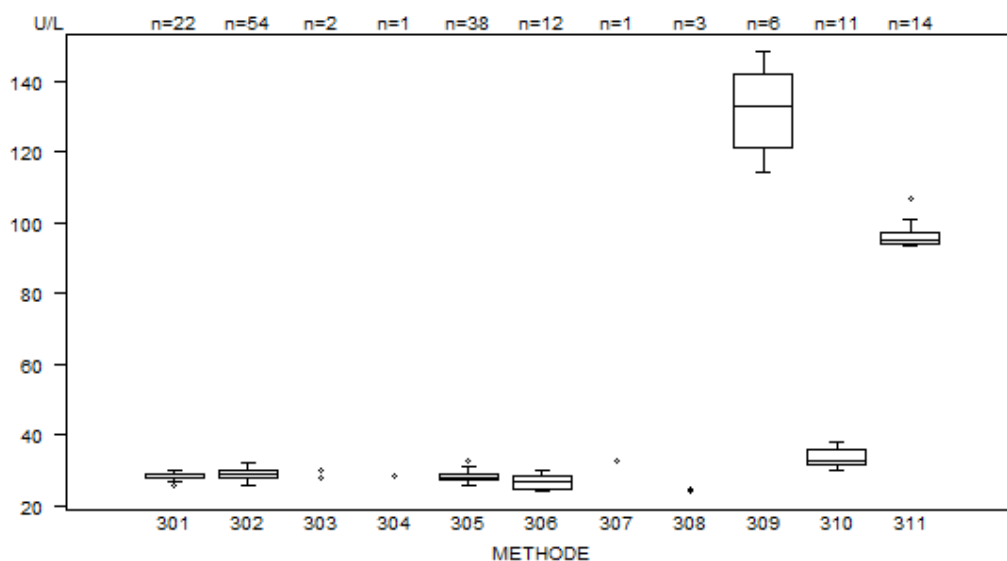
Kernel densiteitsschatting van alle methoden voor ijzer-resultaten voor beide stalen



METHODE	C/15241			
	Median U/L	SD U/L	CV %	N
301 Quinone Dye (Abbott)	44.0	1.7	3.9	22
302 Glutaric acid + methylresorufin (Roche c 501/502)	47.0	1.2	2.5	54
303 Glutaric acid + methylresorufin (Roche Hit/Modular)	48.0 48.0			2
304 Glutaric acid + methylresorufin (Integra 400/400+)	47.2			1
305 Glutaric acid + methylresorufin (Roche c 701/702)	47.0	1.5	3.2	38
306 Quinonediimine Dye (Olympus/Analys/Beckman)	42.2	3.3	7.9	12
307 Glutaric acid + methylresorufin (Beckman)	45.0			1
308 Glutaric acid + methylresorufin (Sentinel)	41.0	42.0	42.0	3
309 Glutaric acid + methylresorufin (Siemens Dade)	222.5	13.3	6.0	6
310 Glutaric acid + methylresorufin (Siemens Bayer)	49.5	3.0	6.1	11
311 Dye (Vitros)	167.5	4.4	2.7	14
Global results (all methods and all measuring systems)				164



LIPASE - d (%) : 14.3	C/15242			
	METHODE	Median U/L	SD U/L	CV %
301 Quinone Dye (Abbott)	28.0	0.9	3.2	22
302 Glutaric acid + methylresorufin (Roche c 501/502)	29.0	1.5	5.1	54
303 Glutaric acid + methylresorufin (Roche Hit/Modular)	28.0 30.0			2
304 Glutaric acid + methylresorufin (Integra 400/400+)	28.6			1
305 Glutaric acid + methylresorufin (Roche c 701/702)	28.0	1.1	4.0	38
306 Quinonediimine Dye (Olympus/Analys/Beckman)	27.0	2.6	9.6	12
307 Glutaric acid + methylresorufin (Beckman)	33.0			1
308 Glutaric acid + methylresorufin (Sentinel)	24.0	25.0	25.0	3
309 Glutaric acid + methylresorufin (Siemens Dade)	133.0	15.6	11.7	6
310 Glutaric acid + methylresorufin (Siemens Bayer)	33.0	3.4	10.4	11
311 Dye (Vitros)	95.0	2.2	2.3	14
Global results (all methods and all measuring systems)				164



Aantal citaties voor de bepaling van lipase: Staal C/15241

Methode	Z-citatie	U-citatie
301 Quinone Dye (Abbott)	1	1
302 Glutaric acid + methylresorufin (Roche c 501/502)	2	1
305 Glutaric acid + methylresorufin (Roche c 701/702)	1	0

Aantal citaties voor de bepaling van lipase: Staal C/15242

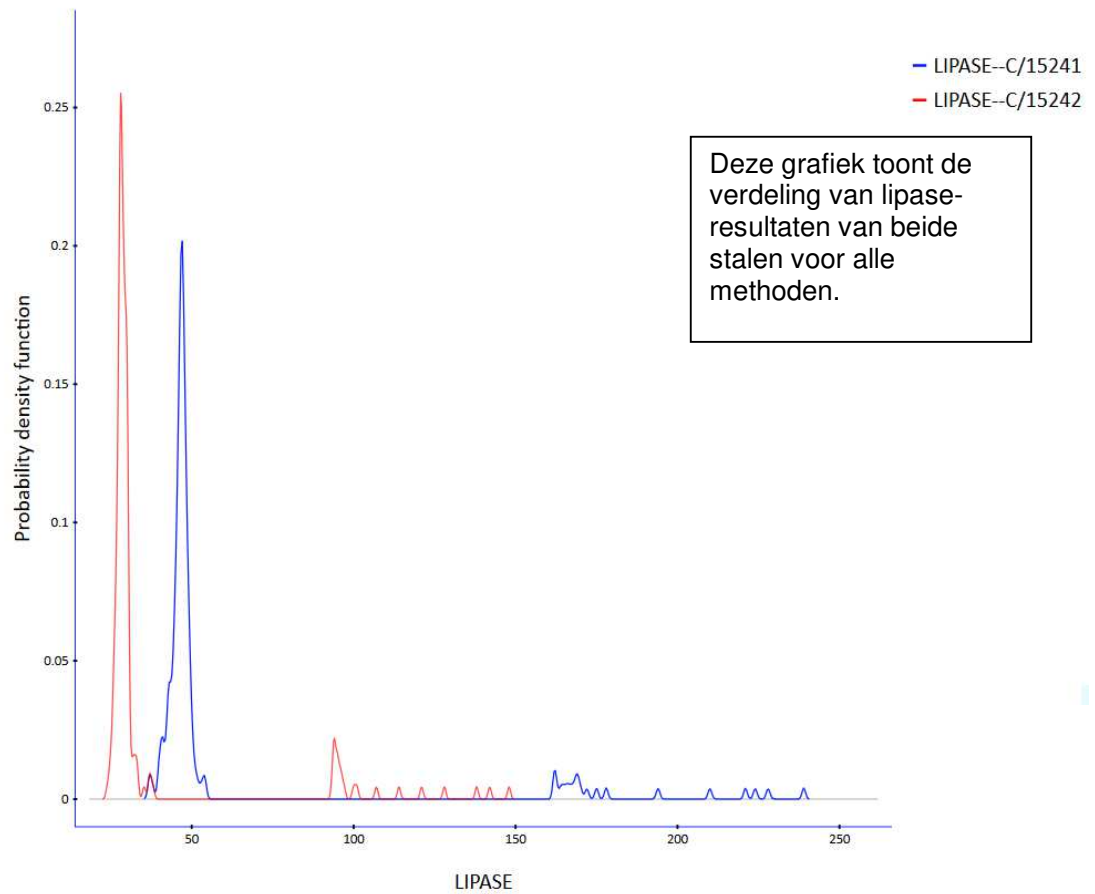
Methode	Z- citatie	U-citatie
305 Glutaric acid + methylresorufin (Roche c 701/702)	1	1
310 Glutaric acid + methylresorufin (Siemens Bayer)	0	1
311 Dye (Vitros)	1	0

Kernel densiteitsschatting van alle methoden voor lipase-resultaten voor beide stalen

LIPASE...C/15241	
Mediane	47
CV	5.04708
SQ	2.37213
NLABS	164
P25	45.55
P75	48.75

LIPASE...C/15242	
Mediane	29
CV	5.11234
SQ	1.48258
NLABS	164
P25	28
P75	30

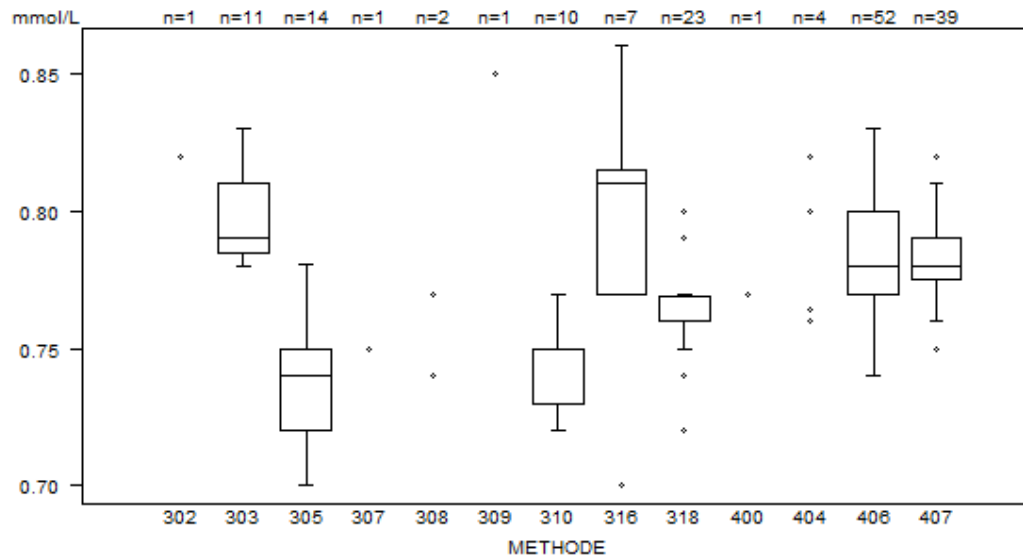




MAGNESIUM - d (%) : 8.9	C/15241			
METHODE	Median mmol/L	SD mmol/L	CV %	N
302 VIS photometry (calmagite)-Coulter (Beckman)	0.82			1
303 VIS photometry (xylidyl blue/magonsulphonate)-Olympus	0.79	0.02	2.3	11
305 Reflectance photometry - OCD	0.74	0.02	3.0	14
307 VIS photometry (arsenazo) - Abbott	0.75			1
308 VIS photometry (xylidyl blue/magonsulphonate)-Roche (Hit/Modular)	0.74	0.77		2
309 VIS photometry (xylidyl blue/magonsulphonate)-Sentinel	0.85			1
310 VIS photometry (xylidyl blue/magonsulphonate)-Siemens (Bayer)	0.73	0.01	2.0	10
316 VIS photometry (methylthymol blue)-Siemens (Dade) - Dimension Vista	0.81	0.03	4.1	7
<del>318 Enzymatic methods - Abbott</del>	<del>0.76</del>	<del>0.01</del>	<del>0.9</del>	<del>23</del>
318 Enzymatic methods - Abbott	0.76	<b>0.02*</b>	<b>2.5</b>	23
400 VIS photometry (chlorophosphonazo III)-Roche (Cobas Integra 400/400 plus)	0.77			1
404 VIS photometry (chlorophosphonazo III)-Roche (Cobas 6000/8000 c501/c502)	0.76	0.76	0.80	4
406 VIS photometry (xylidyl blue/magonsulphonate)-Roche (Cobas 6000/8000 c501/c502)	0.78	0.02	2.9	52
407 VIS photometry (xylidyl blue/magonsulphonate)-Roche (Cobas 8000 c701/c702)	0.78	0.01	1.4	39
Global results (all methods and all measuring systems)	0.78	0.02	2.9	166



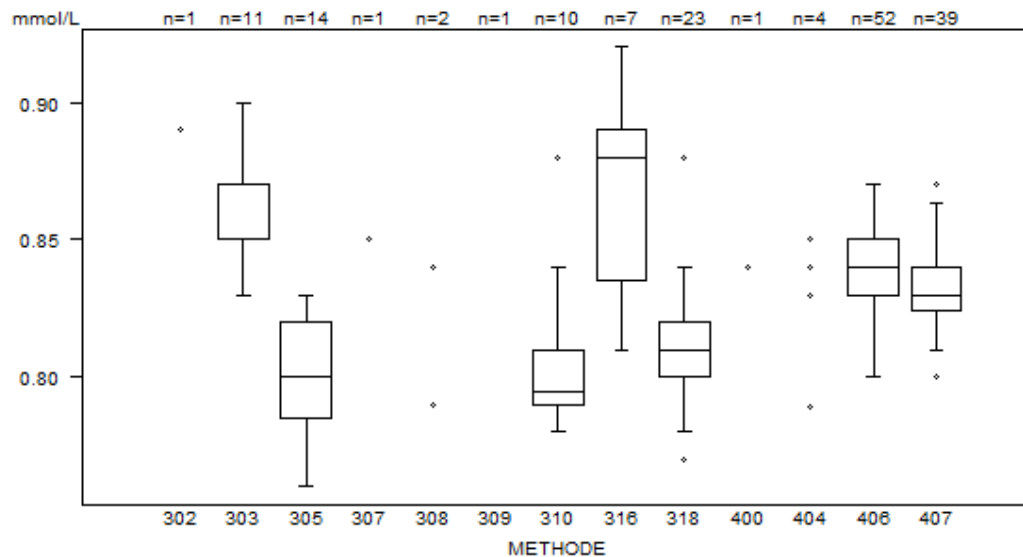
*\*De robuuste standaarddeviatie die gewoonlijk wordt gebruikt voor de EKE berekeningen wordt vervangen door de klassieke standaarddeviatie formule na verwijdering van de eventuele "uitschieters" door Grubb's-test in deze peergroep voor de magnesium-resultaten van de gebruikers van methode 318 Enzymatic methods - Abbott, voor het staal C/15241 van deze enquête.*



Data out of graph  
Method Value  
310 = 0.69 mmol/L  
318 = 0.94 mmol/L

MAGNESIUM - d (%) : 8.9	C/15242			
METHODE	Median mmol/L	SD mmol/L	CV %	N
302 VIS photometry (calmagite)-Coulter (Beckman)	0.89			1
303 VIS photometry (xylidyl blue/magonsulphonate)-Olympus	0.85	0.01	1.7	11
305 Reflectance photometry - OCD	0.80	0.03	3.2	14
307 VIS photometry (arsenazo) - Abbott	0.85			1
308 VIS photometry (xylidyl blue/magonsulphonate)-Roche (Hit/Modular)	0.79	0.84		2
309 VIS photometry (xylidyl blue/magonsulphonate)-Sentinel	0.98			1
310 VIS photometry (xylidyl blue/magonsulphonate)-Siemens (Bayer)	0.80	0.01	1.9	10
316 VIS photometry (methylthymol blue)-Siemens (Dade) - Dimension Vista	0.88	0.04	4.6	7
318 Enzymatic methods - Abbott	0.81	0.01	1.8	23
400 VIS photometry (chlorophosphonazo III)-Roche (Cobas Integra 400/400 plus)	0.84			1
404 VIS photometry (chlorophosphonazo III)-Roche (Cobas 6000/8000 c501/c502)	0.79	0.83	0.84	4
406 VIS photometry (xylidyl blue/magonsulphonate)-Roche (Cobas 6000/8000 c501/c502)	0.84	0.01	1.8	52
<del>407 VIS photometry (xylidyl blue/magonsulphonate)-Roche (Cobas 8000 c701/c702)</del>	<del>0.83</del>	<del>0.01</del>	<del>1.4</del>	<del>39</del>
407 VIS photometry (xylidyl blue/magonsulphonate)-Roche (Cobas 8000 c701/c702)	0.83	<b>0.02*</b>	<b>1.9</b>	39
Global results (all methods and all measuring systems)	0.83	0.03	3.6	166

\*De robuuste standaarddeviatie die gewoonlijk wordt gebruikt voor de EKE berekeningen wordt vervangen door de klassieke standaarddeviatie formule na verwijdering van de eventuele "uitschieters" door Grubb's-test in deze peergroep voor de magnesium-resultaten van de gebruikers van methode 407 VIS photometry (xylidyl blue/magonsulphonate)-Roche (Cobas 8000 c701/c702)., voor het staal C/15242 van deze enquête.



Data out of graph

Method	Value
310	= 0.75 mmol/L
316	= 0.73 mmol/L
309	= 0.98 mmol/L
318	= 1.02 mmol/L

Aantal citaties voor de bepaling van magnesium: staal C/15241

Methode	Z-citatie	U-citatie
316 VIS photometry (methylthymol blue)-Siemens (Dade) - Dimension Vista	1	1
<del>318 Enzymatic methode - Abbott</del>	<del>6</del>	<del>4</del>
318 Enzymatic methods - Abbott	1	1
407 VIS photometry (xylidyl blue/magonsulphonate)-Roche (Cobas 8000 c701/c702)	1	0

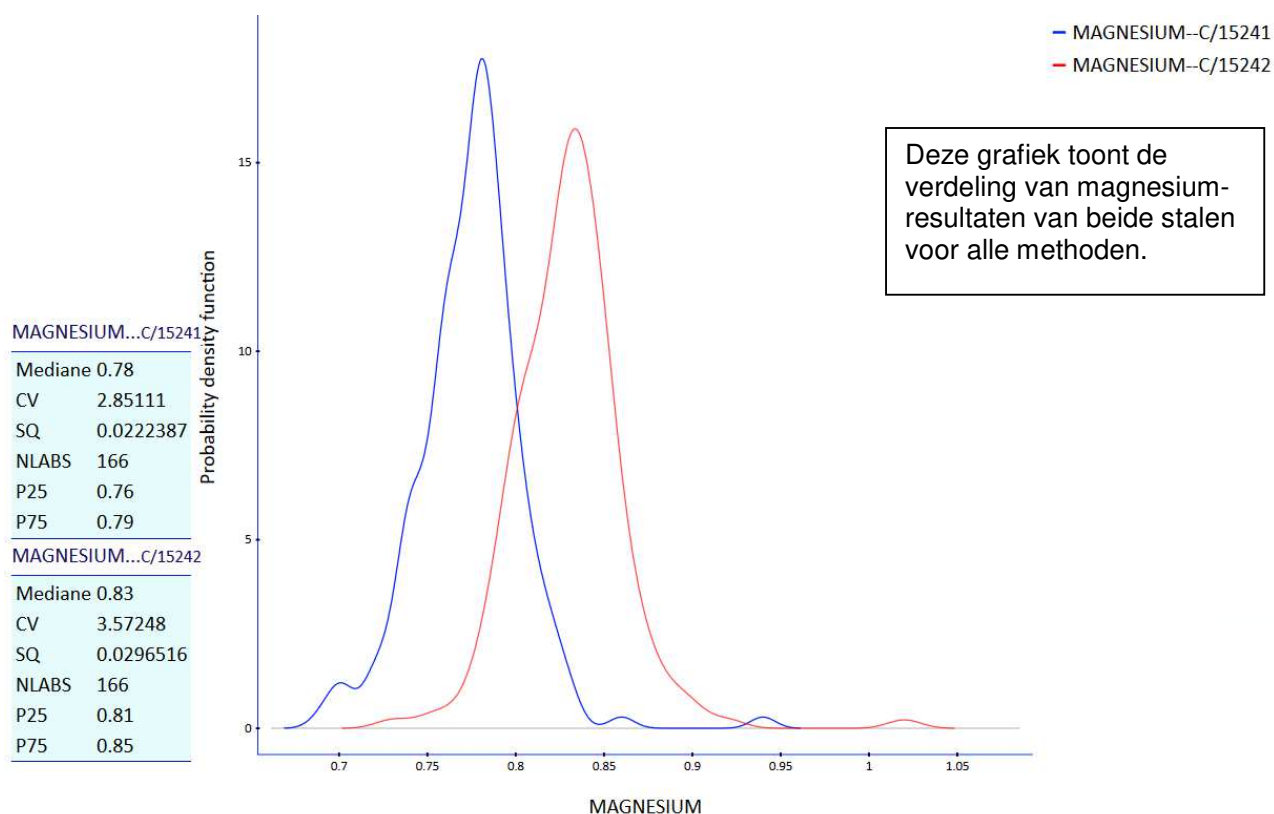
*De herberekende standaarddeviatie bekomen door de klassieke formule laat toe om de z-citaties bekomen door de gebruikers van de methode 318 te verminderen.*

Aantal citaties voor de bepaling van magnesium: staal C/15242

Methode	Z-citatie	U-citatie
303 VIS photometry (xylidyl blue/magonsulphonate)-Olympus	2	0
310 VIS photometry (xylidyl blue/magonsulphonate)-Siemens (Bayer)	3	1
316 VIS photometry (methylthymol blue)-Siemens (Dade) - Dimension Vista	1	1
318 Enzymatic methods - Abbott	2	1
<del>407 VIS photometry (xylidyl blue/magonsulphonate) Roche (Cobas 8000 c701/c702)</del>	<del>2</del>	<del>0</del>
407 VIS photometry (xylidyl blue/magonsulphonate)-Roche (Cobas 8000 c701/c702)	0	0

*De herberekende standaarddeviatie bekomen door de klassieke formule laat toe om de z-citaties bekomen door de gebruikers van de methode 407 te verwijderen.*

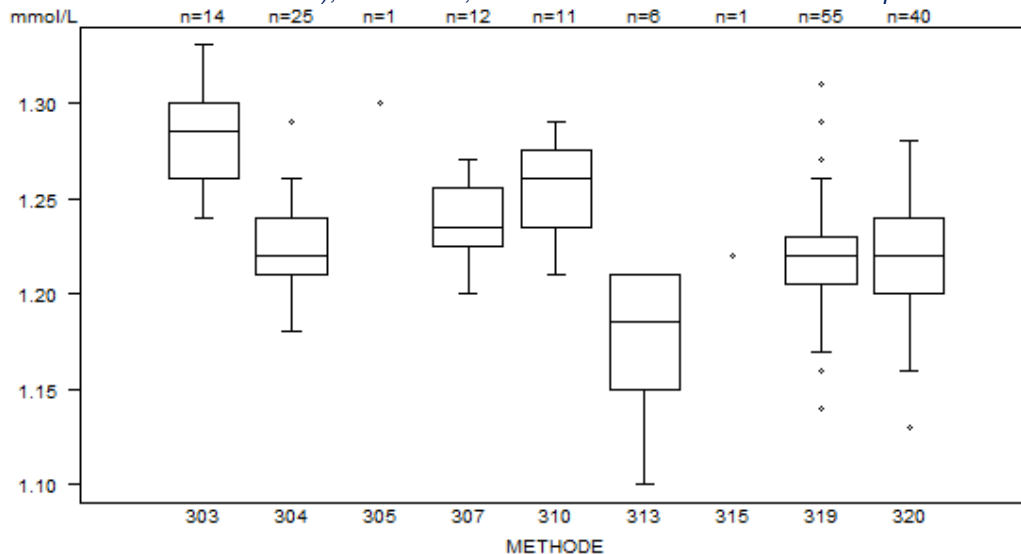
Kernel densiteitsschatting van alle methoden voor magnesium-resultaten voor beide stalen



FOSFOR - d (%) : 7.4	C/15241			
	Median mmol/L	SD mmol/L	CV %	N
303 Reflectometry - OCD	<b>1.29</b>	0.03	2.3	14
304 Unreduced phosphomolyb./ UV-Abbott	1.22	0.02	1.8	25
305 Unreduced phosphomolyb./ UV-Coulter (Beckman)		1.30		1
307 Unreduced phosphomolyb./ UV-Olympus	1.24	0.02	1.8	12
310 Unreduced phosphomolyb./ UV-Siemens (Bayer)	1.26	0.03	2.4	11
313 Unreduced phosphomolyb./ UV-Siemens (Dade) - Dimension Vista	<b>1.19</b>	0.04	3.8	6
315 Unreduced phosphomolyb./ UV-Roche (Cobas Integra 400/400 plus)		1.22		1
<del>319 Unreduced phosphomolyb./ UV-Roche (Cobas 6000/8000 c501/c502)</del>	<del>1.22</del>	<del>0.02</del>	<del>1.5</del>	<del>55</del>
319 Unreduced phosphomolyb./ UV-Roche (Cobas 6000/8000 c501/c502)	1.22	<b>0.03*</b>	<b>2.2</b>	55
320 Unreduced phosphomolyb./ UV-Roche (Cobas 8000 c701/c702)	1.22	0.03	2.4	40
Global results (all methods and all measuring systems)	1.23	0.03	2.4	165

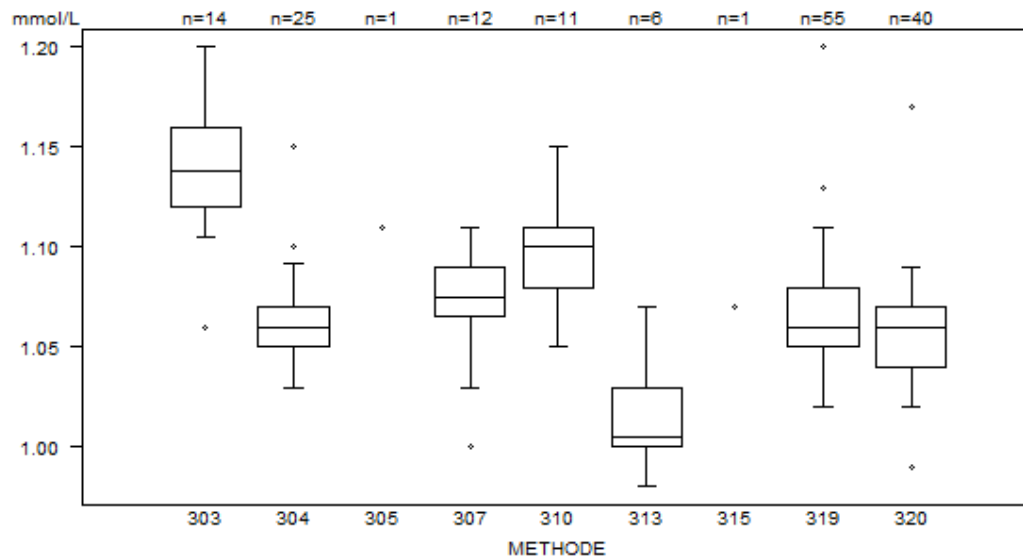


*\*De robuuste standaarddeviatie die gewoonlijk wordt gebruikt voor de EKE berekeningen wordt vervangen door de klassieke standaarddeviatie formule na verwijdering van de eventuele "uitschieters" door Grubb's-test in deze peergroep voor de fosfor- resultaten van de gebruikers van methode 319 Unreduced phosphomolyb./ UV-Roche (Cobas 6000/8000 c501/c502), CV = 1.5%, voor het staal C/15241 van deze enquête.*



*We bemerken een negatieve bias voor de fosfor-resultaten bekomen door de gebruikers van methode 313 Unreduced phosphomolyb./ UV-Siemens (Dade) - Dimension Vista en een positieve bias voor deze bekomen door de methode 303 Reflectometry – OCD voor beide stalen.*

METHODE	C/15242			
	Median mmol/L	SD mmol/L	CV %	N
303 Reflectometry - OCD	1.14	0.03	2.6	14
304 Unreduced phosphomolyb./ UV-Abbott	1.06	0.01	1.4	25
305 Unreduced phosphomolyb./ UV-Coulter (Beckman)		1.11		1
307 Unreduced phosphomolyb./ UV-Olympus	1.08	0.02	1.7	12
310 Unreduced phosphomolyb./ UV-Siemens (Bayer)	1.10	0.02	2.0	11
313 Unreduced phosphomolyb./ UV-Siemens (Dade) - Dimension Vista	1.01	0.02	2.2	6
315 Unreduced phosphomolyb./ UV-Roche (Cobas Integra 400/400 plus)		1.07		1
319 Unreduced phosphomolyb./ UV-Roche (Cobas 6000/8000 c501/c502)	1.06	0.02	2.1	55
320 Unreduced phosphomolyb./ UV-Roche (Cobas 8000 c701/c702)	1.06	0.02	2.1	40
Global results (all methods and all measuring systems)	1.06	0.03	2.8	165



Aantal citaties voor de bepaling van fosfor: Staal C/15241

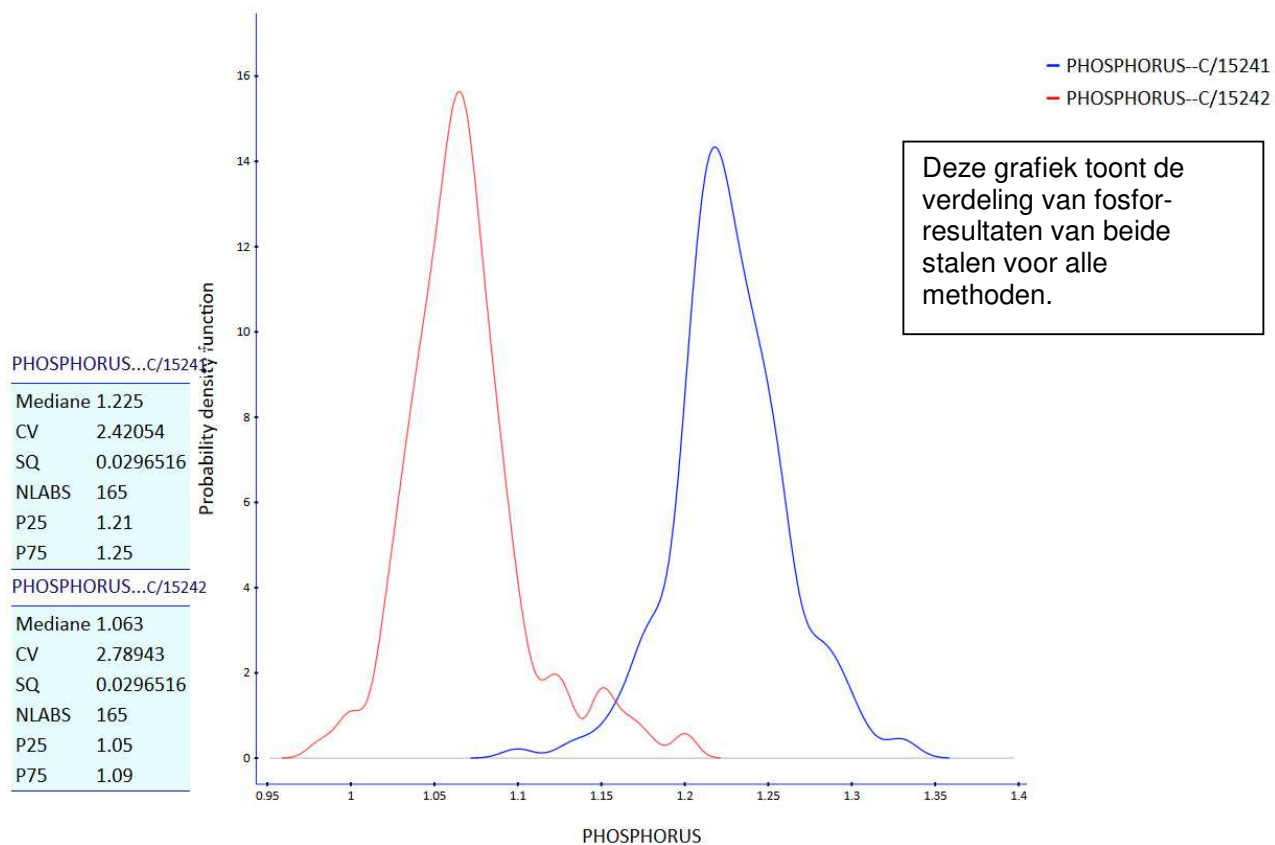
Methode	Z-citatie	U-citatie
304 Unreduced phosphomolyb./ UV-Abbott	1	0
<del>319 Unreduced phosphomolyb./ UV-Roche (Cobas 6000/8000 c501/c502)</del>	<del>5</del>	<del>0</del>
319 Unreduced phosphomolyb./ UV-Roche (Cobas 6000/8000 c501/c502)	1	0
320 Unreduced phosphomolyb./ UV-Roche (Cobas 8000 c701/c702)	1	0

*De herberekende standaarddeviatie bekomen door de klassieke formule laat toe om de z-citatie van de methode 319 te verminderen.*

Aantal citaties voor de bepaling van fosfor: Staal C/15242

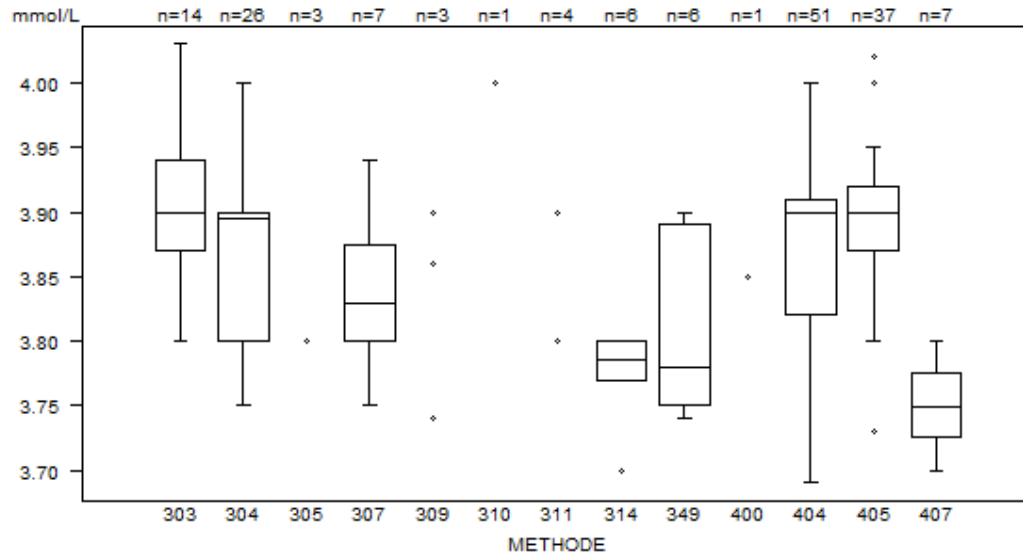
Methode	Z-citatie	U-citatie
304 Unreduced phosphomolyb./ UV-Abbott	1	1
307 Unreduced phosphomolyb./ UV-Olympus	1	0
319 Unreduced phosphomolyb./ UV-Roche (Cobas 6000/8000 c501/c502)	2	1
320 Unreduced phosphomolyb./ UV-Roche (Cobas 8000 c701/c702)	2	1

Kernel densiteitsschatting van alle methoden voor fosfor-resultaten voor beide stalen



METHODE	C/15241			
	Median mmol/L	SD mmol/L	CV %	N
303 Direct potentiometry - OCD	3.90	0.05	1.3	14
304 Indirect potentiometry - Abbott	3.90	0.07	1.9	26
305 Indirect potentiometry - Coulter (Beckman)	3.80	3.80	3.80	3
307 Indirect potentiometry - Olympus	3.83	0.06	1.5	7
309 Indirect potentiometry - Roche (Hit/Modular)	3.74	3.86	3.90	3
310 Indirect potentiometry - Siemens (Dade)		4.00		1
311 Indirect potentiometry - Siemens (Bayer)	3.80 3.90	3.80	3.90	4
314 Indirect potentiometry - Siemens (Dade) - Dimension Vista	3.79	0.02	0.6	6
349 Direct potentiometry - Other	3.78	0.10	2.7	6
400 Indirect potentiometry - Roche (Cobas Integra 400/400 plus)		3.85		1
404 Indirect potentiometry - Roche (Cobas 6000 c501)	3.90	0.07	1.7	51
405 Indirect potentiometry - Roche (Cobas 8000 ISE c701/c702)	3.90	0.04	1.0	37
407 Indirect IMT - Siemens (Bayer)	3.75	0.04	1.0	7
Global results (all methods and all measuring systems)	3.89	0.07	1.9	166

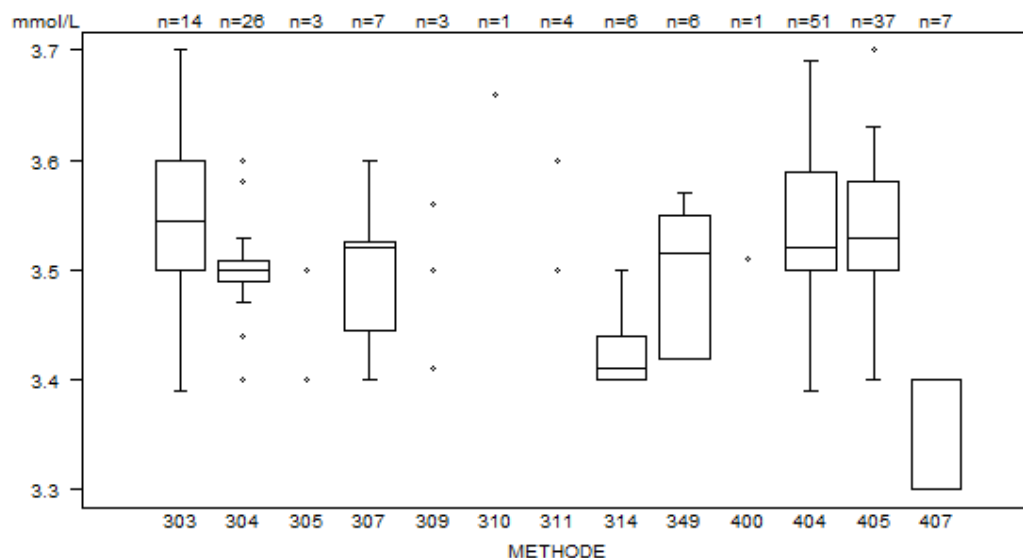
De analyse van de stabiliteit volgens de bekomen kalium-resultaten voor het staal C/15241 van deze enquête is niet bevredigend, er is een trend waarbij z-citaties toenemen in functie van de dag van de analyse. Deze parameter zal niet geëvalueerd worden (Spearman-correlatie, P-waarde = 0.031).



Data out of graph  
Method Value  
407 = 3.6 mmol/L  
404 = 4.1 mmol/L  
404 = 4.05 mmol/L

METHODE	C/15242			
	Median mmol/L	SD mmol/L	CV %	N
303 Direct potentiometry - OCD	3.55	0.07	2.1	14
<del>304 Indirect potentiometry - Abbott</del>	<del>3.50</del>	<del>0.01</del>	<del>0.4</del>	<del>26</del>
304 Indirect potentiometry - Abbott	3.49	<b>0.06*</b>	<b>1.6</b>	26
305 Indirect potentiometry - Coulter (Beckman)	3.40	3.40	3.50	3
307 Indirect potentiometry - Olympus	3.52	0.06	1.7	7
309 Indirect potentiometry - Roche (Hit/Modular)	3.41	3.50	3.56	3
310 Indirect potentiometry - Siemens (Dade)		3.66		1
311 Indirect potentiometry - Siemens (Bayer)	3.50 3.60	3.50	3.50	4
314 Indirect potentiometry - Siemens (Dade) - Dimension Vista	<b>3.41</b>	0.03	0.9	6
349 Direct potentiometry - Other	3.52	0.10	2.7	6
400 Indirect potentiometry - Roche (Cobas Integra 400/400 plus)		3.51		1
404 Indirect potentiometry - Roche (Cobas 6000 c501)	3.52	0.07	1.9	51
405 Indirect potentiometry - Roche (Cobas 8000 ISE c701/c702)	3.53	0.06	1.7	37
407 Indirect IMT - Siemens (Bayer)	<b>3.40</b>	0.07	2.2	7
Global results (all methods and all measuring systems)	3.50	0.05	1.5	166

*\*De robuuste standaarddeviatie die gewoonlijk wordt gebruikt voor de EKE berekeningen wordt vervangen door de klassieke standaarddeviatie formule na verwijdering van de eventuele "uitschieters" door Grubb's-test in deze peergroep voor de kalium resultaten van de gebruikers van methode 304 Indirect potentiometry - Abbott, CV = 0.4% ; voor het staal C/15242 van deze enquête.*



Aantal citaties voor de bepaling van kalium: Staal C/15241

Methode	Z-citatie	U-citatie
<del>314 Indirect potentiometry - Siemens (Dade) - Dimension Vista</del>	<del>1</del>	<del>0</del>
<del>404 Indirect potentiometry - Roche (Cobas 6000 c501)</del>	<del>1</del>	<del>2</del>
<del>405 Indirect potentiometry - Roche (Cobas 8000 ISE c701/c702)</del>	<del>2</del>	<del>0</del>
<del>407 Indirect IMT - Siemens (Bayer)</del>	<del>1</del>	<del>0</del>

Deze parameter zal niet geëvalueerd worden gezien de toenemende trend van de z-citaties met betrekking tot de dag van analyse.

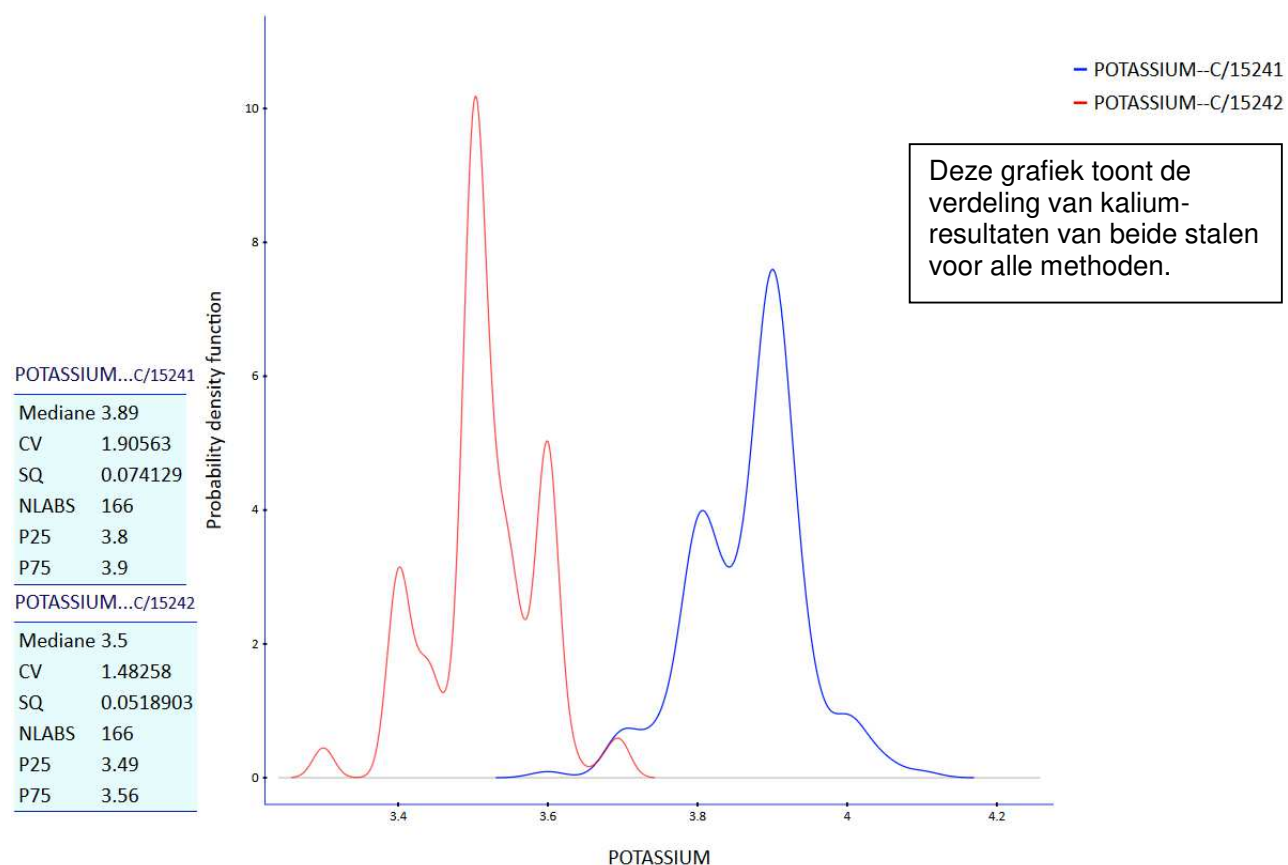


Aantal citaties voor de bepaling van kalium: Staal C/15242

Methode	Z-citatie	U-citatie
<del>304 Indirect potentiometry - Abbott</del>	<del>10</del>	<del>0</del>
304 Indirect potentiometry - Abbott	0	0
314 Indirect potentiometry - Siemens (Dade) - Dimension Vista	1	0
404 Indirect potentiometry - Roche (Cobas 6000 c501)	0	1
405 Indirect potentiometry - Roche (Cobas 8000 ISE c701/c702)	0	1

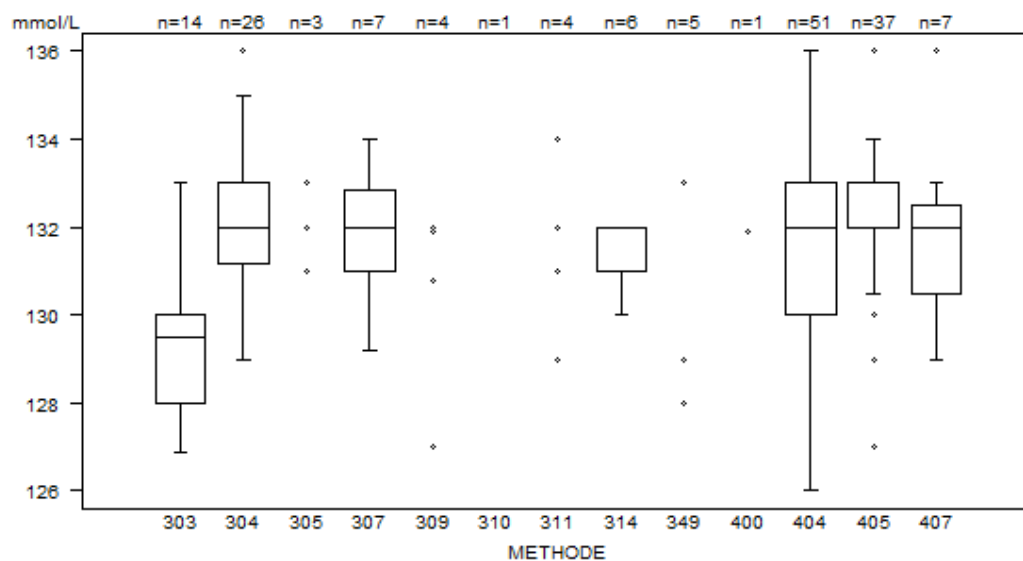
De herberekende standaarddeviatie bekomen door de klassieke formule laat toe om de z-citatie van de methode 304 te verwijderen.

Kernel densiteitsschatting van alle methoden voor kalium-resultaten voor beide stalen



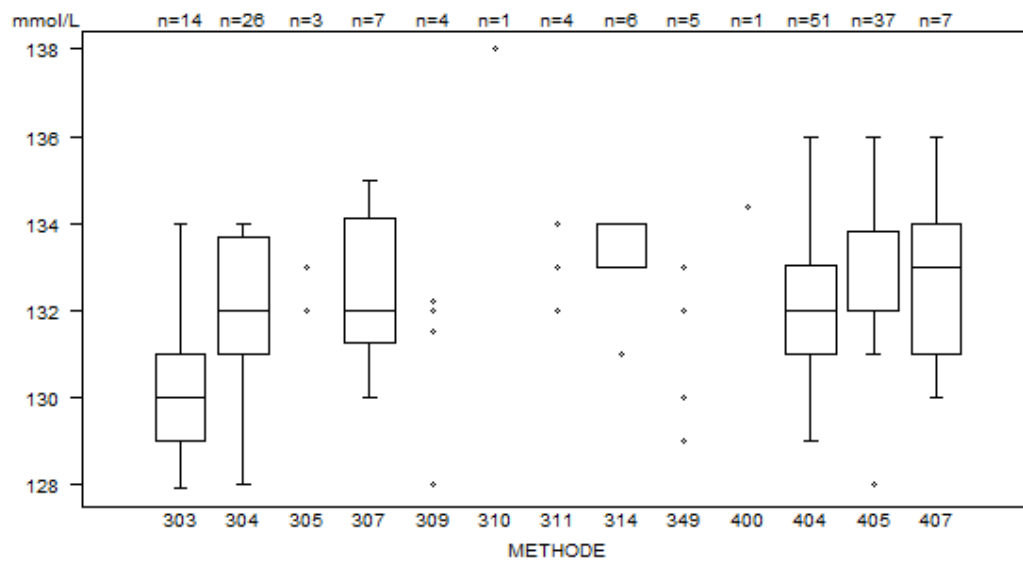
NATRIUM - d (%) : 3.4	C/15241			
	METHODE	Median mmol/L	SD mmol/L	CV %
303 Direct potentiometry - OCD	129.50	1.48	1.1	14
304 Indirect potentiometry - Abbott	132.00	1.34	1.0	26
305 Indirect potentiometry - Coulter (Beckman)	131.00	132.00	133.00	3
307 Indirect potentiometry - Olympus	132.00	1.37	1.0	7
309 Indirect potentiometry - Roche (Hit/Modular)	127.00 132.00	130.80	131.90	4
310 Indirect potentiometry - Siemens (Dade)		137.30		1
311 Indirect potentiometry - Siemens (Bayer)	129.00 134.00	131.00	132.00	4
314 Indirect potentiometry - Siemens (Dade) - Dimension Vista	132.00	0.74	<b>0.6</b>	6
349 Direct potentiometry - Other	128.00 133.00	128.00 133.00	129.00	5
400 Indirect potentiometry - Roche (Cobas Integra 400/400 plus)		131.90		1
404 Indirect potentiometry - Roche (Cobas 6000 c501)	132.00	2.22	1.7	51
<del>405 Indirect potentiometry - Roche (Cobas 8000 ISE c701/c702)</del>	<del>133.00</del>	<del>0.74</del>	<del>0.6</del>	<del>37</del>
405 Indirect potentiometry - Roche (Cobas 8000 ISE c701/c702)	132.41	<b>1.29*</b>	<b>1.0</b>	37
407 Indirect IMT - Siemens (Bayer)	132.00	1.48	1.1	7
Global results (all methods and all measuring systems)	132.00	2.08	1.6	166

*\*De robuuste standaarddeviatie die gewoonlijk wordt gebruikt voor de EKE berekeningen wordt vervangen door de klassieke standaarddeviatie formule na verwijdering van de eventuele "uitschieters" door Grubb's-test in deze peergroep voor de natrium resultaten van de gebruikers van methode 405 Indirect potentiometry - Roche (Cobas 8000 ISE c701/c702), CV = 0.6% voor het staal C/15241 van deze enquête.*



Data out of graph  
Method Value  
404 = 1.31 mmol/L  
310 = 137.3 mmol/L

NATRIUM - d (%) : 3.4	C/15242			
	METHODE	Median mmol/L	SD mmol/L	CV %
303 Direct potentiometry - OCD	130.00	1.48	1.1	14
304 Indirect potentiometry - Abbott	132.00	2.00	1.5	26
305 Indirect potentiometry - Coulter (Beckman)	132.00	132.00	133.00	3
307 Indirect potentiometry - Olympus	132.00	2.11	1.6	7
309 Indirect potentiometry - Roche (Hit/Modular)	128.00 132.20	131.50	132.00	4
310 Indirect potentiometry - Siemens (Dade)		138.00		1
311 Indirect potentiometry - Siemens (Bayer)	132.00 134.00	132.00	133.00	4
314 Indirect potentiometry - Siemens (Dade) - Dimension Vista	133.00	0.74	<b>0.6</b>	6
349 Direct potentiometry - Other	129.00 132.00	130.00 133.00	132.00	5
400 Indirect potentiometry - Roche (Cobas Integra 400/400 plus)		134.40		1
404 Indirect potentiometry - Roche (Cobas 6000 c501)	132.00	1.52	1.2	51
405 Indirect potentiometry - Roche (Cobas 8000 ISE c701/c702)	132.00	1.33	1.0	37
407 Indirect IMT - Siemens (Bayer)	133.00	2.22	1.7	7
Global results (all methods and all measuring systems)	132.00	1.71	1.3	166



Data out of graph  
Method Value  
404 = 126 mmol/L  
405 = 126 mmol/L

Aantal citaties voor de bepaling van natrium: Staal C/15241

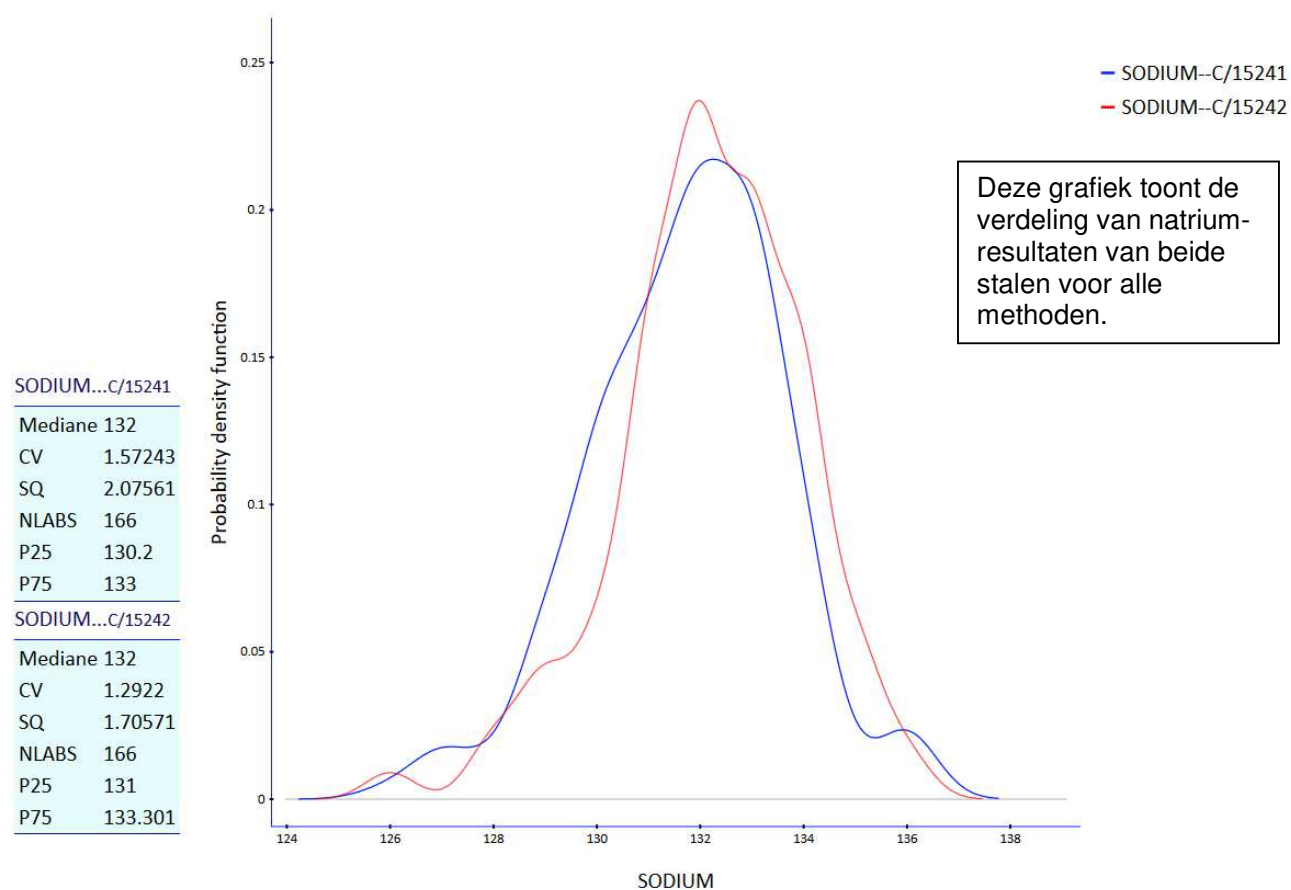
Methode	Z-citatie	U-citatie
404 Indirect potentiometry - Roche (Cobas 6000 c501)	1	2
<del>405 Indirect potentiometry - Roche (Cobas 8000 ISE c701/c702)</del>	<del>7</del>	<del>2</del>
405 Indirect potentiometry - Roche (Cobas 8000 ISE c701/c702)	2	2

*De herberekende standaarddeviatie bekomen door de klassieke formule laat toe om de z-citatie bekomen door de gebruikers van methode 405 te verminderen.*

Aantal citaties voor de bepaling van natrium: Staal C/15242

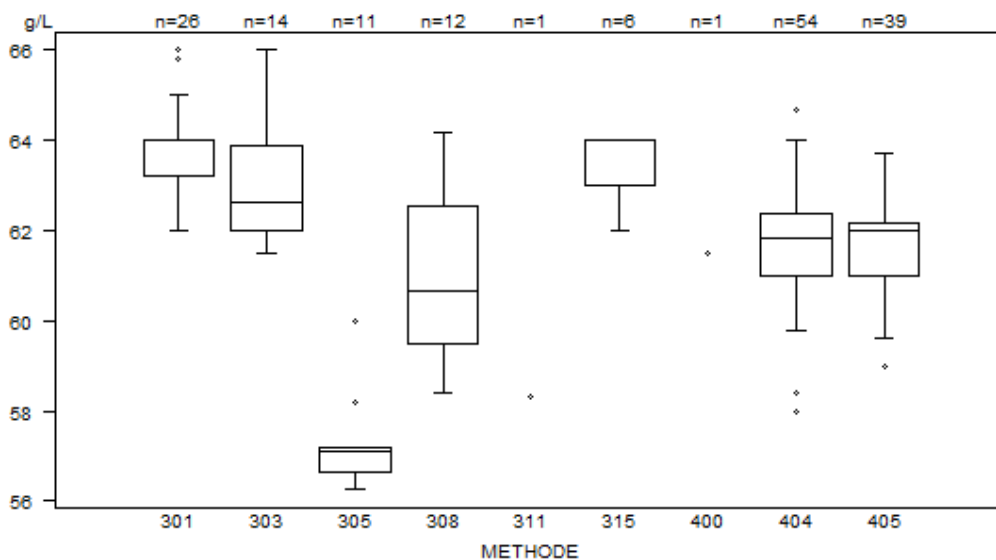
Methode	Z-citatie	U-citatie
404 Indirect potentiometry - Roche (Cobas 6000 c501)	1	1
405 Indirect potentiometry - Roche (Cobas 8000 ISE c701/c702)	1	1

Kernel densiteitsschatting van alle methoden voor natrium-resultaten voor beide stalen



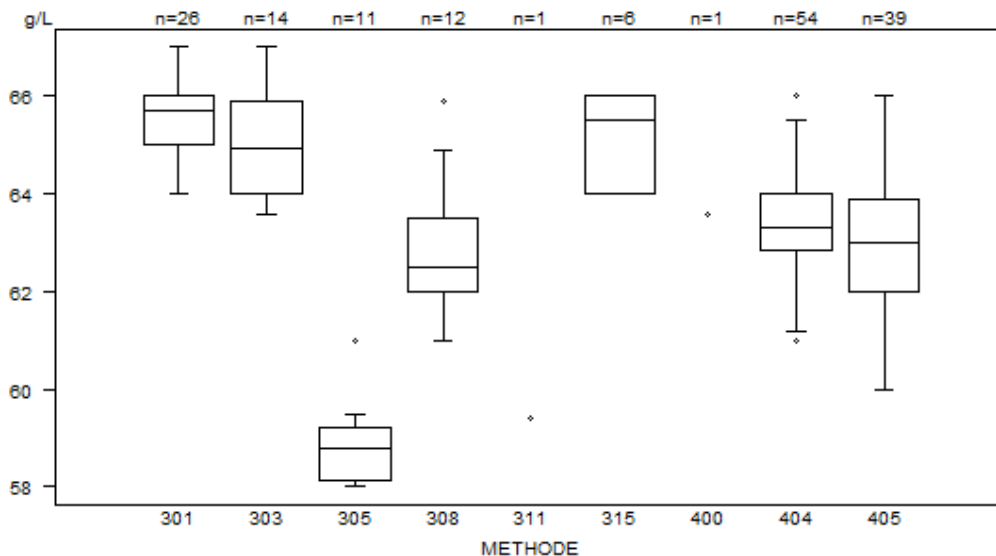
TOTALE PROTEÏNEN - d (%) : 6.8	C/15241			
METHODE	Median g/L	SD g/L	CV %	N
<del>301 VIS photometry - Biuret without blank - Abbott</del>	<del>64.00</del>	<del>0.59</del>	<del>0.9</del>	<del>26</del>
301 VIS photometry - Biuret without blank-Abbott	63.80	<b>0.97*</b>	<b>1.5</b>	26
303 Reflectance photometry - OCD	62.65	1.41	2.2	14
305 VIS photometry - Biuret with blank-Siemens (Bayer)	<b>57.10</b>	0.41	0.7	11
308 VIS photometry - Biuret with blank-Olympus	60.65	2.26	3.7	12
311 VIS photometry - Biuret without blank (Beckman)	58.30			1
315 VIS photometry - Biuret with blank-Siemens (Dade) - Dimension Vista	63.00	0.74	1.2	6
400 VIS photometry - Biuret with blank-Roche (Cobas Integra 400/400 plus)	61.50			1
404 VIS photometry - Biuret with blank-Roche (Cobas 6000/8000 c501/c502)	61.85	1.04	1.7	54
405 VIS photometry - Biuret with blank-Roche (Cobas 8000 c701/c702)	62.00	0.85	1.4	39
Global results (all methods and all measuring systems)	62.00	1.48	2.4	164

*\*De robuuste standaarddeviatie die gewoonlijk wordt gebruikt voor de EKE berekeningen wordt vervangen door de klassieke standaarddeviatie formule na verwijdering van de eventuele "uitschieters" door Grubb's-test in deze peergroep voor de totale proteïnen resultaten van de gebruikers van methode 301 VIS photometry - Biuret without blank-Abbott, voor het staal C/15241 van deze enquête.*



*We bemerken een negatieve bias voor de totale proteïnen resultaten bekomen door de gebruikers van methode 305 VIS photometry - Biuret with blank-Siemens (Bayer) Vista voor beide stalen.*

METHODE	C/15242			
	Median g/L	SD g/L	CV %	N
301 VIS photometry - Biuret without blank-Abbott	65.69	0.74	1.1	26
303 Reflectance photometry - OCD	64.95	1.41	2.2	14
305 VIS photometry - Biuret with blank-Siemens (Bayer)	<b>58.80</b>	0.79	1.3	11
308 VIS photometry - Biuret with blank-Olympus	62.50	1.11	1.8	12
311 VIS photometry - Biuret without blank (Beckman)	59.40			1
315 VIS photometry - Biuret with blank-Siemens (Dade) - Dimension Vista	65.50	1.48	2.3	6
400 VIS photometry - Biuret with blank-Roche (Cobas Integra 400/400 plus)	63.60			1
404 VIS photometry - Biuret with blank-Roche (Cobas 6000/8000 c501/c502)	63.30	0.87	1.4	54
405 VIS photometry - Biuret with blank-Roche (Cobas 8000 c701/c702)	63.00	1.41	2.2	39
Global results (all methods and all measuring systems)	63.64	2.04	3.2	164



Data out of graph  
Method Value  
301 = 67.9 g/L

Aantal citaties voor de bepaling van totale proteïnen: Staal C/15241

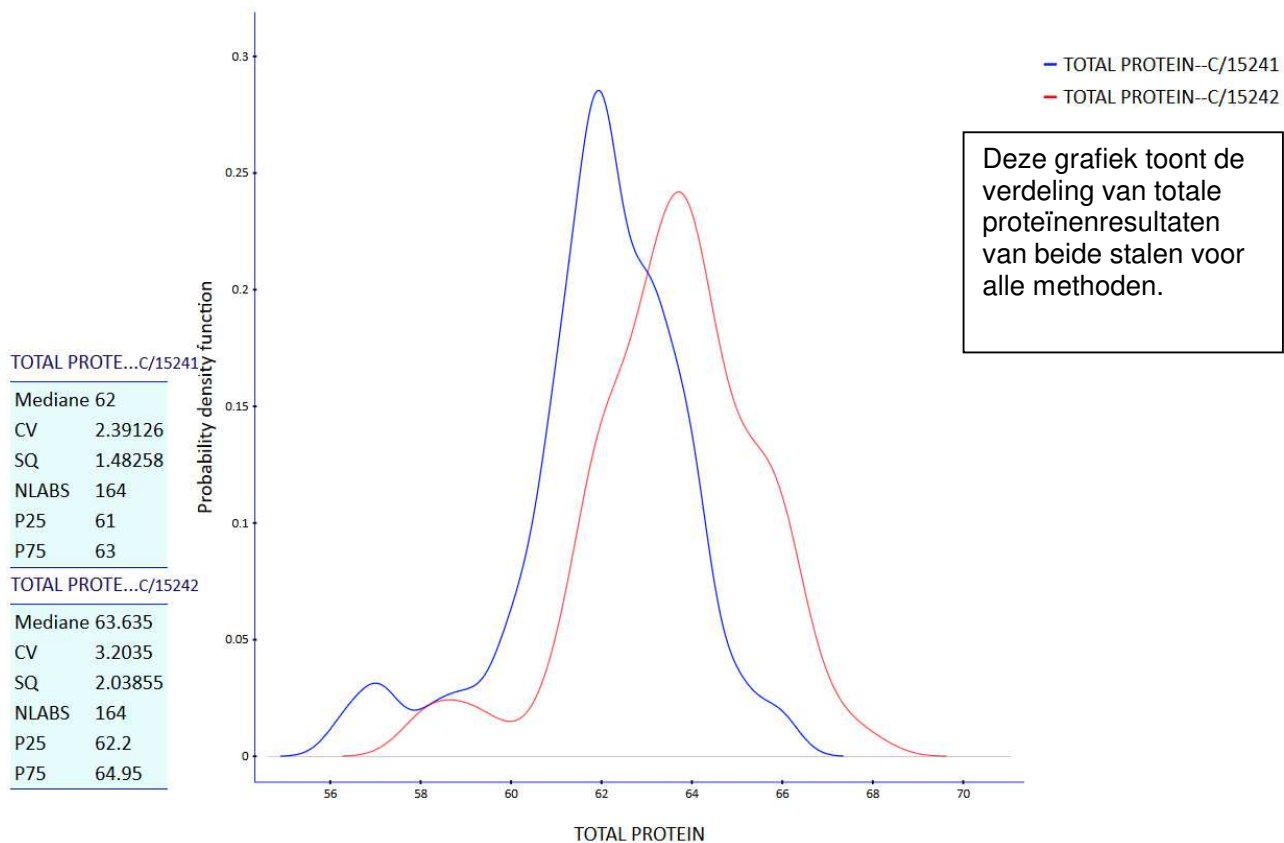
Methode	Z-citatie	U-citatie
<del>301 VIS photometry - Biuret without blank-Abbott</del>	<del>4</del>	<del>0</del>
301 VIS photometry - Biuret without blank-Abbott	0	0
305 VIS photometry - Biuret with blank-Siemens (Bayer)	1	0
404 VIS photometry - Biuret with blank-Roche (Cobas 6000/8000 c501/c502)	2	0
405 VIS photometry - Biuret with blank-Roche (Cobas 8000 c701/c702)	2	0

*De herberekende standaarddeviatie bekomen door de klassieke formule laat toe om de z-citaties bekomen door de gebruikers van de methode 301 te verwijderen.*

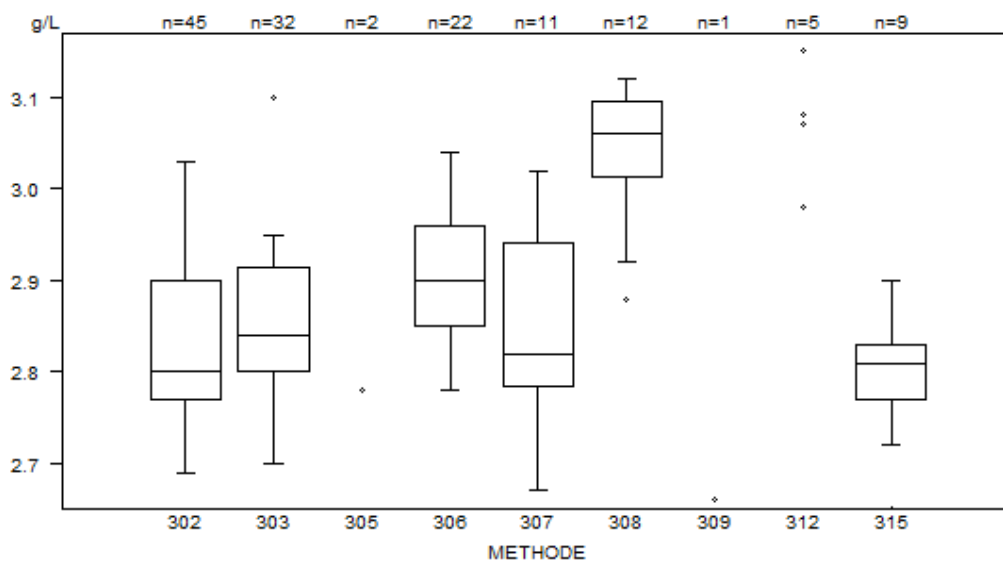
Aantal citaties voor de bepaling van totale proteïnen: Staal C/15242

Methode	Z-citatie	U-citatie
308 VIS photometry - Biuret with blank-Olympus	1	0
404 VIS photometry - Biuret with blank-Roche (Cobas 6000/8000 c501/c502)	2	0

Kernel densiteitsschatting van alle methoden voor totale proteïnen resultaten voor beide stalen



<b>TRANSFERRINE - d (%) : 5.7</b>	<b>C/15241</b>			
METHODE	Median g/L	SD g/L	CV %	N
302 Immunoturbidimetry - Roche (Cobas c501/c502)	2.80	0.10	3.4	45
303 Immunoturbidimetry - Roche (Cobas c701/c702)	2.84	0.09	3.0	32
305 Immunoturbidimetry - Roche (Hitachi/Modular)	2.58 2.78			2
306 Immunoturbidimetry - Abbott	2.90	0.08	2.8	22
307 Immunoturbidimetry - Olympus/ Diagam	2.82	0.11	4.1	11
308 Immunoturbidimetry - OCD (Vitros)	3.06	0.06	2.0	12
309 Immunoturbidimetry - Beckman/Analys	2.66			1
312 Immunoturbidimetry - Dimension Vista	2.98 3.08	2.98 3.15	3.07	5
315 Immunoturbidimetry - Siemens-Bayer	2.81	0.04	1.6	9
Global results (all methods and all measuring systems)	2.85	0.11	4.0	139



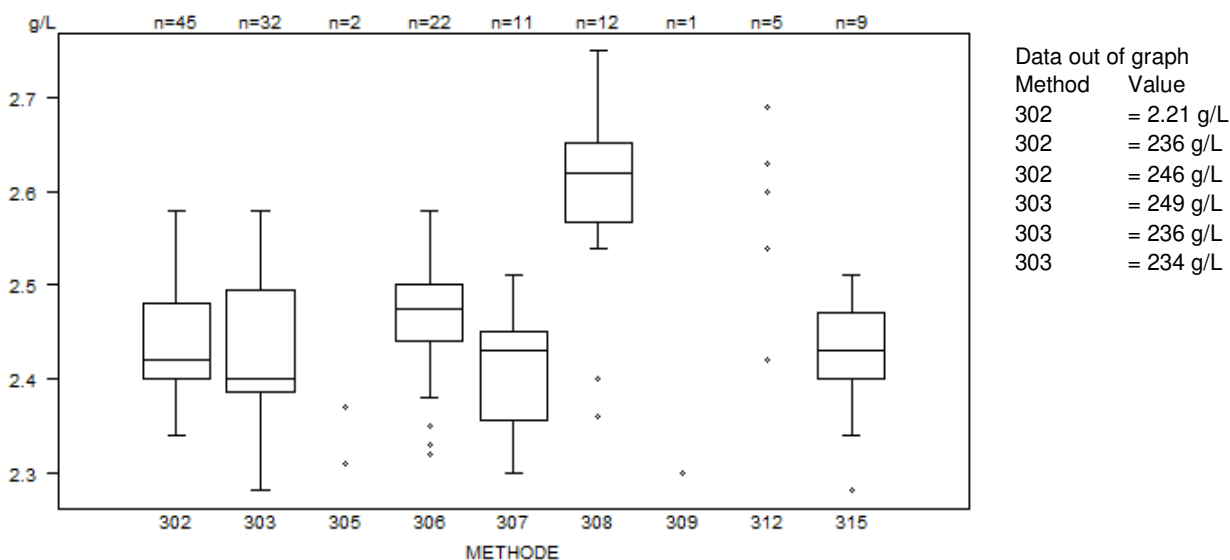
*We bemerken eenheidsfouten voor de rapportering van transferrine resultaten.*

Data out of graph

Method	Value
305	= 2.58 g/L
306	= 2.64 g/L
315	= 2.65 g/L
302	= 280 g/L
302	= 287 g/L
303	= 292 g/L
303	= 280 g/L
303	= 283 g/L
303	= 3.21 g/L
308	= 3.24 g/L
315	= 289 g/L



METHODE	C/15242			
	Median g/L	SD g/L	CV %	N
302 Immunoturbidimetry - Roche (Cobas c501/c502)	2.42	0.06	2.5	45
303 Immunoturbidimetry - Roche (Cobas c701/c702)	2.40	0.08	3.4	32
305 Immunoturbidimetry - Roche (Hitachi/Modular)	2.31 2.37			2
306 Immunoturbidimetry - Abbott	2.48	0.04	1.8	22
307 Immunoturbidimetry - Olympus/ Diagam	2.43	0.07	2.9	11
308 Immunoturbidimetry - OCD (Vitros)	2.62	0.06	2.4	12
309 Immunoturbidimetry - Beckman/Analys	2.30			1
312 Immunoturbidimetry - Dimension Vista	2.42 2.63	2.54 2.69	2.60	5
315 Immunoturbidimetry - Siemens-Bayer	2.43	0.05	2.1	9
Global results (all methods and all measuring systems)	2.44	0.08	3.2	139



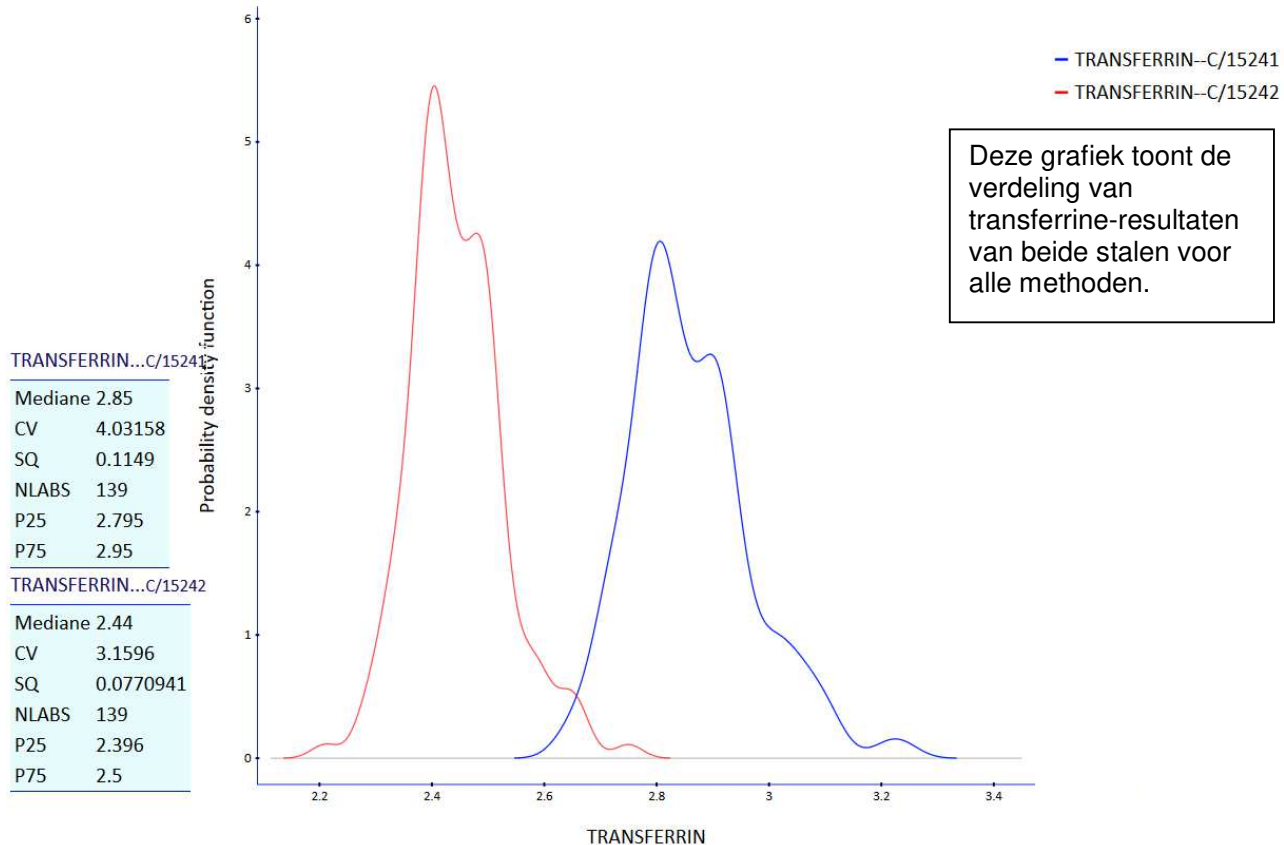
Aantal citaties voor de bepaling van transferrine: Staal C/15241

Methode	Z-citatie	U-citatie
302 Immunoturbidimetry - Roche (Cobas c501/c502)	2	5
303 Immunoturbidimetry - Roche (Cobas c701/c702)	5	5
306 Immunoturbidimetry - Abbott	1	1
307 Immunoturbidimetry - Olympus/ Diagam	0	2
308 Immunoturbidimetry - OCD (Vitros)	0	2
315 Immunoturbidimetry - Siemens-Bayer	2	1

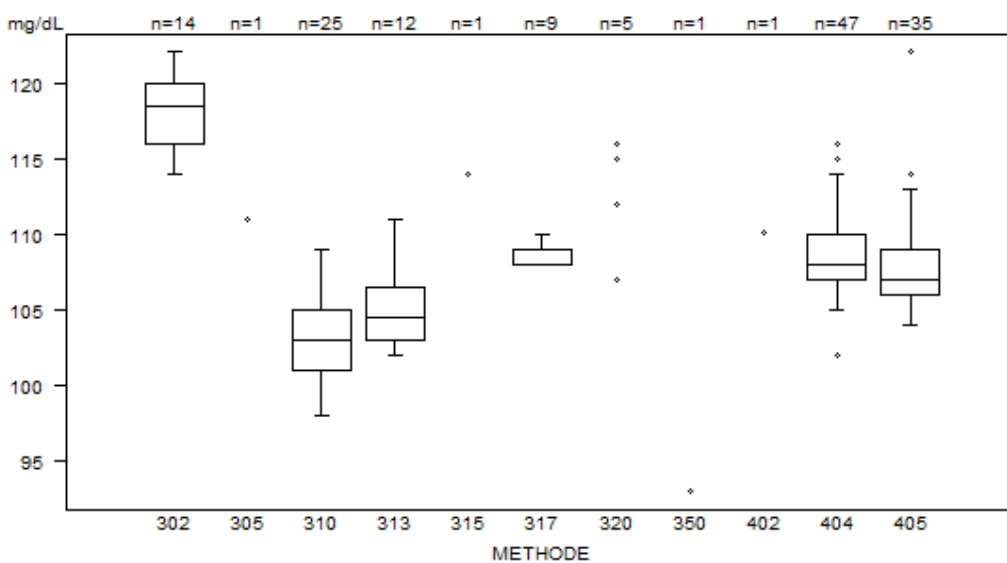
Aantal citaties voor de bepaling van transferrine: Staal C/15242

Methode	Z-citatie	U-citatie
302 Immunoturbidimetry - Roche (Cobas c501/c502)	3	4
303 Immunoturbidimetry - Roche (Cobas c701/c702)	3	5
306 Immunoturbidimetry - Abbott	2	2
308 Immunoturbidimetry - OCD (Vitros)	2	2
315 Immunoturbidimetry - Siemens-Bayer	0	1

Kernel densiteitsschatting van alle methoden voor transferrine-resultaten voor beide stalen



TRIGLYCERIDEN - d (%) : 11.0	C/15241			
METHODE	Median mg/dL	SD mg/dL	CV %	N
302 Lipase/glycerol kinase - OCD	<b>118</b>	3	2.5	14
305 Esterase/GPO/PAP/kinetic (VIS) - Other	111			1
310 Esterase/GPO/PAP/kinetic (VIS) - Abbott	103	3	2.9	25
313 Lipase/GPO/PAP/kinetic (VIS) - Olympus	105	3	2.5	12
315 Esterase/GPO/PAP/kinetic (VIS) - Roche (Hit/Modular)	114			1
317 Esterase/GPO/PAP/kinetic (VIS) - Siemens (Bayer)	108	1	<b>0.7</b>	9
320 Lipase/GDH/NADH (UV) - Siemens (Dade) - Dimension Vista	107 116	112 116	115	5
350 Other methods/ With Glycerol correction	93			1
402 Esterase/GPO/PAP/kinetic (VIS) - Roche (Cobas Integra 400/400 plus)	110			1
404 Esterase/GPO/PAP/kinetic (VIS) - Roche (Cobas 6000/8000 c501/c502)	108	2	2.1	47
405 Esterase/GPO/PAP/kinetic (VIS) - Roche (Cobas 8000 c701/c702)	107	2	2.1	35
Global results (all methods and all measuring systems)	108	4	3.3	151

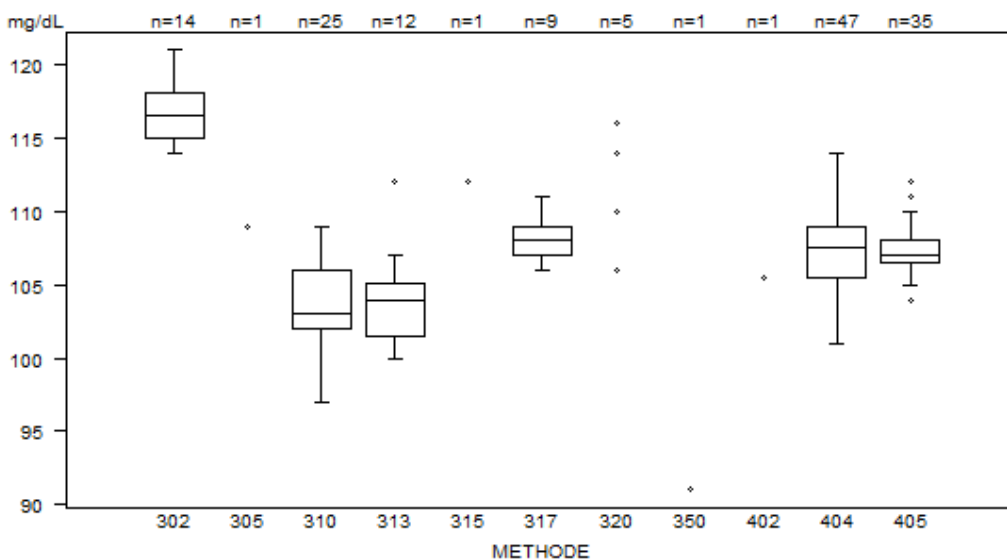


*We bemerken een positieve bias voor de triglyceriden resultaten bekomen door de gebruikers van methode 302 Lipase/glycerol kinase - OCD voor beide stalen.*

TRIGLYCERIDEN - d (%) : 11.0	C/15242			
	Median mg/dL	SD mg/dL	CV %	N
302 Lipase/glycerol kinase - OCD	117	2	2.0	14
305 Esterase/GPO/PAP/kinetic (VIS) - Other	109			1
310 Esterase/GPO/PAP/kinetic (VIS) - Abbott	103	3	2.9	25
313 Lipase/GPO/PAP/kinetic (VIS) - Olympus	104	3	2.5	12
315 Esterase/GPO/PAP/kinetic (VIS) - Roche (Hit/Modular)	112			1
317 Esterase/GPO/PAP/kinetic (VIS) - Siemens (Bayer)	108	1	1.4	9
320 Lipase/GDH/NADH (UV) - Siemens (Dade) - Dimension Vista	106 116	110 116	114	5
350 Other methods/ With Glycerol correction	91			1
402 Esterase/GPO/PAP/kinetic (VIS) - Roche (Cobas Integra 400/400 plus)	106			1
404 Esterase/GPO/PAP/kinetic (VIS) - Roche (Cobas 6000/8000 c501/c502)	108	3	2.4	47
<del>405 Esterase/GPO/PAP/kinetic (VIS) - Roche (Cobas 8000 c701/c702)</del>	<del>107</del>	<del>4</del>	<del>4.0</del>	<del>35</del>
405 Esterase/GPO/PAP/kinetic (VIS) - Roche (Cobas 8000 c701/c702)	107	2*	2.0	35
Global results (all methods and all measuring systems)	107	4	3.4	151



*\*De robuuste standaarddeviatie die gewoonlijk wordt gebruikt voor de EKE berekeningen wordt vervangen door de klassieke standaarddeviatie formule na verwijdering van de eventuele "uitschieters" door Grubb's-test in deze peergroep voor de triglyceriden resultaten van de gebruikers van methode 405 Esterase/GPO/PAP/kinetic (VIS) - Roche (Cobas 8000 c701/c702), voor het staal C/15242 van deze enquête.*



Data out of graph

Method Value  
 404 = 133 mg/dL  
 405 = 130 mg/dL

Aantal citaties voor de bepaling van triglyceriden: Staal C/15241

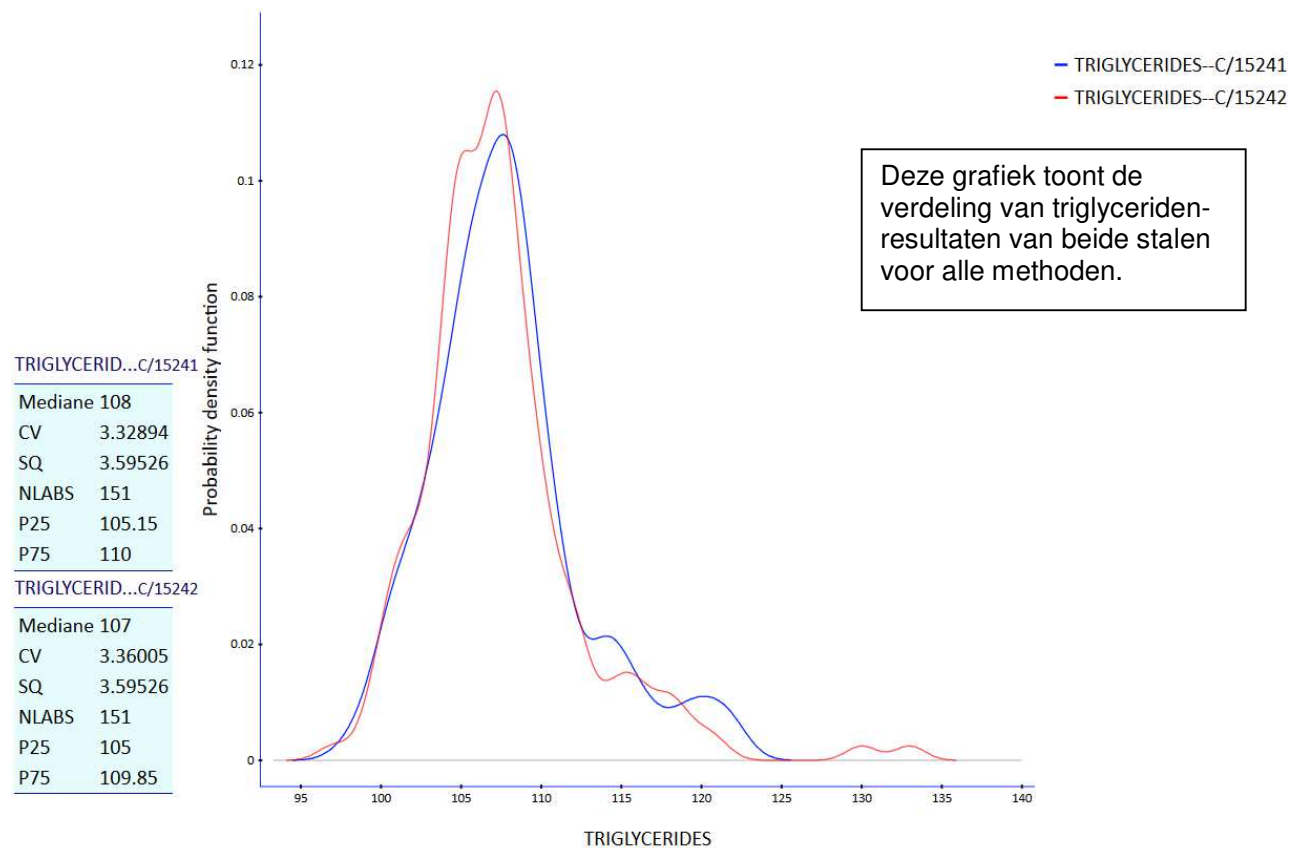
Methode	Z-citatie	U-citatie
404 Esterase/GPO/PAP/kinetic (VIS) - Roche (Cobas 6000/8000 c501/c502)	2	0
405 Esterase/GPO/PAP/kinetic (VIS) - Roche (Cobas 8000 c701/c702)	2	1

Aantal citaties voor de bepaling van triglyceriden: Staal C/15242

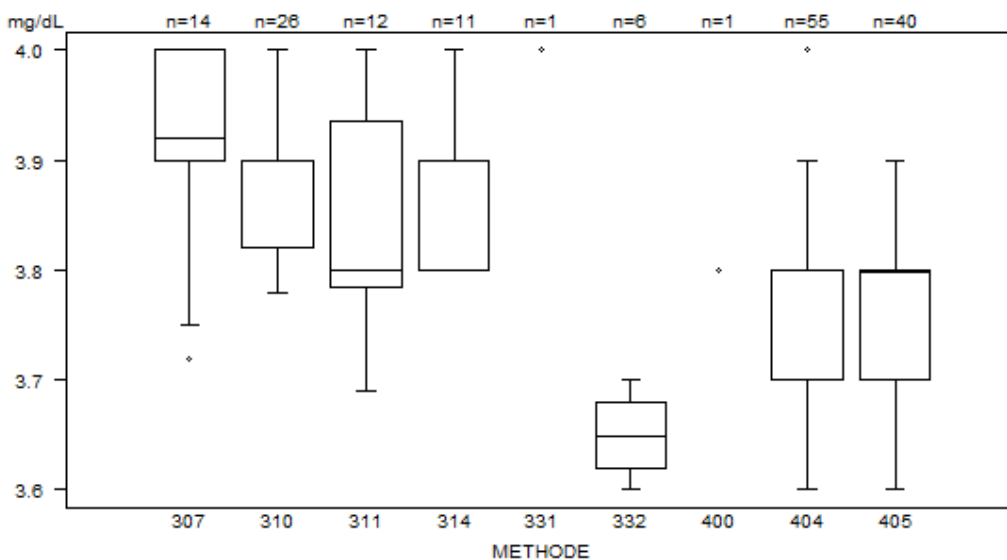
Methode	Z-citatie	U-citatie
313 Lipase/GPO/PAP/kinetic (VIS) - Olympus	1	0
404 Esterase/GPO/PAP/kinetic (VIS) - Roche (Cobas 6000/8000 c501/c502)	1	1
<del>405 Esterase/GPO/PAP/kinetic (VIS) - Roche (Cobas 8000 c701/c702)</del>	<del>5</del>	<del>1</del>
405 Esterase/GPO/PAP/kinetic (VIS) - Roche (Cobas 8000 c701/c702)	1	1

*De herberekende standaarddeviatie bekomen door de klassieke formule laat toe om de z-citaties bekomen door de gebruikers van de methode 405 te verminderen.*

Kernel densiteitsschatting van alle methoden voor triglyceriden-resultaten voor beide stalen



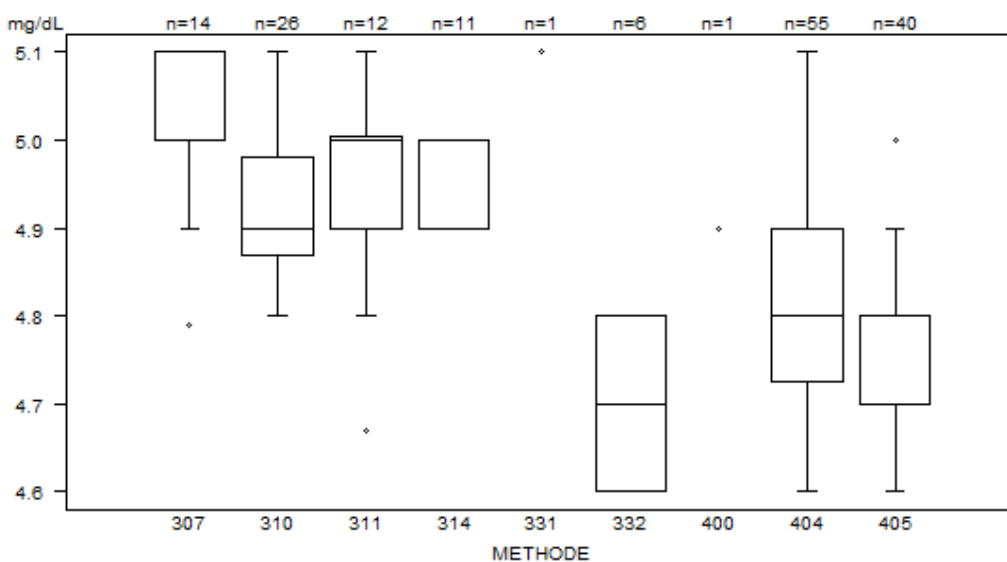
METHODE	C/15241			
	Median mg/dL	SD mg/dL	CV %	N
307 Reflectance photometry - OCD	3.9	0.1	1.9	14
310 Uricase/PAP- Abbott	3.9	0.1	1.5	26
311 Uricase/PAP- Olympus	3.8	0.1	2.9	12
314 Uricase/PAP- Siemens (Bayer)	3.9	0.1	1.9	11
331 Uricase/ PAP - Coulter (Beckman)	4.0			1
332 Uricase/UV (292nm) - Siemens (Dade) - Dimension Vista	3.6	0.0	1.2	6
400 Uricase/PAP- Roche (Cobas Integra 400/400 plus)	3.8			1
404 Uricase/PAP- Roche (Cobas 6000/8000 c501/c502)	3.8	0.1	2.0	55
405 Uricase/PAP- Roche (Cobas 8000 c701/c702)	3.8	0.1	2.0	40
Global results (all methods and all measuring systems)	3.8	0.1	3.5	166



Data out of graph

Method	Value
332	= 3.5 mg/dL
405	= 3.5 mg/dL
307	= 4.2 mg/dL
314	= 4.2 mg/dL

URINEZUUR - d (%) : 8.0	C/15242			
	METHODE	Median mg/dL	SD mg/dL	CV %
307 Reflectance photometry - OCD	5.0	0.1	1.5	14
310 Uricase/PAP- Abbott	4.9	0.1	1.7	26
311 Uricase/PAP- Olympus	5.0	0.1	1.6	12
314 Uricase/PAP- Siemens (Bayer)	5.0	0.1	1.5	11
331 Uricase/ PAP - Coulter (Beckman)	5.1			1
332 Uricase/UV (292nm) - Siemens (Dade) - Dimension Vista	4.7	0.1	3.2	6
400 Uricase/PAP- Roche (Cobas Integra 400/400 plus)	4.9			1
404 Uricase/PAP- Roche (Cobas 6000/8000 c501/c502)	4.8	0.1	2.7	55
405 Uricase/PAP- Roche (Cobas 8000 c701/c702)	4.8	0.1	1.5	40
Global results (all methods and all measuring systems)	4.8	0.1	2.3	166



Data out of graph

Method	Value
405	= 4.5 mg/dL
307	= 5.3 mg/dL
310	= 29 mg/dL
314	= 5.3 mg/dL

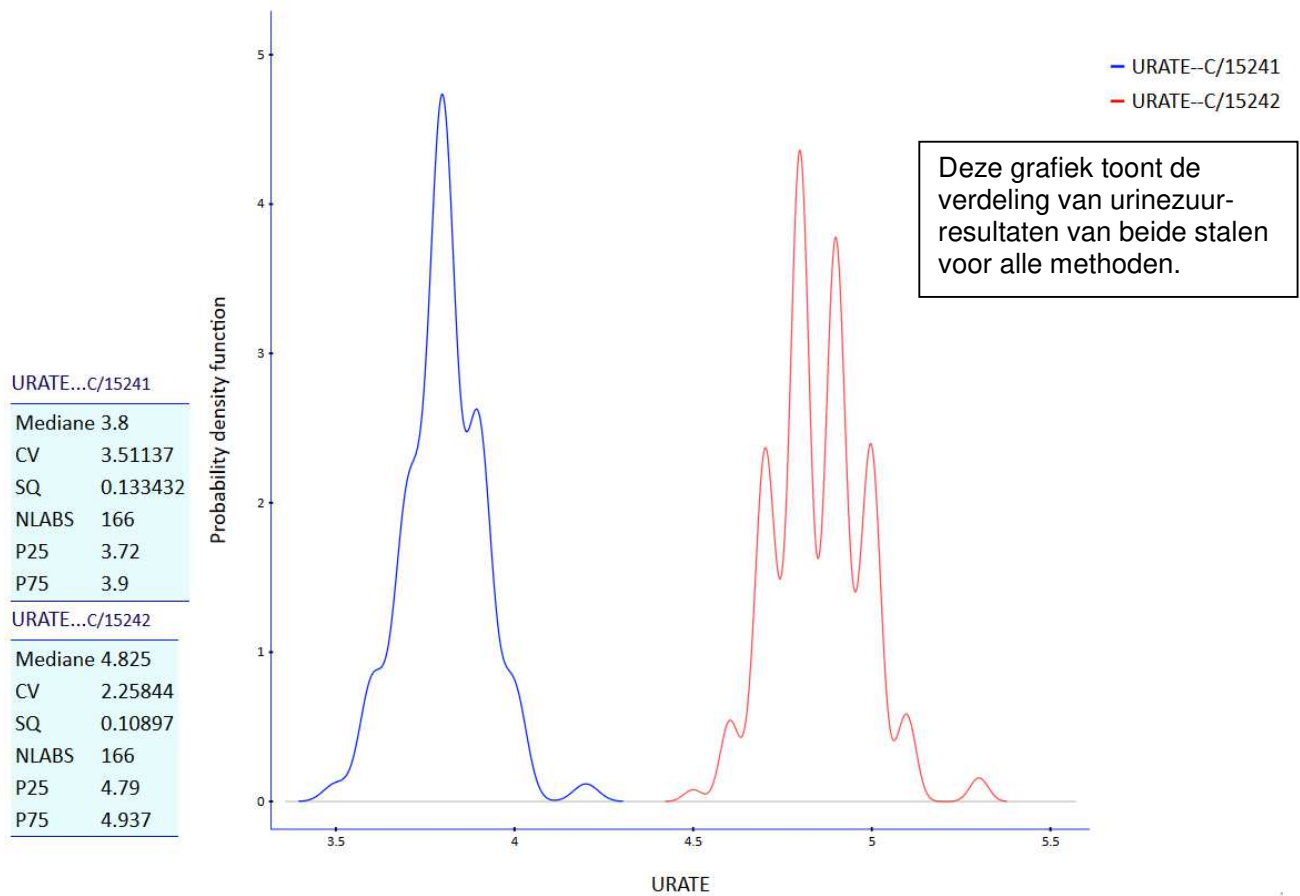
Aantal citaties voor de bepaling van urinezuur: staal C/15241

Methode	Z-citatie	U-citatie
307 Reflectance photometry - OCD	1	0
314 Uricase/PAP- Siemens (Bayer)	1	0
332 Uricase/UV (292nm) - Siemens (Dade) - Dimension Vista	1	0
405 Uricase/PAP- Roche (Cobas 8000 c701/c702)	1	0

Aantal citaties voor de bepaling van urinezuur: staal C/15242

Methode	Z-citatie	U-citatie
307 Reflectance photometry - OCD	1	0
310 Uricase/PAP- Abbott	1	1
311 Uricase/PAP- Olympus	1	0
314 Uricase/PAP- Siemens (Bayer)	1	0
405 Uricase/PAP- Roche (Cobas 8000 c701/c702)	1	0

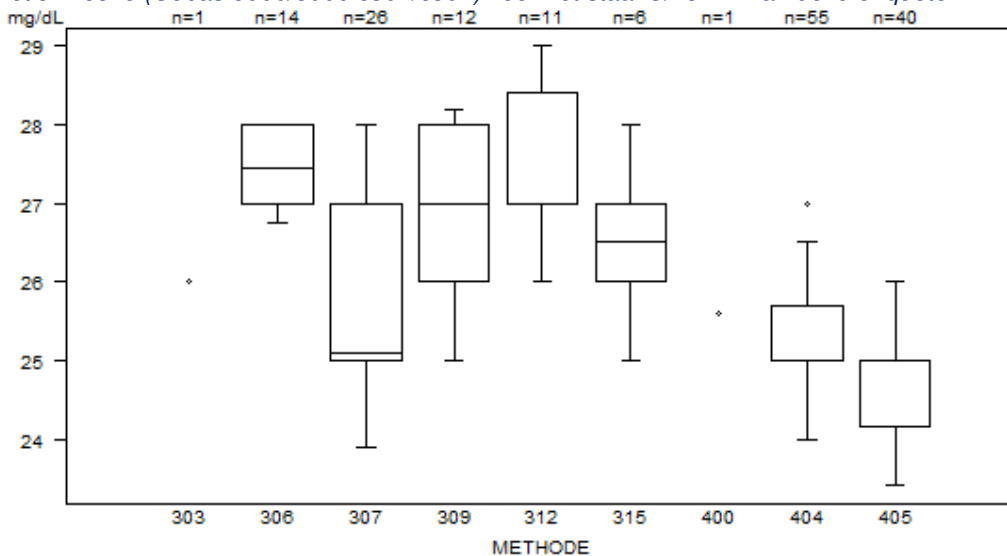
Kernel densiteitsschatting van alle methoden voor urinezuur-resultaten voor beide stalen





METHODE	C/15241			
	Median mg/dL	SD mg/dL	CV %	N
303 Urease (conductometry) - Coulter (Beckman)	26.0			1
306 Reflectance photometry - OCD	27.5	0.7	2.7	14
307 Urease/glutamate dehydrog./NADH (UV) - kinetic- Abbott	25.1	1.5	5.9	26
309 Urease/glutamate dehydrog./NADH (UV) - kinetic- Olympus	27.0	1.5	5.5	12
312 Urease/glutamate dehydrog./NADH (UV) - kinetic- Siemens (Bayer)	27.0	1.0	3.8	11
315 Urease/glutamate dehydrog./NADH (UV) - kinetic- Siemens (Dade) - Dimension Vista	26.5	0.7	2.8	6
400 Ur./glut dehydrog./NADH (UV) - kinetic- Roche (Cobas Integra 400/400 plus)	25.6			1
<del>404 Ur./glut dehydrog./NADH (UV) - kinetic- Roche (Cobas 6000/8000 c501/c502)</del>	<del>25.0</del>	<del>0.5</del>	<del>2.1</del>	<del>55</del>
404 Ur./glut dehydrog./NADH (UV) - kinetic- Roche (Cobas 6000/8000 c501/c502)	25.2	<b>0.8*</b>	<b>3.0</b>	55
405 Ur./glut dehydrog./NADH (UV) - kinetic- Roche (Cobas 8000 c701/c702)	25.0	0.6	2.5	40
Global results (all methods and all measuring systems)	25.1	1.5	5.9	166

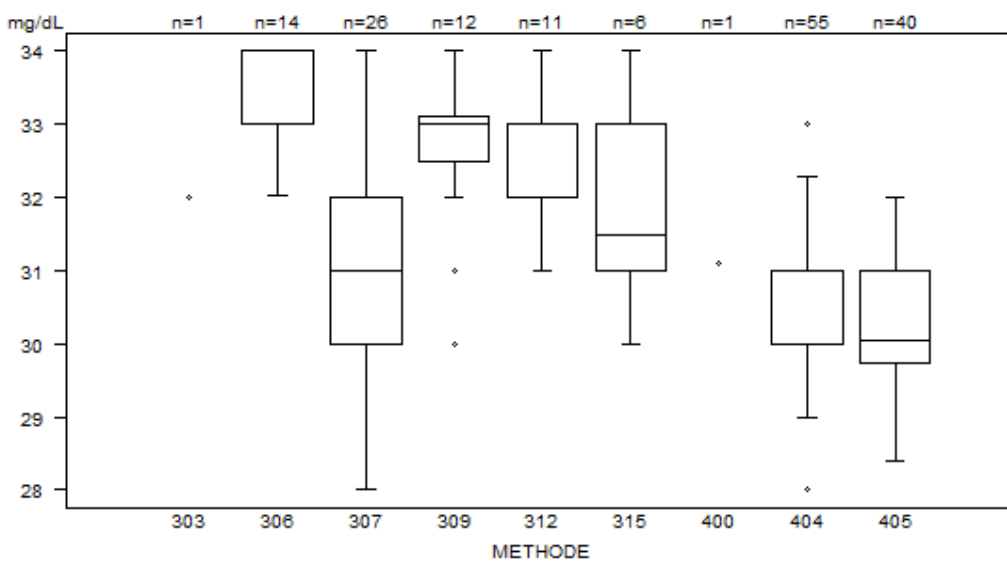
\*De robuuste standaarddeviatie die gewoonlijk wordt gebruikt voor de EKE berekeningen wordt vervangen door de klassieke standaarddeviatie formule na verwijdering van de eventuele "uitschieters" door Grubb's-test in deze peergroepen voor ureum resultaten van de gebruikers van de methode 404 Ur./glut dehydrog./NADH (UV) - kinetic- Roche (Cobas 6000/8000 c501/c502) voor het staal C/15241 van deze enquête.



Data out of graph

Method	Value
404	= 23 mg/dL
404	= 23 mg/dL
312	= 31 mg/dL

METHODE	C/15242			
	Median mg/dL	SD mg/dL	CV %	N
303 Urease (conductometry) - Coulter (Beckman)	32.0			1
306 Reflectance photometry - OCD	33.0	0.7	2.2	14
307 Urease/glutamate dehydrog./NADH (UV) - kinetic- Abbott	31.0	1.5	4.8	26
309 Urease/glutamate dehydrog./NADH (UV) - kinetic- Olympus	33.0	0.4	1.3	12
312 Urease/glutamate dehydrog./NADH (UV) - kinetic- Siemens (Bayer)	33.0	0.7	2.2	11
315 Urease/glutamate dehydrog./NADH (UV) - kinetic- Siemens (Dade) - Dimension Vista	31.5	1.5	4.7	6
400 Ur./glut dehydrog./NADH (UV) - kinetic- Roche (Cobas Integra 400/400 plus)	31.1			1
404 Ur./glut dehydrog./NADH (UV) - kinetic- Roche (Cobas 6000/8000 c501/c502)	31.0	0.7	2.4	55
405 Ur./glut dehydrog./NADH (UV) - kinetic- Roche (Cobas 8000 c701/c702)	30.1	0.9	3.1	40
Global results (all methods and all measuring systems)	31.0	1.5	4.8	166



Data out of graph

Method Value  
 307 = 4.9 mg/dL  
 312 = 35 mg/dL

Aantal citaties voor de bepaling van ureum: Staal C/15241

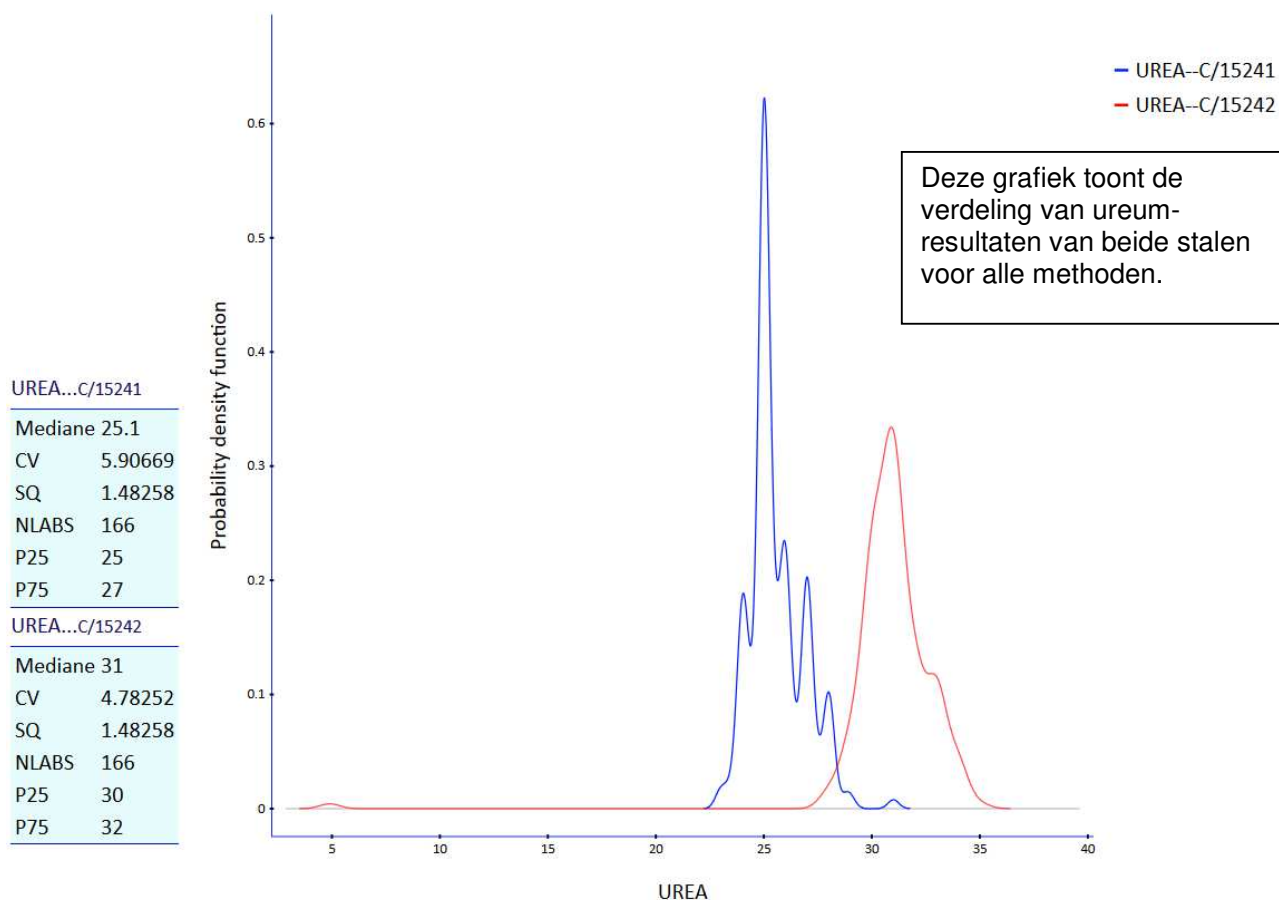
Méthode	Z-citatie	U-citatie
312 Urease/glutamate dehydrog./NADH (UV) - kinetic- Siemens (Bayer)	1	0
404 <del>Ur./glut dehydrog./NADH (UV) - kinetic- Roche (Cobas 6000/8000 c501/c502)</del>	<del>4</del>	<del>0</del>
404 Ur./glut dehydrog./NADH (UV) - kinetic- Roche (Cobas 6000/8000 c501/c502)	1	0

*De herberekende standaarddeviatie bekomen door de klassieke formule laat toe om de z-citaties bekomen door de gebruikers van de methode 404 te verminderen.*

Aantal citaties voor de bepaling van ureum: Staal C/15242

Méthode	Z-citatie	U-citatie
307 Urease/glutamate dehydrog./NADH (UV) - kinetic- Abbott	1	1
309 Urease/glutamate dehydrog./NADH (UV) - kinetic- Olympus	2	0
404 Ur./glut dehydrog./NADH (UV) - kinetic- Roche (Cobas 6000/8000 c501/c502)	2	0

Kernel densiteitsschatting van alle methoden voor ureum-resultaten voor beide stalen



EINDE

© Sciensano, Brussel 2020.

Dit rapport mag niet gereproduceerd, gepubliceerd of verdeeld worden zonder akkoord van Sciensano. De individuele resultaten van de laboratoria zijn vertrouwelijk. Zij worden door Sciensano niet doorgegeven aan derden, noch aan de leden van de Commissie, de expertencomités of de werkgroep EKE.